

تقدیم به:

مادر و پدر بزرگوارم: که دعای خیرشان سرمایه زندگی ام است.

همسر مهربانم: که در همه مراحل آرامش خاطرم بوده و هست.

و

خاله عزیزم: که هنوز در غم از دستدادنش اندوهگینم.

## سپاسگزاری

از زحمات و راهنمایی‌های اساتید گرانقدر جناب آقای دکتر فرزانه‌گرد و جناب آقای دکتراشمشی مرغزار و جناب آقای دکتر خوشنویس در طی سال گذشته، از اساتید داور این پژوهه، جناب آقای دکتر مغربی و جناب آقای دکتر شاهمردان که زحمت مطالعه و بررسی آن را تقبل کرده‌اند.

همچنین از شرکت گاز استان سمنان که حمایت مالی تحقیق حاضر را بر عهده داشته و از مدیریت محترم بخش پژوهش و فناوری آن شرکت، جناب آقایان مهندس زرگر و همکار ایشان مهندس رئوف که با تحمل زحمات مجریان پژوهه گامی بزرگ در انجام آن برداشته‌اند و سایر همکارانشان کمال تشکر و قدردانی به عمل می‌آید.

## کمال تقدیر و تشکر را دارم

دانشجو تأیید می نماید که مطالب مندرج در این پایان نامه نتیجه تحقیقات خودش می باشد و در صورت استفاده از نتایج دیگران مرجع آن را ذکر نموده است.

کلیه حقوق مادی مترتب از نتایج مطالعات ، آزمایشات و نوآوری ناشی از تحقیق موضوع این پایان نامه متعلق به دانشگاه صنعتی شاهرود می باشد.

دی ماه یکهزار و سیصد و هشتاد و هفت

به طور کلی در بسیاری از صنایع، عمل اندازه‌گیری از اهمیت ویژه‌ای برخوردار می‌باشد و اندازه‌گیری جریان سیالات همواره یکی از رایجترین پارامترهای مورد اندازه‌گیری بوده است. در صنایع نفت و گاز و نیروگاهها داشتن اطلاعات دقیق‌تر جهت تصمیم‌گیریهای کلان، از آنجا که با فروش محصول سروکار دارند، توجه به سودآوری شرکتها باعث شده‌است که اندازه‌گیری جریان گاز از جایگاه بالایی برخوردار باشد. در این تحقیق با طراحی و ساخت یک نمونه اریفیس‌متر دقیق برای گاز طبیعی نرخ جرمی جریان اندازه‌گیری شده است. اریفیس‌متر با توجه به توصیه‌های استاندارد ISO ۵۱۶۷ ساخته شده و با گاز طبیعی شهر شاهroud و با استفاده از لوازم الکترونیکی دقیق جهت اندازه‌گیری پارامترهای دما، فشار و اختلاف فشار مورد بررسی و آزمایش قرار گرفته است. بدین منظور نرمافزاری جهت محاسبه قطر اریفیس، اختلاف فشار دو طرف اریفیس و نیز محاسبه نرخ جرمی جریان عبوری از اریفیس با انواع اتصالات فشاری، تدوین شده‌است. جهت محاسبات متنوع ذکر شده برای طراحی اریفیس، نیاز به یک سری خواص فیزیکی مخلوط گاز طبیعی مانند چگالی، ضریب تراکم‌پذیری ضریب ژول-تمسون، لزجت سیال و توان آیزنتروپیک بود که از معادله حالت AGA ۸ که طبق گزارش انجمن گاز آمریکا معتبرترین روش برای تعیین خواص گاز طبیعی می‌باشد، استفاده شده‌است. از آنجا که گاز طبیعی مخلوطی از عناصر هیدروکربنی و غیر آبی مختلف با کسر مولی‌های متفاوت می‌باشد، این معادله حالت تنها معادله‌ایست که اثرات نیروهای بین مولکولی عناصر مختلف را در نظر می‌گیرد. مقایسه خواص ترمودینامیکی بدست آمده از نرمافزار با نتایج عددی و تجربی دیگران تطابق خوبی را نشان می‌دهد. نتایج اندازه‌گیری شده برای نرخ جرمی جریان نیز خطایی در حدود ۱.۲ درصد با نتایج نرمافزار Calc Meter دارد.

## لیست مقالات مستخرج از پایان نامه

- ۱- محمود فرزانه‌گرد، یونس بیات، شهرام هاشمی مرغزار، "محاسبه ظرفیت‌های حرارتی فشار ثابت و حجم ثابت و توان آیزنتروپیک مخلوط گاز طبیعی با استفاده از روش AGA ۱ برای حوزه گازی شانول" هفدهمین کنفرانس سالانه مهندسی مکانیک، دانشگاه تهران، اردیبهشت ۱۳۸۸.
- ۲- محمود فرزانه‌گرد، یونس بیات، "تعیین ضریب تراکم‌پذیری و ضریب ژول - تامسون گاز طبیعی با استفاده از روش AGA ۱"، دومین کنفرانس تخصصی ترمودینامیک ایران، دانشگاه علم و صنعت، ۲۲ اردیبهشت ۱۳۸۸.
3. M. Farzaneh Gord, M. Kargaran, Y. Bayat, S.H. Marghzar, "Investigation of Natural Gas Thermal Separation through a Vortex Tube", Journal of Cryogenics.

## فهرست مطالب

### فصل اول : مقدمه

|   |   |
|---|---|
| ۲ | ۱-۱- اهمیت اندازه گیری  |
| ۴ | ۲-۱- برای اندازه گیری جریان گاز، کدام جریان سنج را انتخاب کنیم؟ |
| ۵ | ۲-۲-۱ C.G.S. ها   |
| ۶ | ۲-۲-۲- ایستگاه نیروگاهها  |
| ۷ | ۳-۲-۱- ایستگاههای پتروشیمی                                      |
| ۸ | ۳-۳-۱- اهداف پژوهش  |
| ۹ | ۴-۱- ساختار پایان نامه  |

### فصل دوم : ابزار اندازه گیری اختلاف فشاری و مروری بر کارهای گذشته

|    |   |
|----|---|
| ۱۱ | ۱-۲- مقدمه  |
| ۱۱ | ۱-۱-۲- فلومترهای جابجایی (Displacement Flowmeter)   |
| ۱۲ | ۱-۲-۱-۲- فلومترهای استنتاجی (Inferential Flowmeter) |
| ۱۳ | ۱-۲-۲- فلومترهای اختلاف فشاری                       |
| ۱۴ | ۱-۲-۲-۱- گلوگاه دارای صفحه اریفیس دار               |
| ۱۶ | ۱-۲-۲-۲- مشخصات اریفیس متر                          |

|          |   |
|----------|---|
| ۱۹ ..... | - گلوگاه نازل دار ..... ۳-۲-۲                                     |
| ۲۲ ..... | - افت فشار دائمی ..... ۳-۳  |
| ۲۳ ..... | - اثرات وضعیت نصب بر عملکرد دستگاههای اندازه گیری جریان ..... ۴-۲ |
| ۲۴ ..... | - تمهیداتی که در لوله کشی می بایست مد نظر قرار گیرد : ..... ۴-۱   |
| ۲۶ ..... | - منابع اثرات نصب ..... ۴-۲-۲                                     |
| ۳۵ ..... | - مروری بر کارهای گذشته ..... ۵-۲                                 |

### **فصل سوم : معرفی روش AGA ۸ و فرمول بندی روابط**

|          |  |
|----------|--|
| ۴۴ ..... | - مقدمه ..... ۳-۱                                |
| ۴۴ ..... | - معادله حالت گاز ایدهآل ..... ۱-۱-۱             |
| ۴۵ ..... | - معادله حالت Peng Robinson ..... ۲-۱-۲          |
| ۴۶ ..... | - معادله حالت AGA ۸ ..... ۳-۱-۳                  |
| ۴۶ ..... | - روش AGA ۸ و روابط و معادلات مربوطه ..... ۲-۲-۲ |
| ۴۷ ..... | - شرح و بسط روش AGA ۸ ..... ۲-۲-۱                |
| ۴۹ ..... | - عدم قطعیت ها ..... ۳-۳                         |
| ۴۹ ..... | - عدم قطعیت روش D.C.M ..... ۳-۱-۱                |
| ۴۹ ..... | - عدم قطعیت روش G.C.M ..... ۲-۳-۲                |
| ۵۰ ..... | - توصیه ها ..... ۳-۳-۳                           |

|   |    |
|---|----|
| ۳-۴-۴- روابط ریاضی مورد استفاده در حل مسأله     | ۵۱ |
| ۳-۴-۴-۱- معادلات و روابط مربوط به روش D.C.M     | ۵۱ |
| ۳-۴-۲- تعیین ضریب تراکم پذیری و چگالی گاز طبیعی | ۵۵ |
| ۳-۴-۳- تعیین ظرفیت های حرارتی و توان آیزنتروپیک | ۵۶ |
| ۳-۴-۴- تعیین ضریب ژول- تامسون                   | ۶۲ |
| ۳-۴-۵- تعیین ویسکوزیته                          | ۶۵ |

## فصل چهارم : معرفی استاندارد ISO ۵۱۶۷

|   |    |
|---|----|
| ۴-۱- مقدمه                                | ۶۸ |
| ۴-۲- اصطلاحات مورد نیاز                   | ۶۹ |
| ۴-۳- مشخصات صفحات اریفیس.                 | ۷۰ |
| ۴-۴- اتصالات فشاری ] [                    | ۷۳ |
| ۴-۴-۱- اتصال فلنجی و نوع D/۲ & D          | ۷۳ |
| ۴-۴-۲- اتصالات گوشه ای (Corner Tapping)   | ۷۵ |
| ۴-۴-۵- اصول روشهای اندازه گیری            | ۷۶ |
| ۴-۵-۱- روش تعیین نسبت قطر $\beta$         | ۷۶ |
| ۴-۵-۲- اندازه گیری فشار استاتیک           | ۷۷ |
| ۴-۵-۳- اندازه گیری دما                    | ۷۸ |
| ۴-۵-۴- نیازمندیهای عمومی برای اندازه گیری | ۷۸ |

|    |   |
|----|---|
| ۷۹ | ۶-۵-۴ - نیازمندیهای نصب:  |
| ۸۱ | ۶-۶-۴ - بهبود دهنده (Straightener) و یکنواخت کننده (Flow Conditioner) |
| ۸۳ | ۷-۴ - محاسبه ضرایب و خطاهای مربوط به صفحه اریفیس                      |
| ۸۳ | ۷-۱-۴ - محدودیتهای استفاده از اتصالات فشاری                           |
| ۸۴ | ۷-۲-۴ - ضرایب   |
| ۸۵ | ۷-۳-۴ - عدم قطعیت ها  |
| ۸۵ | ۸-۴ - افت فشار دائمی  |

### فصل پنجم : توسعه نرم افزار طراحی اریفیس

|    |   |
|----|---|
| ۸۸ | ۱-۵ - مقدمه   |
| ۸۹ | ۲-۵ - مراحل توسعه نرم افزار   |
| ۸۹ | ۲-۱-۵ - مرحله اول: محاسبه چگالی و ضریب تراکم پذیری                                |
| ۹۱ | ۲-۲-۵ - مرحله دوم تعیین ظرفیت حرارتی، توان آیزنتروپیک، ویسکوزیته، ژول تامسون..... |
| ۹۳ | ۲-۳-۵ - مرحله سوم : محاسبه نرخ جرمی جریان.  |
| ۹۴ | ۲-۴-۵ - مرحله چهارم : محاسبه قطر سوراخ اریفیس                                     |
| ۹۵ | ۲-۵-۵ - مرحله پنجم : محاسبه اختلاف فشار ایجاد شده بین دو طرف صفحه اریفیس          |

## فصل ششم : طراحی و ساخت یک نمونه عملی اریفیس و کار آزمایشگاهی

|     |                                |
|-----|--------------------------------|
| ۹۷  | ۶-۱- مقدمه                     |
| ۹۷  | ۶-۲- طراحی و ساخت نمونه اریفیس |
| ۹۹  | ۶-۳- آشنایی با تجهیزات         |
| ۱۰۱ | ۶-۳-۱- تجهیزات مکانیکی         |
| ۱۰۲ | ۶-۳-۲- تجهیزات الکترونیکی      |
| ۱۰۵ | ۶-۴- روش انجام آزمایش          |

## فصل هفتم : نتایج آزمایشگاهی و نتایج عددی نرم افزار طراحی اریفیس و معتبرسازی

### آنها با نتایج تجربی

|     |  |
|-----|--|
| ۱۰۹ | ۷-۱- مقدمه   |
| ۱۰۹ | ۷-۲- آنالیز ترکیبات تشکیل دهنده گاز طبیعی پالایشگاه خانگیران         |
| ۱۱۱ | ۷-۳- محاسبه خواص فیزیکی گاز طبیعی پالایشگاه خانگیران                 |
| ۱۱۱ | ۷-۳-۱- محاسبه چگالی و ضریب تراکم پذیری                               |
| ۱۱۳ | ۷-۳-۲- محاسبه ویسکوزیته  |
| ۱۱۵ | ۷-۳-۳- محاسبه ظرفیتهای حرارتی حجم ثابت و فشار ثابت و توان آیزنتروپیک |
| ۱۱۹ | ۷-۳-۴- محاسبه ضریب ژول - تامسون                                      |
| ۱۲۰ | ۷-۴- معتبرسازی نتایج نرم افزار طراحی اریفیس                          |
| ۱۲۰ | ۷-۴-۱- معتبرسازی با نتایج عددی                                       |

|           |  |
|-----------|--|
| ۱۲۵ ..... | ۷-۴-۲- معتبر سازی با نتایج آزمایشگاهی          |
| ۱۳۰ ..... | ۷-۵- نتایج آزمایشگاهی با گاز طبیعی شهر شاهروود |
|           | <b>فصل هشتم : نتیجه گیری و ارائه پیشنهادات</b> |
| ۱۳۶ ..... | ۸-۱- جمع بندی                                  |
| ۱۳۹ ..... | ۸-۲- ارائه پیشنهادات                           |

## فهرست اشکال و نمودارها

### فصل دوم:

|  |    |
|--|----|
| شکل ۲-۱ : یک نوع از ابزارهای اندازه گیری جابجایی.....      | ۱۲ |
| شکل ۲-۲: مکانیزم عملکرد اریفیس.....                        | ۱۴ |
| شکل ۲-۳: نمودار افت فشار دائمی بعد از اریفیس.....          | ۱۵ |
| شکل ۲-۴: نمودار افت فشار دائمی بعد از گلوگاه نازل دار..... | ۱۹ |
| شکل ۲-۵ : نمودار افت فشار دائمی بعد از لوله ونتوری.....    | ۲۱ |
| شکل ۲-۶ : نحوه صحیح اتصالات دما و فشار.....                | ۲۵ |
| شکل ۲-۷ : پروفیل جریان در خروجی یک زانو.....               | ۲۸ |
| شکل ۲-۸ : پروفیل جریان خروجی از دو زانوی پشت سر هم.....    | ۳۱ |
| شکل ۲-۹ : جریان خروجی از افزاینده ها.....                  | ۳۲ |

### فصل سوم:

|   |    |
|---|----|
| شکل ۳-۱ : محدوده خطابه محاسبه ضریب تراکم پذیری از روش AGA8..... | ۵۰ |
|---|----|

### فصل چهارم:

|  |    |
|--|----|
| شکل ۴-۱: انواع صفحات اریفیس.....               | ۷۰ |
| شکل ۴-۲ : نمایی از مقطع جانبی صفحه اریفیس..... | ۷۱ |

|          |   |
|----------|---|
| ..... ۷۴ | ..... شکل ۳-۴ : مکان نصب اتصالات فشاری برای انواع فلنجدی و D/2 & D        |
| ..... ۷۶ | ..... شکل ۴-۴ : مکان نصب اتصالات فشاری برای نوع اتصالات گوشه ای           |
| ..... ۷۷ | ..... شکل ۴-۵ : نحوه چینش اتصالات فشاری برای اندازه گیری فشار استاتیک     |
| ..... ۸۰ | ..... شکل ۴-۶ : یک نمونه از اتصالات قبل و بعد از صفحه اریفیس              |
| ..... ۸۲ | ..... شکل ۴-۷ : مستقیم کننده جریان از نوع ۱۹ لوله ای                      |
| ..... ۸۳ | ..... شکل ۴-۸ : مستقیم کننده جریان از نوع AMCA                            |
| ..... ۸۶ | ..... شکل ۴-۹ : پروفیل تقریبی جریان و توزیع فشار و دما در یک سیستم اریفیس |

#### فصل پنجم:

|          |  |
|----------|--|
| ..... ۸۸ | ..... شکل ۱-۵ : مکانیزم ورود اطلاعات برای محاسبه خواص گاز طبیعی با روش AGA8            |
| ..... ۸۹ | ..... شکل ۲-۵ : نمایی از صفحه ورود اطلاعات نرم افزار طراحی اریفیس                      |
| ..... ۹۱ | ..... شکل ۳-۵ : صفحه ورود اطلاعات درصد مولی اجزاء برای محاسبه چگالی و ضریب تراکم پذیری |
| ..... ۹۲ | ..... شکل ۴-۵ : محاسبه ظرفیتهای حرارتی ، توان آیزنتروپیک و ویسکوزیته                   |
| ..... ۹۳ | ..... شکل ۵-۵ : محاسبه نرخ جرمی جریان  |
| ..... ۹۴ | ..... شکل ۶-۵ : محاسبه قطر سوراخ صفحه اریفیس   |
| ..... ۹۵ | ..... شکل ۷-۵ : محاسبه اختلاف فشار ایجاد شده بین دو طرف اریفیس                         |

#### فصل ششم:

|          |   |
|----------|---|
| ..... ۹۸ | ..... شکل ۱-۶ : طرحواره کلی از لوله گردبادی                                   |
| ..... ۹۹ | ..... شکل ۲-۶ : طرحواره کلی از دستگاه مورد آزمایش و نحوه اتصال آن به کامپیوتر |

|   |     |
|---|-----|
| شکل ۶-۳ : دستگاه مورد آزمایش در محل ایستگاه تقلیل فشار شهر شاهروود        | ۱۰۰ |
| شکل ۶-۴ : محل قرار گرفتن سنسور های فشار و دما                             | ۱۰۳ |
| شکل ۶-۵ : میکرو پرسسور اختصاصی برای خواندن اطلاعات آزمایش                 | ۱۰۴ |
| شکل ۶-۶ : کامپیوتر و نرم افزار مورد استفاده در آزمایش                     | ۱۰۴ |
| شکل ۶-۷ : نحوه اتصال دستگاه به رگلاتور گاز در محوطه دانشگاه صنعتی شاهروود | ۱۰۵ |

## فصل هفتم:

|  |     |
|--|-----|
| نمودار ۷-۱ : تغییرات مقادیر چگالی گاز طبیعی پالایشگاه خانگیران بر حسب دما و فشار     | ۱۱۲ |
| نمودار ۷-۲ : تغییرات مقادیر ضریب تراکم پذیری گاز طبیعی خانگیران بر حسب دما و فشار    | ۱۱۳ |
| نمودار ۷-۳ : تغییرات مقادیر ویسکوزیته گاز طبیعی پالایشگاه خانگیران بر حسب دما و فشار | ۱۱۵ |
| نمودار ۷-۴ : تغییرات مقادیر ظرفیت حرارتی حجم ثابت گاز طبیعی بر حسب دما و فشار        | ۱۱۶ |
| نمودار ۷-۵ : تغییرات مقادیر ظرفیت حرارتی فشار ثابت گاز طبیعی بر حسب دما و فشار       | ۱۱۷ |
| نمودار ۷-۶ : تغییرات مقادیر توان آیزنتروپیک گاز طبیعی بر حسب دما و فشار              | ۱۱۹ |
| نمودار ۷-۷ : تغییرات مقادیر ضریب ژول - تامسون گاز طبیعی بر حسب دما و فشار            | ۱۲۱ |
| نمودار ۷-۸ : مقایسه توان آیزنتروپیک بین نتایج نرم افزار طراحی و مرجع [۳۲]            | ۱۲۳ |
| نمودار ۷-۹ : مقایسه ضریب ژول - تامسون بین نتایج نرم افزار طراحی و مرجع [۳۷]          | ۱۲۵ |
| نمودار ۷-۱۰ : مقایسه ظرفیت حرارتی فشار ثابت بین نتایج نرم افزار طراحی و مرجع [۳۸]    | ۱۲۷ |
| نمودار ۷-۱۱ : مقایسه ضریب ژول - تامسون بین نتایج نرم افزار طراحی و مرجع [۳۸]         | ۱۲۹ |

## فهرست جداول

### فصل دوم:

جدول ۲-۱: انواع اثرات نصب و منابع ایجاد کننده آنها.....۲۷

### فصل سوم:

جدول ۳-۱: محدوده مجاز ترکیبات گاز طبیعی برای استفاده از روش G.C.M.....۴۸

جدول ۳-۲: ضرایب معادله ظرفیت حرارتی مولی ایده آل در فشار ثابت برای مخلوطهای گازی.....۶۱

### فصل هفتم:

جدول ۷-۱: آنالیز تجربی ترکیبات تشکیل دهنده گاز طبیعی پالایشگاه خانگیران.....۱۱۰

جدول ۷-۲: مقادیر چگالی گاز طبیعی پالایشگاه خانگیران برای دما و فشارهای مختلف.....۱۱۱

جدول ۷-۳: مقادیر ضریب تراکم پذیری گاز طبیعی برای دما و فشارهای مختلف.....۱۱۲

جدول ۷-۴: مقادیر ویسکوزیته گاز طبیعی پالایشگاه خانگیران برای دما و فشارهای مختلف.....۱۱۴

جدول ۷-۵: مقادیر ظرفیت حرارتی حجم ثابت گاز طبیعی برای دما و فشارهای مختلف.....۱۱۶

جدول ۷-۶: مقادیر ظرفیت حرارتی فشار ثابت گاز طبیعی برای دما و فشارهای مختلف.....۱۱۷

جدول ۷-۷: مقادیر توان آیزنتروپیک گاز طبیعی برای دما و فشارهای مختلف.....۱۱۸

جدول ۷-۸: مقادیر ضریب ژول - تامسون گاز طبیعی برای دما و فشارهای مختلف.....۱۲۰

- جدول ۹-۷ : نتایج توان آیزنتروپیک به دست آمده توسط مرجع [۳۲] ..... ۱۲۲
- جدول ۱۰-۷ : نتایج توان آیزنتروپیک به دست آمده توسط نرم افزار طراحی اریفیس ..... ۱۲۳
- جدول ۱۱-۷ : اختلاف بین نتایج نرم افزار طراحی اریفیس و نتایج مرجع [۳۲] ..... ۱۲۳
- جدول ۱۲-۷ : نتایج ضریب ژول - تامسون به دست آمده توسط مرجع [۳۷] ..... ۱۲۴
- جدول ۱۳-۷ : نتایج ضریب ژول - تامسون به دست آمده توسط نرم افزار طراحی اریفیس ..... ۱۲۴
- جدول ۱۴-۷ : اختلاف بین نتایج نرم افزار طراحی اریفیس و نتایج مرجع [۳۷] ..... ۱۲۵
- جدول ۱۵-۷ : نتایج ظرفیت حرارتی فشار ثابت به دست آمده توسط آزمایشات مرجع [۳۸] ..... ۱۲۶
- جدول ۱۶-۷ : نتایج ظرفیت حرارتی فشار ثابت به دست آمده توسط نرم افزار طراحی اریفیس ..... ۱۲۷
- جدول ۱۷-۷ : اختلاف بین نتایج نرم افزار طراحی اریفیس و نتایج مرجع [۳۸] ..... ۱۲۸
- جدول ۱۸-۷ : نتایج ضریب ژول - تامسون به دست آمده توسط آزمایشات مرجع [۳۸] ..... ۱۲۸
- جدول ۱۹-۷ : نتایج ضریب ژول - تامسون به دست آمده توسط نرم افزار طراحی اریفیس ..... ۱۲۹
- جدول ۲۰-۷ : اختلاف بین نتایج نرم افزار طراحی اریفیس و نتایج مرجع [۳۸] ..... ۱۳۰
- جدول ۲۱-۷ : یک نمونه ۱۰۰ تایی اندازه گیری شده در آزمایشات انجام گرفته در شاهروند ..... ۱۳۱
- جدول ۲۲-۷ : نتایج متوسط گیری برای پارامترهای اندازه گیری شده ..... ۱۳۵
- جدول ۲۳-۷ : مقایسه نتایج نرخ جریان توسط سه نرم افزار طراحی اریفیس، Flow Orifice و Meter calc و ق ..... ۱۳۵

## فهرست علائم

|                           |  |
|---------------------------|--|
| $a_n, b_n, c_n, k_n, g_n$ | ضرایب ثابت معادله حالت AGA ۸   |
| $f_n, q_n, u_n$           |  |
| $B$                       | ضریب دوم ویریال  |
| $B_{nij}^*$               | ضریب برهمکنش دو دویی مخلوطها   |
| $C_{m,p}$                 | ظرفیت حرارتی مولی در فشار ثابت، $j/(mol.k)$                              |
| $C_{m,v}$                 | ظرفیت حرارتی مولی در حجم ثابت، $j/(mol.k)$                               |
| $C_n^*$                   | ضریب وابسته به دما و ترکیبات گاز   |
| $C_p$                     | ظرفیت حرارتی مخصوص در فشار ثابت، $j/(gr.k)$                              |
| $C_v$                     | ظرفیت حرارتی مخصوص در حجم ثابت، $j/(gr.k)$                               |
| $C_{m,pi}$                | ظرفیت حرارتی مولی ایده آل مخلوط گاز در فشار ثابت، $j/(mol.k)$            |
| $C_{m,vi}$                | ظرفیت حرارتی مولی ایده آل مخلوط گاز در حجم ثابت، $j/(mol.k)$             |
| $C_{m,pi}^j$              | ظرفیت حرارتی مولی ایده آل جزء $i$ ام مخلوط گاز در فشار ثابت، $j/(mol.k)$ |
| $E_{ij}$                  | پارامتر انرژی برهمکنش ضریب دوم ویریال                                    |
| $F$                       | پارامتر دما بالای مخلوط  |
| $G$                       | پارامتر موقعیت   |
| $K$                       | پارامتر سایز مخلوط   |
| $P$                       | فشار، Kpa  |
| $Q$                       | پارامتر کوادراتیو  |
| $R$                       | ثابت جهانی گازها، $8,314 \text{ kj}/(\text{kmol.k})$                     |
| $U$                       | پارامتر انرژی  |
| $y_i$                     | کسر مولی جزء $i$ ام  |
| <b>علائم یونانی</b>       |  |
| $\rho_m$                  | چگالی مولی، $(\text{kmol/m}^3)$  |
| $\rho_{mi}$               | چگالی مولی گاز ایده آل، $(\text{kmol/m}^3)$                              |
| $\rho_r$                  | چگالی کاهیده   |
| $v_m$                     | حجم مخصوص مولی، $(\text{m}^3/\text{kmol})$                               |
| $\epsilon$                | ضریب انبساط  |
| $\beta$                   | نسبت قطر مجرا به قطر ابزار اندازه گیری                                   |
| $\kappa$                  | توان ایزنتروپیک  |

ش

# فصل اول

مقدمہ

## ۱-۱- اهمیت اندازه‌گیری<sup>۱</sup>

اهمیت سیستم‌های اندازه‌گیری و کنترل در صنایع مدرن امروزی تا حدی است که بدون این سیستم‌ها، صنعت از ادامه حیات شتاب‌آلود خود باز خواهد ماند. پیچیدگی و در عین حال دقت در تکنولوژی امروزه جهان مديون اندازه‌گیری پارامترها و عوامل مختلف و کنترل آنها می‌باشد.

هر شاخه‌ای از تکنولوژی دارای پارامترهای مختلفی است که سر و کار مستمر با آنها دارد. با توجه به اینکه موضوعات تکنولوژی بسیار متنوع می‌باشند، لذا موضوعات اندازه‌گیری هم از تنوع خاصی برخوردار خواهند بود و ضروری است که این عوامل در هر شاخه‌ای از صنعت به طور جداگانه مورد بحث قرار گیرند.

جريان‌سنجهای<sup>۲</sup> از جمله دستگاه‌هایی هستند که کاربرد فراوانی در صنایع و بخصوص صنایع فرآیندی دارند. میزان خوراک ورودی به یک برج تقطیر یا برج واکنش و یا جريان خروجی از یک پمپ و یا کمپرسور بوسیله جريان‌سنجهای اندازه‌گیری می‌شود.

صنایع نفت و گاز، نیروگاه‌ها، صنایع آب و فاضلاب و ..... که شاخه‌های مهندسی از صنعت هستند شامل دستگاه‌ها و تجهیزات مختلفی می‌باشند که در آن دستگاه‌ها، فاکتورهای مهمی مثل دما، فشار و جريان سیالات باید اندازه‌گیری شوند. سنجش جريان سیالات رایج‌ترین اندازه‌گیری در فرایندهای صنعتی می‌باشد. بسیاری از صنایع به میزان سیال عبوری از یک محل خاص در کار روزانه خود نیاز دارند. عمل ثبت مقدار ماده مصرفی یا انتقال داده شده، توسط سنجش دبی صورت می‌پذیرد و بر مبنای آن هزینه اعمال شده برای مصرف یا انتقال سیال مشخص می‌گردد[۱].

<sup>۱</sup> Measurement

<sup>۲</sup> Flow Meter

شرایط عملیاتی (دما- فشار- نوع سیال و . . .)، مسائل اقتصادی و مالی و اهمیت دقت اندازه‌گیری از جمله عواملی هستند که در انتخاب نوع جریان‌سنجها مؤثر می‌باشند. موارد ذکر شده از جمله فاکتورهای مهم در انتخاب یک جریان‌سنج می‌باشند، ولی تنها با انتخاب یک جریان‌سنج با دقت<sup>۳</sup> بالا، دامنه‌پذیری<sup>۴</sup> مناسب و نیاز نداشتن آن به تعمیرات متناوب، نمی‌توان ادعا نمود که اندازه‌گیری جریان با دقت ذکر شده در کاتالوگ سازنده انجام می‌شود. حقیقت آن است که نصب صحیح و اصولی جریان‌سنجها از چنان اهمیتی برخوردار است که در صورت رعایت نکردن پارامترهای اساسی در نصب آنها، دقت جریان‌سنج کاملاً تحت تأثیر وضعیت نصب قرار خواهد گرفت.

علاوه بر دانش و علم اندازه‌گیری پارامترهای مورد نیاز، تجربه‌هایی در زمینه ساخت، کنترل اندازه‌گیری خط، نگهداری و تعمیر ابزار اصلی در نحوه و کیفیت اندازه‌گیری از اهمیت خاصی برخوردار می‌باشند.

همواره پیشرفت در فناوری سنسورها<sup>۵</sup>، باعث ابداع دبی‌سنجهای جدید و همزمان استفاده از ریزپردازنده‌ها موجب افزایش کارایی انواع قدیمی دبی‌سنجها از طریق خطی‌سازی و جبران کردن اثر تغییرات دما و فشار شده است.

---

<sup>۳</sup> Accuracy

<sup>۴</sup> Range ability

<sup>۵</sup> Sensors

## ۲-۱- برای اندازه‌گیری جریان گاز، کدام جریان‌سنج را انتخاب کنیم؟ [۲]

در مبحث اندازه‌گیری جریان، دستگاهها و روش‌های متعدد و بسیاری وجود دارند که بسته به فرآیند خصوصیات سیال مورد استفاده، فشار و بخصوص دقت مورد نیاز، یکی از آنها را می‌توان جهت اندازه‌گیری استفاده نمود. ضمن اینکه برای انتخاب دستگاه‌های اندازه‌گیری نمی‌توان نسخه‌ای از قبل پیچیده شده را برای تمامی شرایط تجویز نمود.

شرایط ویژه گاز پس از عبور از خطوط انتقال از نظر ذرات معلق موجود و آلودگی‌های احتمالی بخصوص رونگهای گرسنهای به همراه محصولات خوردنگی، همه و همه ایجاب می‌نماید که در انتخاب سیستم اندازه‌گیری برای هر شرایط، تفاوت‌هایی را قائل شد. شاید در واحدهای عملیاتی (پالایشگاه و ....) یکی از دستگاه‌های مناسب اندازه‌گیری، اریفیس‌مترها باشد ولی استفاده از آنها را نمی‌توان بطور کلی در همه موارد تعمیم داد.

دقت اندازه‌گیری در مدیریت گازرسانی و فروش از بالاترین اهمیت برخوردار است، چراکه در جهان کنونی همه چیز و هر کارکردی بر مبنای اقتصاد و سودآوری با ریزنگری بسیار بالا مد نظر می‌باشد. طبیعی است هرچه میزان گاز عبوری از دستگاه اندازه‌گیری بیشتر گردد، دقت اندازه‌گیری نیز می‌بایست بالاتر رود. در علم اقتصاد و بحث مدیریت صنعتی می‌توان با افزایش هزینه اولیه میزان هزینه‌های جاری را کم کرد و بنابراین با خرید و سرمایه‌گذاری جهت سیستم‌های اندازه‌گیری مطمئن‌تر و با دقت بالاتر حتی با قیمت چند برابر در دراز مدت اثرات آن در سودآوری شرکتها کاملاً آشکار خواهد شد.

اصولاً برای انتخاب هر دستگاه اندازه‌گیری همانطور که قبلاً ذکر گردید شرایط و نیازمندی‌های عملیاتی بسیار بالاهمیت می‌باشد. جهت انتخاب جریان‌سنجها نیز شرایط فشار، دما، نوع سیال جریانی، نوسانات فشار، پروفیل جریان و بخصوص دقت (Accuracy) و صحت (Certainty) دستگاه را می‌بایست مد نظر قرارداد. پر واضح است که هر وضعیت خاصی نیازمند دقت و همچنین صحت خاص خود می‌باشد. بدین

معنی که در حجمها و دبی زیاد طبیعتاً می‌باشد از دستگاههای با دقت بالا استفاده نمود و در ایستگاههای با ظرفیت پائین قطعاً نیازی به سیستم اندازه‌گیری با آن دقتی که در حجمها بالا مورد نیاز بوده نمی‌باشد.

بنابراین با توجه به نوع ایستگاه مصرف‌کننده گاز و کاربرد آن و نیز میزان ظرفیت آن می‌باشد از جریان‌سنج مناسب آن استفاده نمود، لذا خرید دستگاههای اندازه‌گیری جریان از یک نوع و با یک مشخصات برای تمامی شرایط انتخابی پرهزینه می‌باشد. بدین معنی که برای ایستگاههای با ظرفیت پائین‌تر افزایش خطای احتمالی، تغییرات قابل توجهی بر روی اندازه‌گیری نمی‌گذارد ولی در ایستگاههای نظیر نیروگاهها، صنایع پتروشیمی و C.G.S ها بعلت حجم زیاد گاز، بالا بودن دقت از اهمیت بسیار زیادی برخوردار است.

به طور کلی ایستگاههای اندازه‌گیری با ظرفیت زیاد موجود در مدیریت گازرسانی و فروش را می‌توان از نظر وضعیت فشار، نوسانات احتمالی فشار و حداقل و حداکثر مصرف به موارد زیر طبقه‌بندی کرد:

C.G.S ها -

- ایستگاه نیروگاهها

- ایستگاه صنایع پتروشیمی و پالایشگاه

### C.G.S - ۱-۲-۱

دقت اندازه‌گیری در C.G.S ها نظر به شرکتی شدن مناطق گازرسانی و طرح مسئله خرید گاز از امور خطوط لوله و فروش آن به مشتری از اهمیت بسیار زیادی برای مدیریت گازرسانی و فروش برخوردار است، بدلیل اینکه در حال حاضر نقاط تعیین‌کننده گاز ورودی به شهرها و درکل به استان‌ها از طریق C.G.S ها مشخص می‌شود. حال بعنوان مثال اگر ظرفیت C.G.S کلان شهری حدود  $600,000 \text{ m}^3/\text{h}$

باشد تنها خطای اندازی معادل ۵,۰٪ از بعد اندازه‌گیری اختلافی معادل  $216,000 \text{ m}^3/\text{Month}$  تولید خواهد نمود که این رقم در سال معادل  $2,600,000 \text{ m}^3/\text{Year}$  خواهد بود که بسیار قابل توجه می‌باشد. ممکن است یک دستگاه اندازه‌گیری از لحاظ هزینه‌های تعمیرات در طول سال بسیار مقرن بصره باشد و لی باید این هزینه‌های تعمیراتی را با هزینه‌هایی که ناشی از دقت پائین (Accuracy) و نیز صحت پائین و نیز خطاهای احتمالی که در دستگاه بعد از اندازه‌گیری بوجود خواهد آمد، مقایسه نمود. مسئله دیگری که در بعد انتخاب دستگاه اندازه‌گیری برای C.G.S ها باید مد نظر قرارداد، میزان تغییرات مصرف با توجه به وضعیت آب و هوایی و حتی بسته به ساعات شبانه روز می‌باشد و نوسانات قابل توجهی بر روی آمارهای (Range ability) موجود ایستگاهها قابل مشاهده می‌باشد. بنابراین توجه به قابلیت تغییرات محدوده کاری (Range ability) دستگاه که یکی از پارامترهای است که در انتخاب جریان‌سنجد بسیار با اهمیت می‌باشد، ضروری است.

## ۱-۲-۲- ایستگاه نیروگاهها

در مورد نیروگاهها نیز نظر به مصارف بسیار بالای آنها (بطور مثال ظرفیت ایستگاه نیروگاه‌های استان فارس بالقوه حدوداً  $560,000 \text{ m}^3/\text{h}$  می‌باشد که احتمال افزایش این میزان نیز وجود دارد.) از لحاظ مقایسه‌ای و آماری می‌توان ایستگاه نیروگاه‌ها را با مثال قبل مقایسه نمود ولی در نیروگاه‌ها نیز از بعد فنی نکاتی وجود دارد که قابل تأمیل می‌باشد. به عنوان مثال نیروگاه‌ها در بار ثابت کار نمی‌کنند، زمانی بالاتر از ظرفیت اسمی خود مثلاً ۱۰۵ درصد و زمانی بعلت اشکال دریک ژنراتور و یا توربین و یا هر مسئله دیگر بار مصرفی بسیار پائین خواهد آمد. بنابراین مورد ذکر شده را می‌بایست در مورد انتخاب سیستم‌های اندازه‌گیری مد نظر قرارداد.

### ۱-۲-۳- ایستگاه‌های پتروشیمی

ایستگاه‌های پتروشیمی نیز ظرفیت بسیار بالائی دارند. بنابراین دقت اندازه‌گیری و دستیابی به حداقل دقت ممکنه و جلوگیری از خطاهای احتمالی بسیار با اهمیت می‌باشد. در کارخانجات پتروشیمی مصرف گاز عمدتاً جهت دو مورد ذیل می‌باشد:

- ۱ - جهت واحدهای مادر و اصلی که خوراک آنها گاز طبیعی است، نظیر واحد آمونیاک در مجتمع‌های شیمیائی و واحدهای اولفین در مجتمع‌های پتروشیمی و یا واحدهای مشابه نظیر متانول.
- ۲ - جهت توربین‌های گازی.

در حالت کلی، تغییرات بار مصرفی در ایستگاه‌های پتروشیمی زیاد نمی‌باشد ولی در شرایط خاص مثلاً خاموشی (Shut Down) اضطراری واحدهای مادر و اصلی و یا در زمان تعمیرات اساسی آنها، میزان مصرف گاز بشدت کاهش می‌باید. که البته در این خصوص می‌بایست در مجتمع‌های پتروشیمی ایستگاه‌های مجزا تعییه نمود و عبارتی دیگر، تغییراتی در طراحی ایجاد نمود تا بتوان از بعضی مشکلات احتمالی پیشگیری نمود.

خلاصه کلام اینکه در واحدهای پتروشیمی نیز دقت اندازه‌گیری و جلوگیری از بروز خطاهای احتمالی و نیز طراحی ایستگاه به نحوی که در صورت نیاز یک سیستم اندازه‌گیری به تعمیرات احتمالی، اندازه‌گیری در ایستگاه مختل نشود یعنی دستگاه ذخیره (Standby) وجود داشته باشد، ضروری می‌باشد.

اما در مورد ایستگاه‌های با ظرفیت پائین، حدود  $5000 \text{ m}^3/\text{h}$ ، لزوم دستیابی به دقت بالا چندان اهمیتی ندارد. معمولاً اینگونه ایستگاه‌ها نوسانات بارکمی دارند و میزان مصرف آنها تقریباً قابل پیش‌بینی و ثابت می‌باشد. ضمن اینکه بعلت بالا نبودن میزان مصرف در صورت ایجاد خطاهای احتمالی، مسائل مالی قابل توجهی را بدنبال نخواهد داشت. بنابراین برای اینگونه ایستگاه‌ها میتوان طیف وسیعی از دستگاه‌های اندازه‌گیری را پیشنهاد نمود.

### ۱-۳-۱- اهداف پژوهش

در این پژوهه با توجه به نکاتی که راجع به اهمیت اندازه‌گیری بیان شد، سعی ما بر اندازه‌گیری دبی جریان گاز طبیعی به روش آزمایشگاهی به کمک اریفیس متر<sup>۶</sup> و اتصالات از نوع فلنچی<sup>۷</sup> می‌باشد. پارامترهای به دست آمده از آزمایش از قبیل فشار، دما و اختلاف فشار<sup>۸</sup> دو طرف اریفیس را به عنوان ورودی به برنامه کامپیوتری که به زبان ویژوال بیسیک<sup>۹</sup> و به منظور طراحی کامل اریفیس نوشته شده است، وارد کرده و خروجی نهایی را که شامل نرخ جرمی جریان<sup>۱۰</sup> می‌باشد، تعیین می‌کنیم.

برنامه طراحی اریفیس به یک سری خواص فیزیکی گاز طبیعی از جمله چگالی<sup>۱۱</sup>، توان آیزنتروپیک<sup>۱۲</sup> K، ضریب ژول – تامسون<sup>۱۳</sup>  $J_M$  و ویسکوزیته<sup>۱۴</sup>  $\eta$  نیاز دارد که باید به عنوان اطلاعات پایه در توابع برنامه محاسبه شوند.

در این پژوهه برای تخمین چگالی و توان آیزنتروپیک و ضریب ژول – تامسون گاز طبیعی از روش AGA۸ که روشی کاملاً جدید بوده و توسط انجمن گاز آمریکا ارائه شده است، سود می‌بریم. برای محاسبه ویسکوزیته نیز سعی شده است تا بسته به ترکیبات گاز و شرایط کاری واقعی، بهترین و جامع‌ترین رابطه انتخاب شود.

<sup>۶</sup> Orifice Meter

<sup>۷</sup> Flange Tapping

<sup>۸</sup> Differential Pressure

<sup>۹</sup> Visual Basic

<sup>۱۰</sup> Flow Rate

<sup>۱۱</sup> Density

<sup>۱۲</sup> Isentropic Exponent

<sup>۱۳</sup> Joule–Thomson coefficient

<sup>۱۴</sup> Viscosity

## ۴-۱- ساختار پایان نامه

فصل اول: مقدمه. در این فصل به ذکر اهمیت اندازه‌گیری و انتخاب جریان‌سنج مناسب و اهداف پژوهش پرداخته‌ایم.

فصل دوم: ابزار اندازه‌گیری اختلاف فشاری و مرواری بر کارهای گذشته.

فصل سوم: معرفی روش ۸ AGA و فرمول‌بندی روابط. در این فصل چند معادله حالت برای گاز طبیعی بررسی شده است و در نهایت با ذکر خصوصیات روش ۸ AGA از این روش برای تخمین پارامترهای مورد نیاز استفاده کرده و در انتهای روابط مورد استفاده برای تعیین خواص فیزیکی گاز طبیعی را آورده‌ایم.

فصل چهارم: معرفی استاندارد ۵۱۶۷ ISO. در این فصل استاندارد شامل مجموعه اطلاعات و نیازمندیها نصب و استفاده از اریفیس‌مترها را معرفی کرده‌ایم. این استاندارد شامل مجموعه اطلاعات و نیازمندیها برای ابزارهای اندازه‌گیری اختلاف فشاری است.

فصل پنجم: توسعه نرم‌افزار طراحی اریفیس. در آن به مراحل برنامه‌نویسی پرداخته‌ایم.

فصل ششم: طراحی و ساخت یک نمونه عملی اریفیس‌متر و کار آزمایشگاهی. در این فصل روش کار آزمایشگاهی و ابزارهای مورد استفاده شرح داده شده است.

فصل هفتم: نتایج آزمایشگاهی و نتایج عددی نرم‌افزار طراحی اریفیس و معتبرسازی آنها با نتایج تجربی.

فصل هشتم: نتیجه‌گیری و پیشنهادات.

## فصل دوم

ابزار اندازه‌گیری اختلاف فشاری

و مرواری بر کارهای گذشته

## **۱-۲- مقدمه**

در مبحث مایعات، گازها (یا بخار) و در سیستم‌های کنترل پروسه‌های صنایع مختلف، آنچه که در میان سایر موارد بیشتر اندازه گیری می‌شود، میزان عبور جرم یا حجم سیال از مقطع یک لوله در زمان واحد یا در طی یک مدت معین می‌باشد.

از آنجا که در اکثر صنایع میزان جریان عبوری مهم است و مخصوصاً در صنایع نفت و گاز، فروش محصولات بر اساس حجم آنها صورت می‌گیرد، همچنین کیفیت محصولات تولید شده به درصد ترکیب مواد اولیه با هم که متأثر از نرخ جریان است بستگی دارد، بنابراین دقت اندازه گیری جریان دارای نقشی اساسی می‌باشد.

در صنعت تجهیزات مختلفی برای اندازه گیری فلوی سیالات استفاده می‌شوند که همگی آنها در دو

دسته اساسی زیر طبقه‌بندی می‌شوند [۳]:

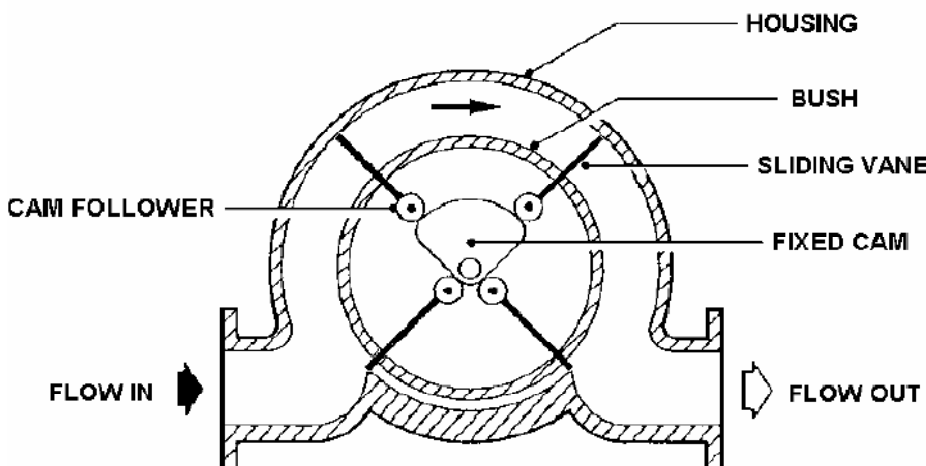
- فلومترهای جابجایی

- فلومترهای استنتاجی

### **۲-۱-۱- فلومترهای جابجایی (Displacement Flow Meters)**

دستگاه‌هایی که در طول یک روز، یک شیفت کاری و نظیر آن برای اندازه گیری میزان کل عبور سیال کاربرد دارند، جریان سنج کل (Total Flow Meter) یا فلومترهای جابجایی نامیده می‌شوند. در این گونه دستگاه‌ها اختلاف مقادیر نشان داده شده توسط اندیکاتور در ابتدا و انتهای مدت اندازه گیری نشان دهنده

مقدار کل سیالی است که در آن مدت از مقطع عبور کرده است [۱]. فلومترهای توربینی<sup>۱</sup> و فلومترهای جابجایی مثبت<sup>۲</sup> از این نوع می باشند.



شکل ۲ - ۱ : یک نوع از ابزارهای اندازه گیری جابجایی. مرجع [۳]

### ۲-۱-۲- فلومترهای استنتاجی (Inferential Flow Meters)

این فلومترها بر اساس این واقعیت عمل می کنند که نخست، تعدادی پارامتر اندازه گیری شده و در نهایت بر اساس مقدار این پارامترها، نتیجه محاسبه و استنتاج می شود. ابزارهای استنتاجی برای اندازه گیری نرخ فلوی سیالات مورد استفاده قرار می گیرند. آنها مقدار لحظه ای فلوی مورد نظر را بر واحد زمان اندازه گیری می کنند. چنانچه در یک مدت زمان تغییراتی داده شود، مقدار کل جریان نیز پس از آن مدت زمان فرق خواهد کرد [۳]. فلومترهای اختلاف فشاری<sup>۳</sup> و روتامتر<sup>۴</sup> از این قبیل می باشند.

<sup>۱</sup> Turbine Flow Meter

<sup>۲</sup> Positive Displacement Flow Meter

<sup>۳</sup> Differential Pressure Flow Meter

<sup>۴</sup> Rota Meter

جهت حصول اطمینان از نتایج اندازه گیری جریان سیالات، اندازه گیری باید در شرایط نرمال انجام شود

که معمولاً دمای  $20^{\circ}\text{C}$  و فشار استاندارد ۱ bar و رطوبت نسبی ۰ می باشد.

## ۲-۲- فلومترهای اختلاف فشاری

همانطور که روش ها و ابزار آلات مختلفی وجود دارد که می توانند برای معین کردن نرخ فلو و یا مقدار کل جریان استفاده شوند، ما مطالعه خود را روی ابزاری که بیشترین کاربرد را دارند معطوف می کنیم.

اندازه گیری دبی سیالات با توجه به اختلاف فشاری که در اثر عبور سیال از مقطع یک گلوگاه<sup>۵</sup> ایجاد می شود، از معمول ترین روش های دبی سنجی در میان سایر روش ها می باشد و بیشتر از روش های دیگر نیز مورد بررسی و تحقیق قرار گرفته است. این گلوگاه (یعنی جایی که مقطع لوله به صورتی باریک می شود) به عنوان عنصری حساس نسبت به عبور جریان تلقی می گردد. در محل گلوگاه سرعت سیال به صورت موضعی افزایش پیدا کرده و در نتیجه انرژی جنبشی سیال در این محل افزایش می یابد. از نقطه نظر تعادل انرژی، با افزایش سرعت سیال باید انرژی پتانسیل آن کم شود و در نتیجه فشار استاتیک در محل گلوگاه نسبت به فشار در محل ورود سیال به گلوگاه کاهش پیدا می کند. در نتیجه بین گلوگاه و محل پیش از آن اختلاف فشاری معادل  $p_1 - p_2 = \Delta p$  ایجاد می شود [۱].

از آنجایی که اختلاف فشار ایجاد شده تابعی از سرعت و در نتیجه میزان عبور سیال از گلوگاه می باشد می توان از این موضوع برای اندازه گیری دبی سیال استفاده نمود. برای تعیین مقدار عددی دبی سیال می توان با استفاده از یک مانومتر یا اختلاف فشار سنج یا سنسورهای اختلاف فشاری، اختلاف فشار را اندازه گیری کرد.

معمول ترین نوع گلوگاه های استاندارد عبارتند از:

<sup>۵</sup> Throat

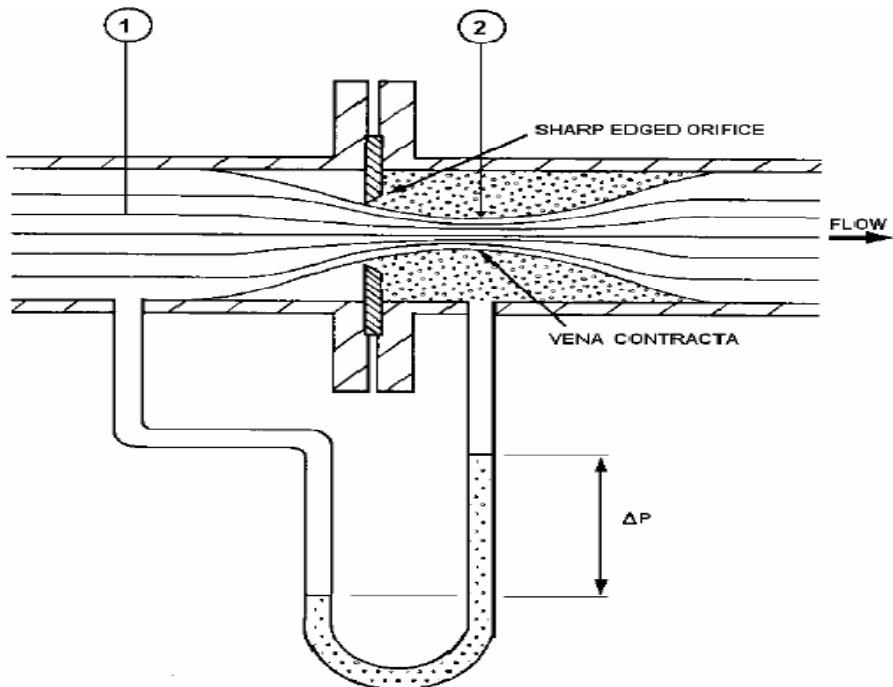
- گلوگاه دارای صفحه اریفیس دار

- گلوگاه نازل دار

- لوله ونتوری

### ۱-۲-۲- گلوگاه دارای صفحه اریفیس دار<sup>۶</sup>

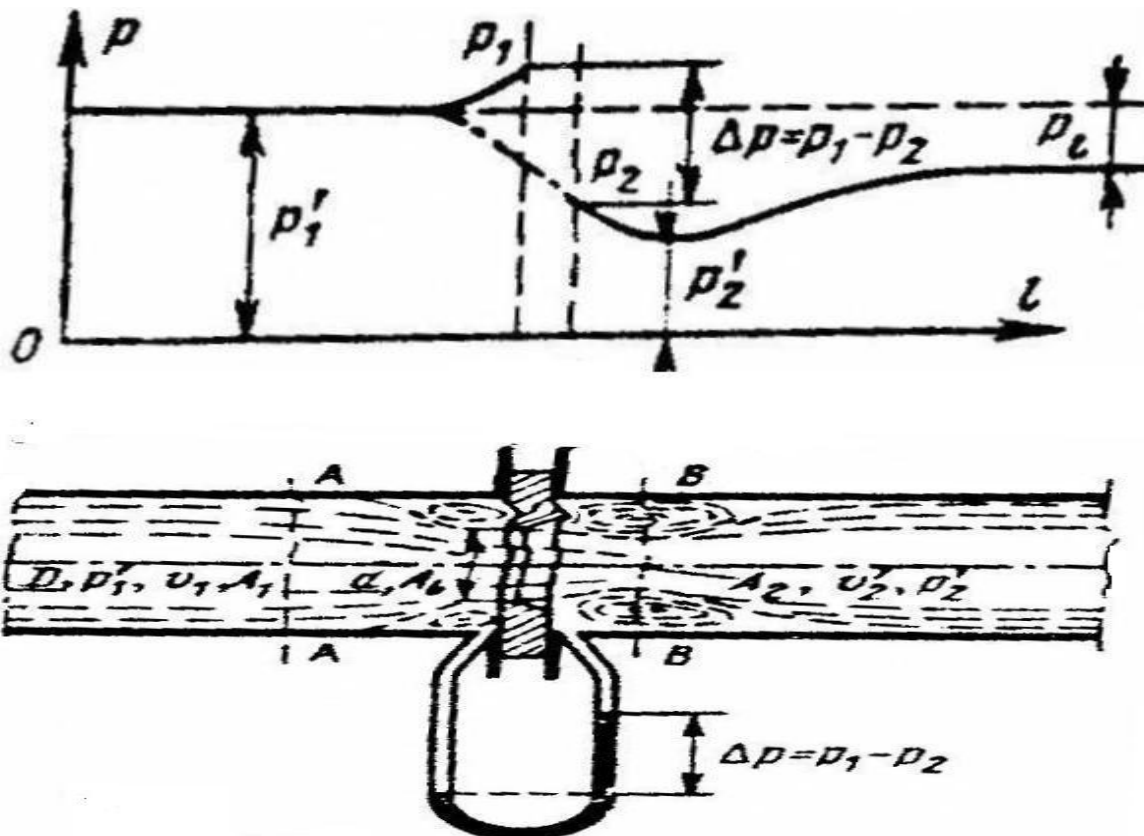
در شکل (۲-۲) مقطع خطوط جریان سیال پیش از اریفیس کم کم باریک می شود و در نقطه ۱ سیال بوسیله صفحه اریفیس آشفته می شود. این باریک شدن تا فاصله اندکی پس از اریفیس نیز ادامه دارد تا این که مقطع جریان در نقطه ۲ به حداقل و سرعت آن به حداقل می رسد. این نقطه به نام Vena Contracta نامیده می شود. از این نقطه به بعد سطح مقطع جریان سیال به تدریج افزایش پیدا می کند تا قطر لوله کاملاً پر شود [۳].



شکل ۲-۲: مکانیزم عملکرد اریفیس. مرجع [۳]

<sup>۶</sup> Orifice Plate Restriction

همانطور که در شکل (۳-۲) دیده می‌شود، فشار بعد از محل صفحه اریفیس‌دار با فشار اصلی (یعنی فشار پیش از نقطه جمع شدن خطوط جریان) هرگز برابر نمی‌شود. در حین این که سیال از یک صفحه اریفیس‌دار عبور می‌کند، در اطراف لبه سوراخ صفحه، ناحیه‌ای ایجاد می‌شود که اصطلاحاً ناحیه راکد<sup>۷</sup> نامیده می‌شود و در این ناحیه به علت اختلاف فشارهای موجود حالتی از برگشت خطوط جریان ایجاد می‌شود که اصطلاحاً جریان ثانویه یا جریان گردابی<sup>۸</sup> نامیده می‌شود. از آنجایی که سیال، لزج است و نیز حرکت جریان اولیه در خلاف جهت حرکت جریان ثانویه است، مقداری از انرژی جذب شده و در نتیجه قسمت قابل توجهی از فشار سیال افت می‌کند [۱].



شکل ۲-۳: نمودار افت فشار دائمی بعد از اریفیس. مرجع [۱]

<sup>۷</sup> Stagnant Zone

<sup>۸</sup> Vorticity

در اثر تغییر در امتداد حرکت خطوط جریان سیال نیز افت فشار ایجاد می شود اما مقدار آن نسبت به افت فشار ناشی از جریان های برگشتی قابل ملاحظه نیست.

در شکل (۳-۲) نشان داده شده است که فشارهای استاتیکی در قبل و بعد از صفحه اریفیس دار، با استفاده از مجراهایی حس می شوند که در زاویه بین صفحه اریفیس دار و سطح داخلی لوله قرار دارند. این مجراهای حس کننده فشار در نقاط دیگری غیر از گوشه ها نیز قرار گیرند [۱].

## ۲-۲-۲- مشخصات اریفیس متر

دستگاههای مذکور نزدیک به یک قرن در صنایع مختلف مورد استفاده قرار گرفته اند و از جمله قدیمی ترین وسایل اندازه گیری جریان می باشند که هم جهت اندازه گیری Liquid Flow و هم جهت اندازه گیری Gas Flow و Steam مورد استفاده قرار می گیرند.

### ۲-۲-۱- مزایا

#### - نداشتن قطعه متتحرک:

این دستگاهها که بر مبنای اختلاف فشار ایجاد شده در دو طرف صفحه اریفیس عمل می نمایند در قسمت صفحه خود هیچ قطعه متتحرکی ندارند و بنابراین صدماتی که ناشی از وجود قطعات متتحرک در یک دستگاه می باشد، در این نوع جریان سنجها دیده نمی شود. البته این بدان معنا نیست که صفحه اریفیس دچار هیچ مشکل مکانیکی نخواهد شد، این موضوع در ادامه شرح داده می شود:

نظر به سابقه طولانی این دستگاهها در صنعت، مطالعات زیادی بر روی دستگاههای مذکور انجام شده و مستندات بسیار مفید و ارزشمندی نیز منتشر گردیده که قابلیتها، محدودیتها، نقاط ضعف و نیز عملکرد و

<sup>۹</sup> Corner Taps

## فصل دوم: ابزار اندازه‌گیری اختلاف فشاری و مرواری بر کارهای گذشته

مکانیزم این دستگاهها را تشریح کرده‌اند که از جمله آنها می‌توان به استانداردهای API ۱۴.۳ و ISO ۵۱۶۷ و BS ۱۰۴۲ اشاره نمود که البته اگر استانداردهای مذکور به دقیق مطالعه گردند، بسیاری از نکات ظریف در رابطه با این دستگاهها قابل استخراج می‌باشد [۲].

در دسترس بودن آن:

به دلیل احتیاج نداشتن به تکنولوژی خاصی برای ساخت اریفیس، تکنولوژی تولید آن آسان و در دسترس می‌باشد.

قیمت ارزان: -

قیمت تمام شده اریفیس نسبت به سایر جریان‌سنجهای کمتر می‌باشد.

۲-۲-۲-۲-۲

- قابلیت یا سیز، تغییر محدوده اندازه‌گیری (Range Ability) :

یکی از پارامترهای مهمی که در بعد اندازه‌گیری جریان حائز اهمیت می‌باشد و به قابلیتهای یک دستگاه می‌افزاید و باعث برتری یک دستگاه اندازه‌گیری نسبت به یک دستگاه دیگر می‌گردد، قابلیت تغییر محدوده اندازه‌گیری است. این مقدار برای اریفیس ها ۱ : ۳.۵ است که این عدد بعنوان پائین‌ترین میزان در میان جریان‌سنجهای می‌باشد. بنابراین پائین بودن پارامتر فوق محدودیت قابل توجهی در زمینه استفاده از دستگاه‌های مذکور ایجاد می‌نماید. چرا که در بسیاری از ایستگاه‌های اندازه‌گیری گازرسانی و فروش میزان حداقل و حداکثر جریان (Power Plant) از مقدار ذکر شده فراتر می‌رود و این یعنی تولید خطای در اندازه‌گیری و نظر به حجم زیاد گاز عبوری از چنین ایستگاه‌هایی تولید خطای مسائل مالی قابل توجهی را وجود خواهد آورد.

- طول مستقیم لوله قبل و بعد از صفحه اریفیس:

نظر به اهمیت پروفیل جریان در دستگاههای مذکور، طول مستقیم لوله مورد نیاز قبل و بعد از دستگاه نسبتاً زیاد می‌باشد. می‌توان گفت که درین دستگاههای اندازه‌گیری این میزان بالاترین میزان می‌باشد. ضمن اینکه می‌بایست شرایط دهنده جریان (Flow Conditioner) نیز قبل از صفحه اریفیس استفاده گردد. همچنین میزان طول مستقیم لوله مورد نیاز با نسبت  $\beta$  تغییر می‌نماید و هرچه  $\beta$  افزایش یابد این مقدار نیز افزایش می‌یابد. براساس مطالب مندرج در استاندارد ISO ۵۱۶۷ در بعضی مواقع حتی در صورت استفاده از Flow Conditioner به طول مستقیمی حدود D ۴۰ قبل از ابزار نیاز می‌باشد [۲]. راجع به Conditioner در ادامه صحبت شده است.

- Accuracy / Uncertainty -

Accuracy مربوط به صفحه اریفیس‌ها حدوداً ۰.۲٪ تخمین زده می‌شود و درخوش بینانه ترین حالت این میزان را برابر ۱٪ می‌توان درنظر گرفت که در مقایسه با بعضی از انواع Meter ها پائین‌تر می‌باشد. همچنین یکی از پارامترهای مهمی که در مبحث اندازه‌گیری می‌بایست مورد توجه قرار گیرد Uncertainty می‌باشد. در اریفیس‌ها این میزان برای  $\beta$  بین ۰.۱ تا ۰.۶ برابر ۵٪ می‌باشد ولی از  $\beta$  بالاتر از ۰.۶ این میزان بسرعت افزایش می‌یابد بطوریکه برای  $\beta = 0.75$  میزان Uncertainty ۲٪ می‌باشد. مقادیر ذکر شده براساس استاندارد API ۱۴.۳ می‌باشد.

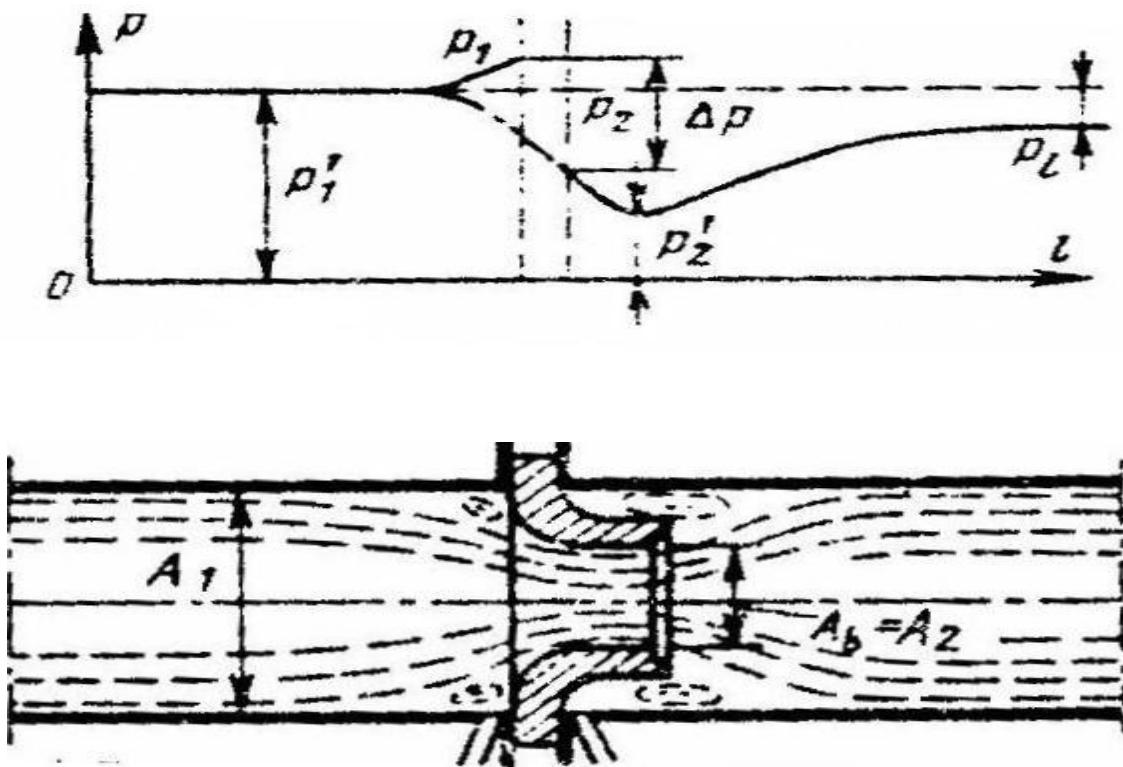
- حساسیت زیاد نسبت به پروفیل جریان:

اریفیس‌ها در جریان‌هایی که حالت ضربه‌ای دارند دچار خطاهای قابل توجهی می‌گردند و این مسئله بیشتر بعلت وضعیت پروفیل جریان قبل و بعد از اریفیس می‌باشد و تغییرات در پروفیل جریان باعث خطای اندازه‌گیری خواهد شد و به همین دلیل است که طول مستقیم قبل از اریفیس را زیاد درنظر می‌گیرند تا پروفیل جریان حالت بهینه داشته باشد و همچنین استفاده از Flow Conditioner حتماً توصیه می‌شود.

براساس استاندارد BS 10426 برای یک اریفیس با  $\beta$  معادل ۰.۷ بدون Flow Conditioner حتی در صورتی که طول مستقیم لوله  $D_{30}$  در نظر گرفته شود خطای معادل ۱۰٪ داریم. ذکر این نکته نیز ضروری است که صفحات اریفیس نیز باید بطور مرتب از لحاظ ضخامت، مسطح بودن وضعیت لبه‌ها، کثیف بودن و یا ... بازرسی گردند.

### ۳-۲-۲- گلوگاه نازل دار $^{\circ}$

گلوگاه نازل دار (۴-۲) دارای مقطعی شبیه به یک زنگوله است، یعنی دیواره آن از اطراف به تدریج جمع می‌شود تا به صورت یک گلوگاه در می‌آید و انتهای آن استوانه‌ای شکل است.



شکل ۲-۴: نمودار افت فشار دائمی بعد از گلوگاه نازل دار. مرجع [۱]

محور نازل نیز بر محور لوله منطبق است. مقطع نازل به گونه‌ای انتخاب می‌شود که مقطع خطوط جریان سیال پس از باریک شدن تقریباً همه گلوگاه را پرکند. بنابراین سطح گلویی را می‌توان با کمترین سطح مقطع سیال عبوری برابر فرض نمود.

جریان‌های گردابی ایجاد شده در اطراف نازل نسبت به جریان‌های گردابی صفحه اریفیس‌دار انرژی کمتری جذب می‌کنند و در نتیجه افت فشار کمتری ایجاد می‌شود. البته نمودار توزیع فشار در طول دیواره و محور لوله این نوع گلوگاه، تقریباً شبیه به گلوگاه دارای صفحه اریفیس می‌باشد اما افت فشار آن کمی کمتر است. این نکته باید یادآوری شود که در صورت یکسان بودن دبی، صفحه اریفیس‌دار دارای مقطع گلویی بیشتری نسبت به مقطع گلویی لوله نازل‌دار می‌باشد و همین موضوع باعث می‌شود تا افت فشار نهایی در هر دو سیستم برابر باشد [۱].

محل قرارگرفتن مجراهای حسکننده فشار در گلوگاههای نازل‌دار شبیه به گلوگاه اریفیس‌دار می‌باشد.

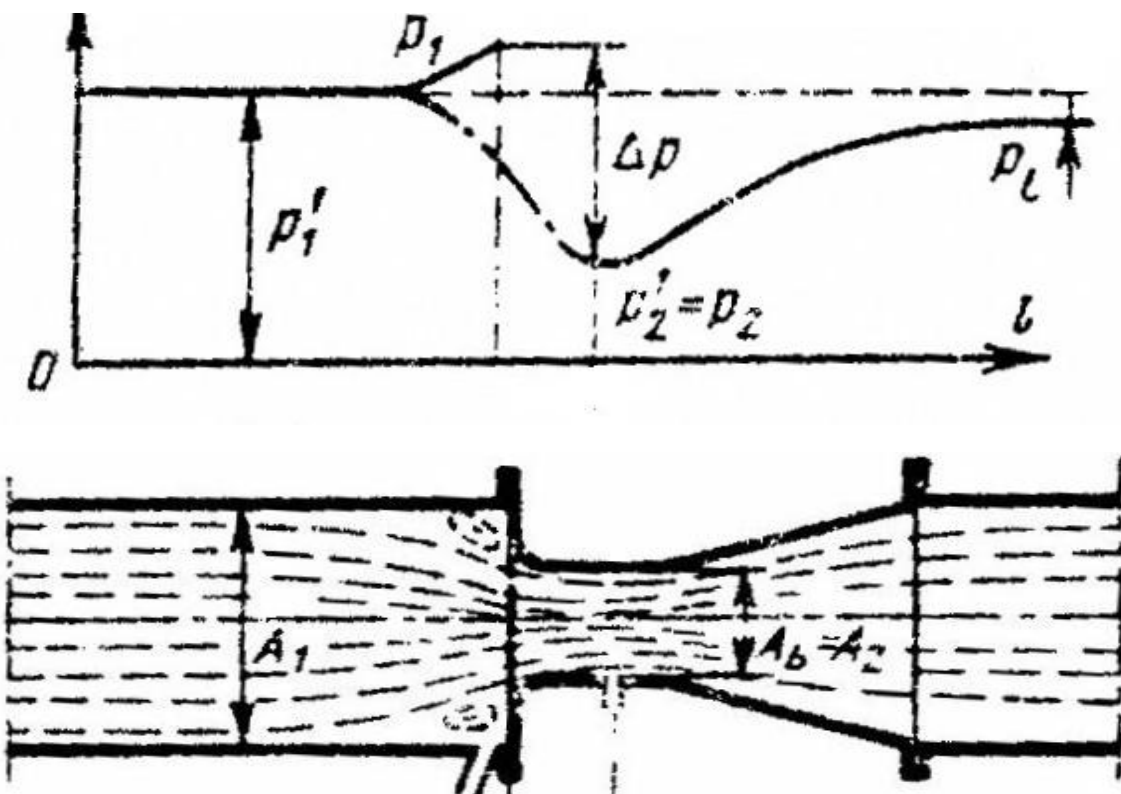
#### **۲-۴-۲- لوله ونتوری <sup>۱۱</sup>**

لوله ونتوری استاندارد شامل یک لوله مستقیم و کوتاه می‌باشد که از دو طرف به وسیله دهانه‌های مخروطی در مسیر لوله اصلی نصب می‌شود و در شکل (۵-۲) نشان داده شده است. گلوگاه لوله ونتوری از یک استوانه باریک شده تشکیل شده است که گلویی نامیده می‌شود. دهانه ورودی گلوگاه به تدریج جمع یا باریک می‌شود اما دهانه خروجی آن به صورت شیپوره به تدریج باز می‌شود. لوله‌های ونتوری ممکن است کوتاه یا بلند باشند.

با استفاده از یک لوله و ننتوری افت فشار به طور قابل توجهی نسبت به افت فشار گلوگاه اریفیس‌دار و یا نازل‌دار کمتر می‌شود. علت کم بودن افت فشار لوله ونتوری بیشتر به علت شکل دهانه خروجی آن

<sup>۱۱</sup> Venturi Tube

است. در لوله ونتوری فشارهای استاتیک  $P_1$  و  $P_2$  با استفاده از دو حلقه فشارسنجی<sup>۱۲</sup> حس می‌شوند. این دو حلقه هر یک دارای یک سری سوراخ هستند که به فاصله مساوی از یکدیگر قرار دارند و به داخل لوله ونتوری ارتباط دارند. مجاری حس‌کننده فشار در دو طرف صفحه اریفیس دار ممکن است فقط دو سوراخ استوانه‌ای بوده و یا از حلقه‌های فشارسنجی تشکیل شده باشند [۱].



شکل ۲-۵: نمودار افت فشار دائمی بعد از لوله ونتوری. مرجع [۱]

حلقه‌های فشارسنجی در عمل بهترند، مخصوصاً در جایی که سیال تحت تأثیر توربولانسهای موضعی قرار داشته و یا توزیع یکنواخت فشار در لوله به علت خمیدگی‌ها و یا سایر موانع لوله، به صورت مطلوب انجام نمی‌شود. حلقه‌های فشارسنجی اختلاف فشار را متعادل ساخته، اندازه گیری دقیق‌تری را نسبت به مجراهای استوانه‌ای منفرد امکان‌پذیر می‌سازند. دریک طرح برای حلقه‌های فشارسنجی دو لوله در اطراف

<sup>۱۲</sup> Piezo Meter Rings

لوله عبور سیال به شکل دایره و یا مربع خم شده است و از این لوله‌های کمرنگی، لوله‌هایی دیگر به فواصل مساوی بداخل لوله عبور سیال پیش رفته‌اند تا فشار متعادل شده را به مانومتر اعمال کنند. برای اینکه توزیع فشار در یک حلقه فشارسنجی واقعاً متعادل باشد سطح مقطع هر حلقه نباید کمتر از نصف مجموع سطح مقطع سوراخ‌هایی باشد که به داخل لوله وارد می‌شوند [۱].

### **۳-۲- افت فشار دائمی**

در انتخاب گلوگاه‌های استاندارد باید این موضوع را به یاد داشت که هر نوع از گلوگاه‌ها (صفحه اریفیس‌دار، نازل‌دار و لوله ونتوری) به اندازه‌ای افت فشار ایجاد می‌کند. این بدان معنی است که سیال پس از عبور از گلوگاه هرگز فشار قبل از وارد شدن به گلوگاه را بدست نمی‌آورد. افت فشار دائم یک گلوگاه را می‌توان از تفاضل فشارهای استاتیک در دو نقطه به خصوص بدست آورد. این دو نقطه تقاطعی هستند که خطوط جریان سیال جهت ورود به گلوگاه جمع و یا باریک می‌شوند. و سپس با عبور از گلوگاه به اندازه قطر لوله باز می‌شوند، یعنی نقاطی که گلوگاه هیچ گونه تأثیری بر خطوط جریان سیال نداشته باشد. افت فشار دائمی گلوگاهها  $\Delta P$  معمولاً بر حسب درصدی از اختلاف فشار  $\Delta P$  بیان می‌شود.

افت فشار دائم به عنوان تابعی از  $\beta$  (نسبت قطر اریفیس به قطر لوله) و نوع گلوگاه است. افت فشار دائم گلوگاه دارای صفحه اریفیس‌دار برای  $\beta$  مساوی، بیشتر از افت فشار گلوگاه نازل‌دار می‌باشد. البته باید بر روی این نکته تأکید کرد که اگر اختلاف فشار و دبی جریان سیال هر دو گلوگاه مساوی باشد مقدار  $\beta$  در صفحات اریفیس‌دار بیشتر از نازل‌ها می‌باشد. در چنین شرایطی افت فشار دائمی در نهایت عملاً برای هر دو نوع گلوگاه برابر می‌شود.

از آنجا که لوله ونتوری دارای خروجی مخروطی شکل است سیال تقریباً تمام انرژی پتانسیل خود را بدست می آورد و به همین علت افت فشار دائمی لوله های ونتوری نسبت به گلوگاه دارای صفحه اریفیس دار و گلوگاه نازل دار به طور قابل ملاحظه ای کمتر است. به همین دلیل در مصارف صنعتی در جایی که به حداقل افت فشار دائم نیاز باشد بهتر است که از لوله ونتوری استفاده شود. افت فشار دائم لوله ونتوری حتی در شرایطی که دهانه خروجی لوله ونتوری قطری برابر  $75/0$  قطر داخل لوله عبور سیال داشته باشد باز هم نسبتاً کم خواهد بود.

#### **۴-۴- اثرات وضعیت نصب بر عملکرد دستگاه های اندازه گیری جریان [۴]**

برای دستیابی به عملکرد مناسب جریان سنج ها، نصب و تعمیرات این دستگاه ها باید با دقت و صحیح انجام شود. این موضوع آنقدر مهم است که نصب نادرست جریان سنجی که هنوز راه اندازی نشده است بر دقت دستگاه تأثیر قابل توجهی خواهد داشت.

به منظور دستیابی به بهترین دقت<sup>۱۳</sup> و صحت<sup>۱۴</sup> (پایین ترین عدم قطعیت)، جریان سنج ها باید کالیبره شوند و در آرایش مناسبی از لوله ها و اتصالات قرار گیرند به نحوی که آرایش خطوط لوله تأثیری در عملکرد جریان سنج ها نداشته باشد.

انحراف دستگاه از داده های کالیبراسیونی آن، تنها بعلت اثرات خط لوله نمی باشد بلکه بسته به نوع جریان سنج اثرات خارجی دیگری مانند تداخل امواج رادیویی، اثرات دمای محیط و اثرات رطوبت محیط می توانند روی راندمان دستگاه تأثیر بگذارند. در ادامه نکاتی که در سیستم لوله کشی<sup>۱۵</sup> جهت نصب جریان سنج ها می بايست مد نظر قرار گیرد آورده شده است.

<sup>۱۳</sup> Accuracy

<sup>۱۴</sup> Certainty

<sup>۱۵</sup> Piping

**۱-۴-۲- تمهیداتی که در لوله کشی می باشد مدنظر قرار گیرد:**

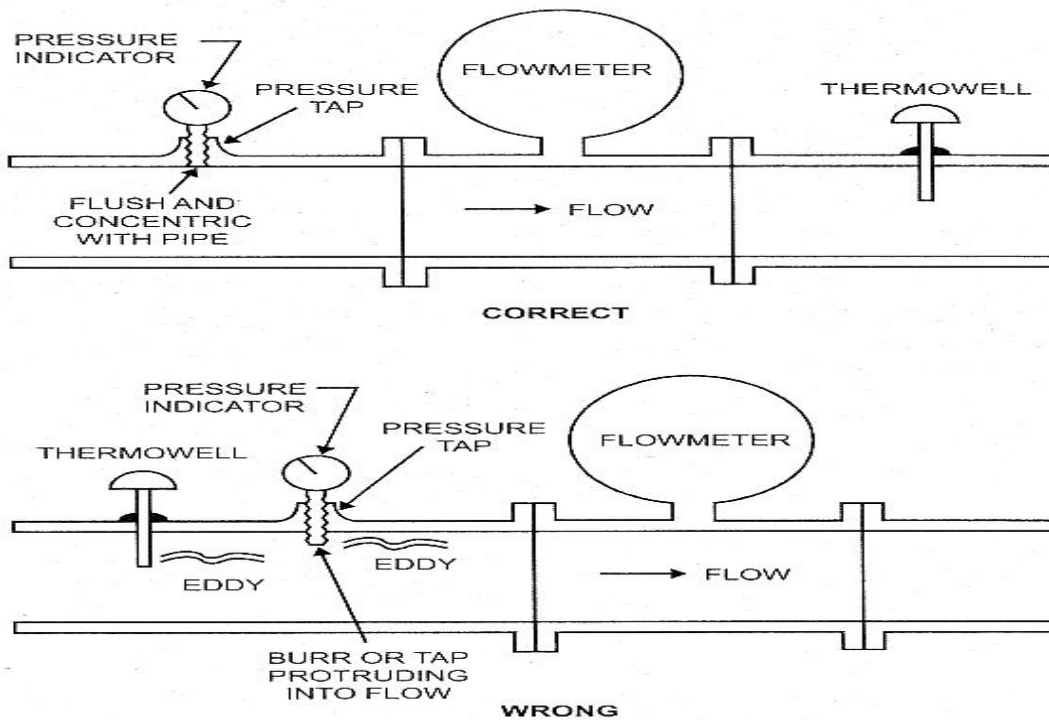
**• لوله های قبل و بعد از جریان سنج :**

بیشتر جریان سنج ها مقداری طول مستقیم لوله قبل و بعد از دستگاه اندازه گیری که دارای قطر مشابه با جریان سنج می باشد، نیاز دارند. این طول مستقیم لوله باید از داخل لوله کاملاً صاف باشد، در برگیرنده هیچ اتصالی (فلنج، سه راهه و . . .) نباشد. در بسیاری موارد به منظور کاهش طول مستقیم لوله مورد نیاز قبل از جریان سنج از وسایلی بنام شرایط دهنده جریان (Flow Conditioner) استفاده می شود. میزان طول مستقیم مورد نیاز قبل و بعد از جریان سنج عموماً بر حسب ضریبی از قطر داخلی لوله بیان می شود (در عمل قطر اسمی لوله بجای قطر داخلی استفاده می گردد مثلاً عنوان می شود طول مستقیم مورد نیاز قبل از لوله برابر با  $D = 20$  می باشد).

این میزان طول مستقیم مورد نیاز بسته به نوع جریان سنج، نوع طراحی، تکنولوژی ساخت و . . . تغییر می کند. بعضی از سازندگان دستگاه های اندازه گیری جریان، لوله های قبل و بعد از جریان سنج را نیز به همراه دستگاه ارسال می نمایند. در این حالت درون لوله قبل از جریان سنج از Flow Conditioner مناسب استفاده شده است.

**• انشعابات فشار (Pressure Taps):**

انشعابات مورد نیاز جهت نصب وسایل اندازه گیری فشار باید روی لوله قبل و بعد از جریان سنج تعییه شوند و می باشد که هیچگونه فرورفتگی در خط لوله ایجاد ننمایند. (شکل ۶-۲)



Flowmeter Pressure and Temperature Taps

شکل ۶-۲ : نحوه صحیح اتصالات دما و فشار. مرجع [۴]

• انشعابات دما (*Temperature Taps*)

چاهک‌های دما جهت نصب ترموکوپل و یا هر وسیله دیگر اندازه گیری دما، می‌بایست روی خط بعد از جریان سنج نصب گردد. دلیل اینکار این است که اگر چاهک دمایی قبل از جریان سنج نصب گردد فرورفتگی چاهک دما در خط لوله باعث ایجاد اغتشاش در جریان و تأثیر قابل توجه بر روی دقت و صحت جریان سنج خواهد داشت. موارد متعددی مشاهده شده که چاهک دما قبل از جریان سنج نزدیک به آن نصب شده است. این عمل روی دقت اندازه گیری دستگاه‌هایی که به پروفیل سرعت بسیار حساس می‌باشند (مانند اریفیس) تأثیر قابل ملاحظه‌ای خواهد داشت.

• **کالیبراسیون دوره‌ای :**

جهت اطمینان از عملکرد مناسب جریان‌سنج‌ها و حفظ دقت آنها، کالیبراسیون دوره‌ای ضروری است.

دو نوع کالیبراسیون برای جریان‌سنج‌ها در نظر گرفته می‌شود که انتخاب آنها بستگی به ساختار و طراحی

و نوع جریان‌سنج دارد. این دو نوع کالیبراسیون عبارتند از:

۱- کالیبراسیون تر (Wet Calibration). در این نوع کالیبراسیون حجم معینی از سیال را از درون جریان‌سنج عبور می‌دهند و خروجی آنرا تست می‌کنند. در این حالت می‌توان جریان‌سنج را باز نمود و بر روی یک سیستم تست قرارداد و با یک جریان‌سنج مرجع که بطور سری با آن قرار دارد مقایسه نمود.

۲- کالیبراسیون خشک (Dry Calibration). در این نوع کالیبراسیون از سیگنالهای شبیه سازی (ولتاژ مقاومت، جریان و ...) جهت کالیبراسیون استفاده می‌شود.

**۲-۴-۲- منابع اثرات نصب:**

اثرات نصب در جریان‌سنج‌ها متنوع می‌باشند. جدول زیر منابع عمده اثرات نصب را طبقه‌بندی

می‌نماید:

جدول ۲-۱: انواع اثرات نصب و منابع ایجادکننده آنها

|   |                               |
|---|-------------------------------|
| <ul style="list-style-type: none"> <li>- وجود پیچش در جریان، پروفیل سرعت بد و ضعیف</li> <li>- وجود جریان نبضی و پالسی</li> <li>- وجود سیال غیرهمگن (دوفازی)</li> <li>- تغییر خصوصیت سیال</li> </ul>   | <p>اثرات دینامیک<br/>سیال</p> |
| <ul style="list-style-type: none"> <li>- وجود اتصالات خیلی نزدیک به جریان سنج</li> <li>- وجود اتصالات خیلی نزدیک به یکدیگر و قبل از جریان سنج</li> <li>- نصب ناصحیح شیرها</li> <li>- اثرات ناشی از ناصافی لوله و یا رسوبات داخل لوله</li> <li>- استفاده نکردن از Conditioner یا Straightener</li> </ul> | <p>اثرات مکانیکی</p>          |
| <ul style="list-style-type: none"> <li>- وجود لرزش</li> <li>- وجود منابع امواج الکترومغناطیس یا فرکانس رادیویی نزدیک جریان سنج</li> <li>- تغییرات زیاد دمای محیط</li> <li>- تغییرات زیاد رطوبت</li> </ul>   | <p>اثرات دیگر</p>             |

بعضی از عوامل ذکر شده در جدول با زمان تغییر می‌نمایند، مانند صافی داخل لوله که با گذشت زمان

دچار تغییر می‌گردد.

• اثرات دینامیک سیال :

دونوع عمدۀ اختلال و نا آرامی در جریان دینامیک سیال وجود دارد:

۱- تغییر پروفیل (Velocity Profile Distortion)

۲- پیچش (Swirl)

این دو پارامتر می‌توانند به تنها بی و یا با هم در سیال ایجاد شود. ولی هردو بوسیله استفاده از یک Flow Conditioner مناسب قابل تصحیح می‌باشند.

تغییر پروفیل سرعت در واقع تغییر در توزیع محوری (Axial Velocity Distribution) می‌باشد. این حالت ممکن است در زانوها، شیرهای نیمه باز یا عدم نصب صحیح آب بندها، هم محور نبودن فلنجهای برآمدگی‌های داخل لوله و یا کاهنده‌های غیر هم مرکز بوجود آید.

پیچش (Swirl)، اساساً چرخش سیال درون لوله می‌باشد و در اثر تغییر سرعتشعاعی درون سیال بوجود می‌آید. این پدیده در زانوها (خصوصاً در ترکیبی از چند زانو) در بعضی از شیرها و یا زمانی که دو یا چند اتصال مختلف نزدیک به هم نصب شده‌اند بوجود می‌آید.



شکل ۷-۲ : پروفیل جریان در خروجی یک زانو. مرجع [۴]

نتایج آزمایشگاهی نشان داده است که شدیدترین پیچش هنگامی در سیال ایجاد می شود که دو زانوی غیرهم سطح با زاویه ۹۰ درجه نسبت به هم وجود دارد. پیچش می تواند بصورت چرخش سیال از سمت چپ و یا سمت راست باشد که این بستگی به جهت گیری اتصالات دارد. این پدیده بر روی جریان سنجهایی که دارای اجزا دوران کننده می باشند (مانند کنتورهای توربینی) اثر بسیار زیادی دارد. پیچش همچنین در سه راهی ها ایجاد می شود بخصوص زمانی که یک سیال با سرعت بالا با سیال اصلی مخلوط می شود.

نتایج آزمایشگاهی نشان داده است که در صورتی که دو زانوی غیرهم سطح با زاویه ۹۰ درجه نسبت به هم نصب شوند، جریان سیال در هنگام خروج از زانوی دوم دچار پیچش زیادی می گردد که حتی پس از طی D ۱۵ از زانو هنوز پیچش قابل توجه می باشد و طبق نتایج بدست آمده، D ۱۰۰ فاصله نیاز است تا این پیچش از بین برود (باید توجه نمود که پیچش به سرعت بوجود می آید ولی به آهستگی از بین می رود).

پمپها و کمپرسورها می توانند باعث ایجاد جریان نبضی گردند که این عامل باعث می شود که اکثر جریان سنجها بیشتر قرائت نمایند که البته میزان خطا بستگی به بزرگی و فرکانس پالسهای ایجاد شده دارد. این قضیه در خصوص جریان سنجهایی که براساس اختلاف فشار کارمی کنند (مانند جریان سنجهای اریفیس، ونتوری و نازل) اهمیت زیادی دارد. در کنتورهای توربینی جریان های نبضی باعث تغییر سرعت روتور می گردد و مستقیماً روی دقت اندازه گیری (Accuracy) اثر می گذارد.

بعضی از جریان سنجها (مانند جریان سنجهای جابجائی مثبت) می توانند باعث ایجاد جریان نبضی گردند. بنابراین باید در خصوص نصب و سایل اندازه گیری دیگر در صورتی که جریان نبضی ایجاد می شود دقت نمود. همانگونه که انتظار می رود خصوصیات جریان نبضی با نوع سیال متفاوت می باشد. این حالت در گازها بعلت خاصیت تراکم پذیری کمتر از مایعات می باشد.

• اثرات مکانیکی :

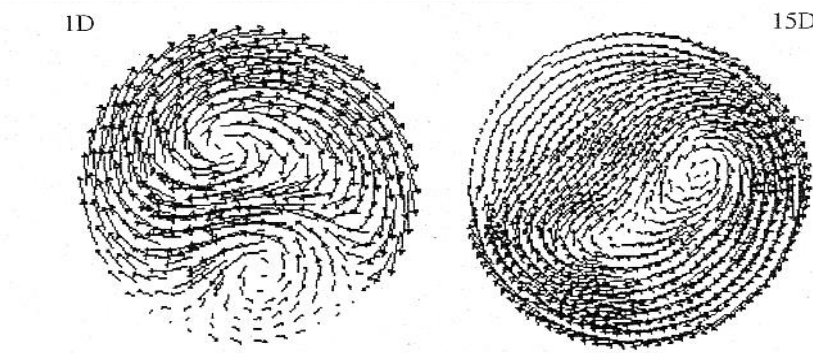
یکی از منابع مهم ایجاد مشکل در نصب جریان سنجها طراحی ضعیف سیستم لوله کشی می باشد. تقریباً همه جریان سنجها به قسمی طراحی شده اند که با یک جریان بدون پیچش و بدون تغییر در پروفیل سرعت عمل نمایند که این شرایط تنها زمانی به وقوع می پیوندد که حداقل طول مستقیم لوله قبل از جریان سنج به اندازه کافی درنظر گرفته شده باشد. ولی اغلب مجبور می شویم جریان سنجها را نزدیک اتصالاتی نظیر زانوها، کاهندها و شیرها نصب نماییم. در ادامه اثرات نصب اتصالات ذکر شده روی عملکرد جریان سنجها بررسی خواهد شد.

- زانوها :

همانطور که قبلاً گفته شد زانوها یکی از عوامل ایجاد اغتشاش در جریان می باشند که میزان آن بستگی به شعاع زانو دارد. هر چقدر شعاع زانو کوچکتر باشد پیچش جریان بیشتر خواهد بود. بازیافت پروفیل سرعت بستگی به میزان جریان سیال دارد. در جریان کم، بازیافت می تواند تا حدود  $D = 10$  باشد ولی برای جریان زیادتر این میزان به  $D = 20$  و یا بیشتر افزایش می یابد.

- زانوهای پشت سرهم :

در بعضی از واحدهای فرایندی بعلت کمبود فضا، اجباراً از چندین زانو پشت سرهم و در کنار هم استفاده می شود. این مسئله تأثیر بسیار بدی روی صحت اندازه گیری جریان سنجها دارد و عامل بسیار مهمی در ایجاد پیچش در جریان پس از خروج سیال از زانوی دوم می باشد. این پیچش براساس نتایج آزمایشگاهی تا  $D = 100$  بعد از زانوی دوم پایدار خواهد بود و باعث خطای قابل ملاحظه ای در اندازه گیری جریان می گردد. (بیش از ۲۰٪ خطای جریان سنجهایی که  $D = 2-3$  بعد از زانوی دوم نصب شده اند گزارش شده است). فاصله دادن بین زانوها می تواند باعث کاهش این اثرات گردد.



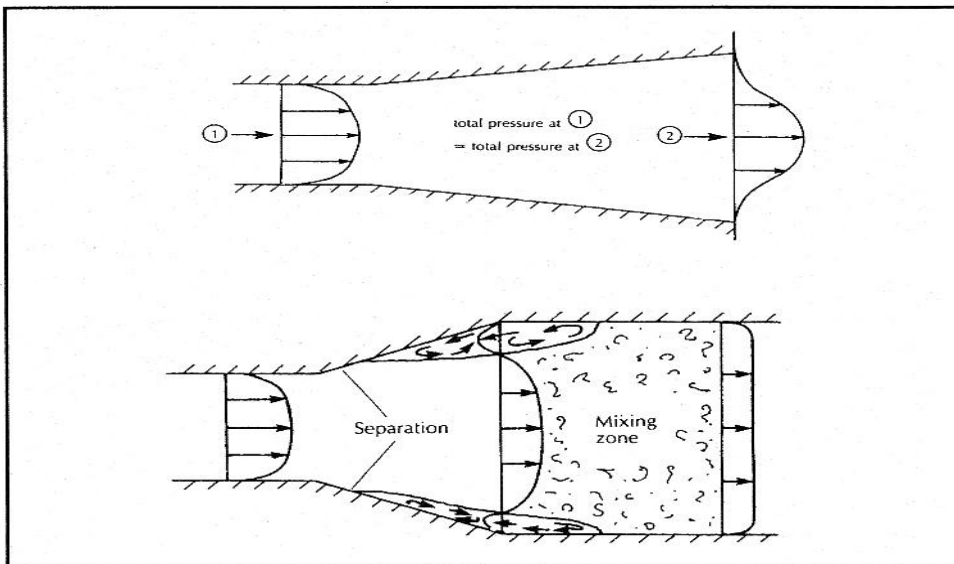
شکل ۸-۲ : پروفیل جریان خروجی از دو زانوی پشت سر هم . مرجع [۴]

- کاهنده‌ها (*Reducers*) :

کاهنده‌ها نیز باعث تغییر در پروفیل سرعت می‌شوند و برعملکرد جریان‌سنج‌ها تأثیر نامطلوبی دارند.

- افزاینده‌ها (*Increasers*) :

این نوع اتصال نیز باعث تأثیرات متعددی بر روی اندازه گیری جریان می‌گردد که میزان آن بستگی به مقدار افزایش سایز دارد. شیپورهای بلند باعث ایجاد پروفیل قله‌دار سرعت می‌گردند (Peaked Velocity Profile) که این حالت باعث مقداری افزایش در قرائت جریان‌سنج می‌گردد. اگر از افزاینده‌های هم‌مرکز رایج استفاده شود در خروجی افزاینده یک جت از سیال و جریان مغشوش در اطراف دیواره ایجاد می‌گردد (شکل ۹-۲) که مجموعاً باعث تغییر پروفیل سرعت می‌شوند. متأسفانه در بسیاری موارد در خطوط لوله افزاینده‌های با شیب زیاد جهت افزایش قطر استفاده می‌گردد که به ندرت به اثرات سوء استفاده از آنها در جریان‌سنج‌ها توجه می‌گردد. این موضوع در ایستگاه‌های تقلیل فشار گاز به وفور مشاهده می‌شود.



شکل ۹-۲ : جریان خروجی از افزایندها. مرجع [۴]

- شیرها:

همه شیرها مقادیر قابل توجهی آشفتگی و تلاطم در جریان پائین دست خود ایجاد می نمایند. هرچه میزان بسته بودن شیر بیشتر می گردد، میزان آشفتگی جریان افزایش می یابد. شیرهای نیمه باز هم تولید پیچش می نمایند و هم باعث تغییر پروفیل سرعت می گردند و نهایتاً بیشترین خطای اندازه گیری را ایجاد می نمایند. وجود یک شیر نیمه باز حتی به فاصله  $D = 50$  در بالا دست و قبل از یک جریان سنج باعث تولید خطاهای غیرقابل قبول در اندازه گیری جریان می گردد.

یک شیر را می توان بعنوان یک مانع و نیز ترکیبی از زانوهای نزدیک بهم درنظر گرفت (مانند شیرهایی که برای کنترل جریان بکار می روند. رگلاتورهای دارای حرکت خطی درایستگاههای تقلیل فشار گاز نیز بدینگونه می باشند). همچنین تغییر جهت ناگهانی سیال درون شیر مجموعاً باعث یک الگوی جریانی پیچیده می گردد که باعث ایجاد خطا در همه انواع جریان سنجها می شود. شکل پروفیل جریان با بسته شدن بیشتر شیر به سمت قله دار شدن (Peaked Flow) تمایل می یابد. و مسافت زیادی لازم است تا پروفیل جریان به حالت پایدار خود برگردد و این دلیل مهمی است که بهتر است عناصر کنترل کننده

جريان قبل از جريان سنجها قرار نگيرند. يكى از دلائل خرابى جريان سنجهاي توربينى در ايستگاههاي تقليل فشار گاز نيز همین موضوع مى باشد. بخصوص در زمان تنظيم رگلاتورها كه نوسانات فشار باعث صدمه به قطعات متحرک جريان سنج مى گردد.

اگر به شيرهایي جهت قطع و وصل جريان قبل از جريان سنج نياز مى باشد، بهتر است از شيرهای ربع گرد و توپی (Ball Valve) قبل از جريان سنج استفاده نمود و اين شيرها در صورتی كه كاملاً باز باشند مانع قابل توجهی بر سرجريان نمى باشند و مى توان آنها را با فاصله كمتر از  $D/50$  قبل از جريان سنج نصب نمود.

- **تركيبی از اتصالات :**

اتصالات چندتايی كه نزديك به هم نصب شده‌اند هم باعث ايجاد پيچش و هم باعث تغيير در پروفيل سرعت مى شوند. يكى از رایج ترین اتصالات تركيبی عبارت است از يك زانو كه به فاصله کمي از آن يك كاهنده نصب شده است. اين نوع اتصال باعث اغتشاش بسیار شدیدی در جريان مى گردد كه از بين بردن آن اغتشاشات بسیار مشکل مى باشد. اغتشاشات اين چنینی باعث کاهش شدیدی در كارايی یکنواخت گندها (Straightener) و بهبود دهنده‌هاي (Flow Conditioner) جريان مى گردد.

اتصالات ديگر مانند صافی‌ها (Strainer) و فيلترها میتوانند بعنوان اتصالات تركيبی درنظر گرفته شوند و دليل آن است كه در فيلترها هم تغيير جهت جريان و هم تغيير سطح جريان ايجاد مى شود. متأسفانه بيشر اوقات فاصله كافی بين فيلتر و جريان سنج در نظر گرفته نمى شود و اين موضوع بخصوص در مورد كتوروهاي توربينى بسیار مهم و حائز اهمیت مى باشد.

- **ناصافی لوله و رسوبات :**

بطورکلى با افزایش عمر لوله، ناصافی داخل لوله افزایش مى يابد و وجود ذرات معلق و مواد خارجی نيز به اين موضوع كمک مى كند. تغيير ناصافی لوله باعث تغيير در پروفيل سرعت مى گردد و عموماً توليد

پروفیل سرعت قله دار می شود که این موضوع نیز باعث افزایش میزان قرائت کنتور و خطای مثبت می شود.

- بهبوددهنده ها (*Straightener*) و یکنواخت کننده ها (*Flow Conditioner*)

در نقاطی که تغییرات شدید در شکل جریان وجود دارد استفاده از بهبوددهنده ها (Conditioner) و یکنواخت کننده ها (Straightener) باعث کاهش خطای اندازه گیری می گردد. اصولاً تفاوت مشخصی بین بهبوددهنده ها و یکنواخت کننده ها وجود دارد. وسایلی که تنها پیچش جریان را کاهش می دهند بعنوان Straightener طبقه بندی می شوند. وسایلی که پیچش جریان را کاهش داده و پروفیل تغییر شکل داده را نیز از بین می برنند بعنوان Conditioner طبقه بندی می گردند. بعلت اینکه خود این وسایل ایجاد تلاطماتی در جریان می نمایند نباید زیاد نزدیک به جریان سنج نصب شوند.

یکی از دلایلی که باعث می شود در نصب کنتورهای توربینی گاز بتوان طول مستقیم لوله مورد نیاز را از آنچه قبل ذکر شد، کاهش داد نصب یک Straightener در ورودی کنتور می باشد.

- اثرات عوامل خارجی :

تجربه نشان داده است که عوامل خارجی اثرات قابل توجهی بر روی خطای اندازه گیری داشته اند. این اثرات می توانند شامل لرزش خطوط لوله، قراردادن جریان سنج و کابلهای سیگنال آن در کنار منابع تولید برق قوی، رطوبت زیاد و دمای بالا باشد. بعنوان مثال لرزش خط لوله باعث ایجاد مشکل در جریان سنج های که براساس اختلاف فشار عمل می نماید (Venturi, Orifice و ...) می گردد. این موضوع نیز باید مد نظر قرار داده شود که راندمان و عملکرد جریان سنج ها در عمل با آنچه که در کاتالوگ شرکت سازنده آمده است و یا آنچه در آزمایشگاه های تحت کنترل بدست می آید متفاوت می باشد.

## ۲-۵- مروری بر کارهای گذشته

در سال ۱۷۲۴، برنولی به معادله‌ای برای اندازه گیری نرخ جریان‌های حاصل از اختلاف فشار که پس از عبور سیال از مقاطع کوچکتر پدید می‌آید، دست یافت. این معادله به بیان رابطه بین انرژی جنبشی و پتانسیل جریان سیال می‌پردازد:

$$P_s + \frac{\rho V^2}{2} = P_t \quad (1-2)$$

که  $P_s$  فشار استاتیکی و  $P_t$  فشار سکون جریان می‌باشد.

سپس در سال ۱۷۷۹ یک دانشمند ایتالیایی به نام جیووانی ونتوری یافته‌های خود را در جهت استفاده از اریفیس برای اندازه گیری جریان سیالات، به ثبت رساند و پس از آن اریفیس به طور گسترده در سطح جهان مورد استفاده قرار گرفت.

اریفیس در صنایع مختلفی برای کنترل نرخ جریان به کار می‌رود. گلوگاه کوچک اریفیس همانگونه که نرخ جریان را در لوله کنترل می‌کند، می‌تواند در برخی مواقع باعث ایجاد کاویتاسیون شود. اریفیس‌های دوقلو یا اریفیس‌های با گلوگاه مخروطی برای کاهش مضرات کاویتاسیون در اختلاف فشارهای بالا استفاده می‌شوند. پدیده کاویتاسیون باعث تشكیل، رشد و فروپاشی حبابهایی در سیال شده که تولید صدا و ارتعاش می‌کنند و می‌توانند به سیستم صدمه بزنند [۵].

سیمپسون [۶] کاویتاسیون در اریفیس‌های چندگانه که در ورودی مبدل‌های حرارتی یک کشتی نصب شده بودند را مشاهده کرد. فشار بالای آب دریا برای استفاده مطمئن در مبدل‌های حرارتی، باید کاهش می‌یافت. اریفیس‌های چند گانه ترکیبی از صفحات اریفیس با نسبتهاي  $\beta$  متفاوت می‌باشند که در یک فاصله بهینه از یکدیگر قرار می‌گیرند تا صدمات کاویتاسیون را به حداقل برسانند. سیمپسون نشان داد که اثرات کاویتاسیون به  $\frac{1}{3}$  تا  $\frac{1}{4}$  نسبت به استفاده از یک صفحه اریفیس کاهش پیدا می‌کند.

کامی یاما و یاما زاکی [۷] بر روی اریفیس‌های با گلوگاه‌های بلند و باریک که نسبت ضخامت صفحه به قطر گلوبی اریفیس بزرگتر از  $t/d > 15$ <sup>۱۶</sup> باشد، در سیالات مختلف تحقیق کردند. عدد کاویتاسیون پیش‌بینی شده، با اعداد حاصل از کار تجربی برای شرایط سرعت بالا در گلوگاه مطابقت خوبی داشت. عدد کاویتاسیون نسبت بین اختلاف فشار مطلق و فشار بخار و انرژی جنبشی بر واحد حجم سیال بوده و پتانسیل یک جریان برای رخدادن کاویتاسیون در سیال می‌باشد:

$$Ca = \frac{P - P_v}{\frac{1}{2} \rho v^2} \quad (2-2)$$

او با و ایکوهایگی و کیم [۸] برای اریفیس با گلوگاه‌های ریز کوچکتر از ۱ mm و  $t/d > 2.5$  و  $d=0.2$  و  $\beta=0.33$  آزمایشاتی را انجام و نشان داد که ضریب تخلیه  $C_a$  پیش‌بینی شده کمی از مقادیر ذکر شده در ISO ۵۱۶۷ بیشتر است.

کیم و همکاران [۵] در مقاله‌ای به بررسی تأثیر عدد کاویتاسیون و ضخامت صفحه اریفیس بر عملکرد آن پرداختند. در این کار تجربی، برای یک لوله با قطر ۱۰۰ mm سه اریفیس با قطر سوراخ‌های مختلف برای سیال آب مورد آزمایش قرار گرفتند به طوری که  $\beta = 0.1$  و  $\beta = 0.15$  و  $\beta = 0.33$ .

عدد کاویتاسیون در طول آزمایش بین ۱ تا ۱.۲ تغییر می‌کند. با اینکه در تمام آزمایشات کاویتاسیون رخ می‌دهد با این وجود ضریب تخلیه اریفیس  $C_a$  فقط برای کوچکترین قطر اریفیس ( $\beta = 0.1$ ) و ضخیم‌ترین آن‌ها ( $t/d = 0.7$ ) تحت تأثیر کاویتاسیون قرار گرفت. کیم نتیجه گرفت که ضخامت نیز فقط برای حالت  $\beta = 0.1$  بر ضریب تخلیه اثر می‌گذارد و همان اریفیس با ضخامت‌های ۴ و ۵.۵ میلی‌متر تحت تأثیر قرار نمی‌گیرد.

استینر و همکاران [۹] و اسپیتزر [۱۰] در بررسی‌های خود نشان دادند که مقدار ضریب تخلیه اریفیس

$C_d$  به عدد رینولدز و  $\beta$  نسبت قطر لوله به قطر اریفیس بستگی دارد.

با توجه به نیاز صنایع گوناگون، انواع مختلف اریفیس‌های متر مانند خارج از مرکز، ورودی مخروطی شکل اریفیس‌های با لبه با منحنی درجه ۲ و اخیراً نیز اریفیس‌های با سطح متغیر متداول شده‌اند. گرایش به یک نوع خاص اریفیس‌متر به مقدار افت فشار دائمی ایجاد شده در سیستم، مربوط می‌باشد. به طوریکه هر چه افت انرژی کمتر باشد این گرایش بیشتر خواهد بود.

یک اریفیس با سطح متغیر نرخ جریان را به صورت تابعی خطی از جابجایی جسم متقارن هم مرکز با اریفیس که بعد از آن قرار می‌گیرد، نشان می‌دهد. مزیت این نوع اریفیس اینست که افت فشار در سیستم مستقل از نرخ جریان است. جسم متقارن در هر جریانی موقعیت خود را طوری تنظیم می‌کند که افت انرژی مستقل از نرخ جریان و ثابت باشد. جابجایی این جسم دقیقاً اندازه گیری شده و نرخ جریان به دست می‌آید.

پوری و همکاران [۱۱] و [۱۲] بر روی مشخصه‌های اریفیس سطح متغیر کار کرده‌اند. آزمایش آنها با یک جسم مخروطی با قطر پایه ۵۵.۲ mm و زاویه یال ۵۳.۳ درجه و یک اریفیس با قطر سوراخ ۵۵.۲mm و قطر لوله ۷۸ mm انجام شده است.

سونگ و همکاران [۱۳] آزمایشاتی را بر روی موقعیت‌های مختلف جسم متقارن برای ارزیابی عملکرد اریفیس سطح متغیر انجام داده‌اند. آنها نتیجه گرفتند که برای یک اریفیس سطح متغیر مخروطی با پایه نیمکره و یال‌های پارabolیک تقریباً یک رابطه خطی بین نرخ جریان و جابجایی جسم متقارن وجود دارد. برای اندازه گیری اختلاف فشار حاصل از عبور جریان از ابزارهای اندازه گیری اختلاف فشاری مانند اریفیس و ونتوری راههای زیادی وجود دارد. یکی از این راهها استفاده از سنسورهای فشار می‌باشد و در این زمینه در چند سال اخیر پیشرفت‌های زیادی صورت گرفته است.

یکی از جذابترین پیشرفتها، ساخت سنسورهای فشار بر پایه تکنولوژی سیلیکون است که به دلیل انتقال حرارت مناسب‌تر سیلیکون، قابلیت استفاده از مدارهای الکترونیکی مجتمع، قیمت پایین‌تر و کارایی بالاتر سنسورها فراهم شده است [۱۴].

سنسورهای سیلیکونی معمولاً شامل اجزای الکترونیکی برای تطبیق پارامترها و مدارهای الکترونیکی برای پردازش سیگنال می‌باشند. این سنسورها چون خیلی حساس هستند فرایند ساخت، مونتاژ و مجموعه شدن آنها باید از فارغ از هر گونه تنشی انجام شود [۱۵].

دارکو بلازویج و همکاران [۱۶] برای جلوگیری از هرگونه صدمه به سنسورها، استفاده از تکنولوژی فیلم ضخیم که پیرامون سنسور فشار کشیده شود را پیشنهاد داده‌اند. پس از آن استفاده از سنسورهای سیلیکونی با پوشش ضخیم در بسیاری از صنایع نظیر خودروسازی، وسایل آزمایشگاهی و پزشکی و صنایع کنترل فرایند رونق گرفت.

کراسو و همکاران [۱۷] از میکرو سنسورهای سیلیکونی فشار برای اندازه گیری فشار، بخصوص در جایی که اندازه‌های اقطار لوله و اریفیس کوچک، استفاده و یک وسیله آزمایشگاهی ارزان و قابل اعتماد معرفی کرده‌اند.

برای پیدا کردن ضریب تخلیه اریفیس، از روابط موجود در استانداردها مانند ISO ۵۱۶۷ استفاده می‌کنیم. این روابط وقتی معتبر هستند که جریان ورودی کاملاً توسعه یافته بوده و به حالت پایدار رسیده باشد. بنابراین معمولاً این شرایط را هم به کمک یک شرایط دهنده جریان (Flow Conditioner) و هم به کمک یک طول مستقیم لوله قبل از اریفیس متر برقرار کرده و نیازمندیهای نصب اریفیس استاندارد نیز باید رعایت شود.

میلر [۱۸] دقیق اریفیس متر را در سایزهای مختلف و جریان‌ها و سیالات متفاوت بررسی کرده است و نشان داده است که اریفیس‌ها می‌توانند خیلی دقیق باشند.

برانج [۱۹] به بررسی تأثیر یک زانویی ۹۰ درجه به عنوان آشفتگی بر روی اریفیس پرداخته است.

زیمرمان [۲۰] تأثیر یک خم خارج از صفحه را بر روی نامتنازنی پروفیل سرعت بررسی کرده است.

لاز و کازان [۲۱] بر روی شرایط دهنده‌های جریان کار کرده‌اند.

بک و مازیل [۲۲] بر روی یک اریفیس‌متر جدید تحقیق کرده‌اند که در آن با تعریف چرخش استاندارد قبل از اریفیس‌متر، ضریب تخلیه اریفیس تحت تأثیر شرایط آشفته جریان ورودی به لوله قرار نمی‌گیرد. این آشفتگی می‌تواند جریان چرخشی یا مسدود شدن قسمتی از مقطع جریان باشد.

از این نتیجه می‌توان برای استاندارد سازی پروفیل‌های سرعت جریان و کوتاه‌تر کردن طول لوله مستقیم قبل از اریفیس استفاده کرد.

در این چند سال پیشرفت‌هایی در خصوص ابزارهای اندازه‌گیری مخصوص جریان‌های دو فازی با دقت بالا و قیمت پایین صورت گرفته است. این ابزارها در صنایع نفت و گاز و تزریق گاز ترش به چاه‌های نفت مورد استفاده هستند و دقت بالای آنها تأثیری اقتصادی در خیلی از زمینه‌ها به عنوان مثال برای تخمین بهتر طول عمر چاه‌های گاز، دارند.

معمولًاً در خطوط انتقال گاز، مقداری مایع بر اثر تقطیر در لوله جمع می‌شود و توانایی یک جریان‌سنج به پاسخ قابل پیش‌بینی برای مخلوط جریان گاز و مایع در صنایع گاز مهم است. رفتار اریفیس‌مترهای معمولی غیر قابل پیش‌بینی و نامناسب است و توربین مترها نیز در مواجهه با جریان‌های دو فازی آسیب جدی می‌بینند.

موریسون و همکاران [۲۳] اریفیس شکافدار را برای رفع این مشکل ارائه و تأثیر جریان دوفازی گاز و مایع بر روی کارایی اریفیس شکافدار با نسبت قطر معادل ۵،۰ را بررسی کرده‌اند. این اریفیس‌ها طوری طراحی می‌شوند که به پروفیل سرعت جریان حساس نباشند.

الیویرا و همکاران [۲۴] نشان داده‌اند که در جریان‌های دوفازی عمودی یا افقی بودن جهت جریان هیچ تأثیر قابل توجهی بر روی نتایج اندازه گیری نمی‌گذارد. استیون [۲۵] برای اولین بار از ونتوری متر برای سنجش جریان دوفازی استفاده کرد و روابط مربوط به آن را استخراج نمود. تا قبل از این کار از اریفیس‌متر برای اندازه گیری‌های مربوط به جریان دوفازی استفاده نمی‌شد. لین [۲۶] روابط مربوط به محاسبات اریفیس‌متر برای جریان دوفازی جنگ و دوستانش [۲۷] در مقاله‌ای به بررسی مشخصه‌های اریفیس شکافدار در جریان دوفازی پرداخته‌اند و نتیجه گرفته‌اند که این اریفیس‌ها نسبت به انواع معمولی به طول لوله کوتاهتری برای جبران فشار در ورودی لوله نیاز دارند و پروفیل سرعت یکنواخت و پایداری دارند و ذرات انباشته شده مایع در پایین دست اریفیس مشاهده نمی‌شود.

طبق رابطه (۳-۲) برای محاسبات مربوط به اندازه گیری نرخ جریان گاز طبیعی که در این تحقیق به آن پرداخته‌ایم، به چند پارامتر اساسی از جمله ضریب تخلیه اریفیس  $C_d$ ، چگالی، اختلاف فشار و ضریب انبساط گاز<sup>۱۷</sup> نیاز داریم [۲۸]:

$$\dot{m} = c_d \varepsilon \times \pi \frac{d^4}{\epsilon} \sqrt{\frac{2 \Delta p \rho}{1 - \beta^4}} \quad (3-2)$$

برای اندازه گیری اختلاف فشار از سنسورهای DP و برای تخمین  $C_d$  ضریب تخلیه اریفیس، از روابط موجود در ISO ۵۱۶۷-۲ [۲۸] برای اریفیس سود می‌بریم.

وقتی یک جریان گاز از میان یک ابزار اندازه گیری اختلاف فشاری مانند اریفیس عبور می‌کند فشار آن کاهش یافته و در چگالی آن تغییری ایجاد می‌شود. روابط تخمین نرخ جریان برای ابزارهای اختلاف فشاری با فرض چگالی ثابت برای سیال، معتبر می‌باشند. این فرض فقط برای جریان‌های تراکم‌ناپذیر

<sup>۱۷</sup> Expansibility Factor

صدق می کند و برای جریان های تراکم پذیر یک ضریب تصحیح باید لحاظ شود که ضریب انبساط آدیباتیک<sup>۱۸</sup> نام دارد و به پارامترهای فشار، اختلاف فشار، قطر لوله، قطر سوراخ ابزار اندازه گیری و توان آیزنتروپیک بستگی دارد [۲۹].

از آنجا که معادله حالت به شکل  $P = \rho_m ZRT$  می باشد، بنابراین با معلوم بودن مقادیر دما و فشار و ضریب تراکم پذیری، چگالی مولی،  $\rho_m$ ، و با ضرب آن در وزن مولی، چگالی به دست می آید:

$$\rho = \rho_m \times M_r \quad (4-2)$$

بنابراین اولین قدم پس از قرائت مقادیر دما و فشار اندازه گیری شده با سنسور فشار و ترموکوپل دما در راه محاسبه دبی جریان، تعیین ضریب تراکم پذیری<sup>۱۹</sup> می باشد. در این تحقیق از معادله حالت AGA ۸ که با تحقیقات انجام شده، مناسب ترین روش برای تعیین ضریب تراکم پذیری گاز طبیعی است [۳۰] استفاده کرده و Z را تعیین می کنیم.

پارامتر دیگر مورد نیاز محاسبه نرخ جریان، ضریب انبساط گاز،  $\epsilon$ ، است [۲۸] :

$$\epsilon = 1 - (0.351 + 0.256\beta^4 + 0.93\beta^8) \left[ 1 - \left( \frac{p_1}{p_\infty} \right)^{1/\kappa} \right] \quad (5-2)$$

که در آن  $\kappa$  توان آیزنتروپیک است که برای تعیین این پارامتر هم از روش AGA ۸ استفاده می کنیم. لازم به یادآوری است که در فشارهای بالا رفتار گاز طبیعی از رفتار گاز ایده آل انحراف پیدا کرده و  $\kappa$  دیگر از رابطه  $\frac{C_p}{C_v}$  به دست نمی آید، بلکه  $C_p$  و  $C_v$  و  $\kappa$  توابعی از دما و فشار می باشند. هر چند  $\kappa$  تاثیر کمی بر روی نرخ جریان دارد ولی برای دقت بیشتر در محاسبات به مقدار دقیق آن نیازمندیم. سولیوان [۳۱] در مقاله ای چند مدل جریان ایزنتروپیک معرفی کرده است که از معادلات حالت مختلف برای

<sup>۱۸</sup> Adiabatic Correction Factor

<sup>۱۹</sup> Compression Factor

## **کلکه فصل دوم : ابزار اندازه گیری اختلاف فشاری و مرواری بر کارهای گذشته**

پیش‌بینی  $K$  سود می‌برد. او همچنین پیشنهاد کرد برای کاربردهایی که به محاسبات دقیق نیاز دارند مانند اندازه‌گیری نرخ جریان، تأثیر رفتار گازهای واقعی در نظر گرفته شود.

ایوان ماریک [۲۹] و [۳۲] با کمک تقریب ردیش - وانگ و معادله حالت AGA ۸/۱۹۹۲ و نیز با یک سری عملیات ریاضی بر روی معادله حالت AGA۸ و تعاریف ترمودینامیکی، برای گاز طبیعی  $K$  را محاسبه کرده است.

در پایان نامه پیش رو سعی شده است تا با ساخت یک نمونه اریفیس متر با اتصالات از نوع فلنجی طبق استاندارد ISO ۵۱۶۷-۲ و کار آزمایشگاهی بر روی آن و به صورت همزمان ورود پارامترهای مورد نیاز حاصل از آزمایش به یک برنامه کامپیووتری ویژوال بیسیک که به منظور طراحی اریفیس نوشته و در آن از جدید ترین روشها و مطالعات برای تخمین پارامترهای فیزیکی گاز طبیعی استفاده شده است، به اطلاعات جامعی در اندازه‌گیری نرخ جریان گاز که در خطوط انتقال گاز و ایستگاه‌های C.G.S به آن نیاز فراوان می‌باشد، دست یابیم.

در فصل بعد به طور کامل به معرفی روش AGA ۸ که معتبرترین روش برای محاسبه ضریب تراکم‌پذیری گاز طبیعی و چگالی می‌باشد، خواهیم پرداخت.

## فصل سوم

معرفی روش AGA

و فرمول بندی روابط

### **۱-۳- مقدمه**

تا کنون معادلات حالت مختلف و متنوعی جهت بدست آوردن خواص ترمودینامیکی گازها معرفی شده‌اند اما از آنجا که گاز طبیعی، ترکیبی از گازهای مختلف با خواص ترمودینامیکی متفاوت می‌باشد و بدلیل وابستگی شدید خواص گاز به ترکیبات تشکیل دهنده‌اش و توجه به این مسئله که گازهای طبیعی استخراج شده از مناطق مختلف دارای ترکیبات متفاوتی نیز می‌باشند، نیاز به وجود معادله حالتی که خواص گاز طبیعی را با استفاده از آنالیز دقیق اجزای تشکیل دهنده گاز بیان نماید وجود داشت. معادله حالت ۸ AGA، خواص گاز طبیعی را با استفاده از میزان درصد کسر مولی اجزای تشکیل دهنده گاز بیان می‌نماید [۳۰].

در این فصل در ابتدا به معرفی معادلات حالت مختلف و سپس به معرفی و نحوه استفاده از روش AGA ۸ و استنتاج روابط مورد نیاز برای تعیین خواص فیزیکی گاز طبیعی می‌پردازیم.

### **۳-۱-۱- معادله حالت گاز ایده‌آل**

از جمله ساده‌ترین معادلات حالتی که امروزه وجود دارند، معادله حالت گاز ایده‌آل می‌باشد. این معادله ارتباط بین پارامترهای فشار، دما و حجم گاز را برای چگالی‌های کم به صورت یک رابطه خطی بین آنها بیان می‌نماید.

در پارهای کاربردها که دقت بالایی مدنظر نباشد استفاده از این معادله می‌تواند فرایند رسیدن به جواب را تسريع بخشد.

$$PV = mRT \quad (1-3)$$

در رابطه بالا P فشار گاز، T دمای گاز بر حسب کلوین، V حجم گاز یا حجم سیلندر یا محفظه حاوی گاز m جرم گاز و در نهایت R ثابت گاز می‌باشد.

### [۳۳] Peng Robinson حالت معادله

یکی دیگر از معادلات حالت مشهور و پرکاربرد معادله حالت Peng Robinson میباشد. نتایج حاصل از استفاده از این معادله برای تبیین رابطه فشار، دما و حجم در مورد گاز طبیعی بیانگر این میباشند که با استفاده از این معادله در مواردی که جزئیات ترکیب گازهای تشکیلدهنده برای کاربر ضروری نباشد میتوان خروجیهای خوبی را از آن نتیجه گرفت.

معادله حالت Peng Robinson در زیر آورده شده است. در این معادله  $a$  ،  $b$  و  $\omega$  به ضرایب Peng Robinson موسوم بوده مقادیر آنها از رابطه (۲-۳) بدست میآید.

$$P = \frac{RT}{V - b} - \frac{a\alpha}{V^2 + 2bV - b^2} \quad (2-3)$$

$$a = \frac{0.45724 R^2 T_C^2}{P_C} \quad (3-3)$$

$$b = \frac{0.07780 R T_C}{P_C}$$

$$\alpha = \left( 1 + (0.37464 + 1.54226\omega - 0.26992\omega^2)(1 - T_r^{0.5}) \right)^2$$

$$T_r = \frac{T}{T_c}$$

در رابطه (۳-۳)،  $T_c$  و  $P_c$  به ترتیب دما و فشار بحرانی گاز،  $T_r$  دمای کاهیده و  $\omega$  ضریب خروج از مرکزیت میباشند که مقادیر آنها در جداول خواص گازها موجود است.

### **۳-۱-۳- معادله حالت ۸ AGA**

جدیدترین و معتبرترین معادله حالت مورد استفاده در مورد گاز طبیعی، معادله AGA ۸ می‌باشد. این معادله تنها معادله حالتیست که با درنظر گرفتن اجزاء تشکیل‌دهنده گاز و خواص هرکدام به محاسبه ضریب تراکم‌پذیری گاز می‌پردازد. دقت نتایج بدست آمده از این روش تا آنجاست که امکان استفاده از آنرا در وسائل و لوازم اندازه‌گیری از جمله اریفیس‌ها ممکن می‌سازد [۳۰].

### **۲-۳- روش ۸ AGA و روابط و معادلات مربوطه**

تحقیقات انجام گرفته زیر نظر آقای هاوارد در سالهای ۱۹۲۸ تا ۱۹۲۹ منجر به تدوین روشی استاندارد و قابل قبول جهت محاسبه ضریب تراکم‌پذیری گاز کامل تا فشار گاز Mpa ۴ در دایره تحقیقات استاندارد گاز طبیعی آمریکا گردید. اما تا سال ۱۹۵۴ که آقای پروفسور ساموئل.ر. در دانشگاه اوهایو گزارشی از تحقیقات انجام گرفته‌اش بر روی ضریب تراکم‌پذیری گاز طبیعی بر مبنای مطالعات پیشین آقای هاوارد منتشر کرد، نتایج ایشان انتشار نیافته بود [۳۰].

پس از آن ضریب تراکم‌پذیری گاز طبیعی و معادله حالتی بر مبنای این مطالعات در فاصله بین سالهای ۱۹۵۶ تا ۱۹۶۲ زیر نظر پروفسور زیمرمن در دانشگاه اوهایو بسط و گسترش داده شد و نهایتاً در رساله‌ای توسط موسسه AGA در سال ۱۹۶۲ منتشر گردید.

در ادامه در سال ۱۹۸۵ رساله‌ای جهت محاسبه دقیق ضریب تراکم‌پذیری گاز طبیعی با در نظر گرفتن اثرات دما و فشار و گستره اجزای تشکیل‌دهنده گاز به سرپرستی پروفسور کنت.ای. در دانشگاه اوکلاهما انتشار یافت. گزارش منتشر شده با توجه به میزان دقتی که در محاسبات داشت، قابلیت استفاده از روش مدنظر را در وسائل اندازه‌گیری دقیق گاز، از جمله دبی‌سنجهای ممکن می‌نمود. اما در ادامه نتایج مطالعات مذکور در سالهای ۱۹۸۵ تا ۱۹۹۰ دچار تغییر و تکامل چشمگیری گشت و داده‌های جدید

بدهست آمده از نتایج آزمایش‌های دقیق انجام شده توسط موسسه GERC بر روی گاز طبیعی نشان دادند که معادله حالت بدهست آمده توسط پروفسور کنت.ای. و همکاران در سال ۱۹۸۴ نیاز به بازبینی و اعمال تغییرات قابل توجهی دارد.

نهایتاً با توجه به نتایج مفید بدهست آمده از داده‌های آزمایشگاهی و داده‌های تحلیلی، پروفسور ریچارد جاکوبسن و همکاران در یک پروژه همکاری مشترک بین دو موسسه GRI و GERC آمریکا، با تکمیل مطالعات پیشین، بازبینی‌های مفصلی در جهت رفع خطای نتایج استحصال شده از روش تحلیلی، بر روی متدهای ارائه دادند و نتیجه مطالعات خود را در قالب یک استاندارد مورد پذیرش موسسه AGA در سال ۱۹۹۲ تدوین نمودند.<sup>[۳۰]</sup>

### **۱-۲-۳- شرح و بسط روش ۸**

گزارش AGA جزئیات اطلاعات مورد نیاز برای محاسبه ضریب تراکم‌پذیری و چگالی گاز طبیعی و مخلوط گازها تا ۲۱ عنصر و سایر گازهای هیدروکربنی را در اختیار ما قرار می‌دهد. برای محاسبه ضریب تراکم‌پذیری گاز طبیعی با استفاده از استاندارد AGA دو روش موجود است که ابتدا به شرح مختصری درباره این دو و تبیین تفاوت‌های آنها پرداخته می‌شود.<sup>[۳۰]</sup>

روش اول که نامیده می‌شود، ضریب تراکم‌پذیری گاز طبیعی را با استفاده از ارزش حرارتی و چگالی نسبی گاز محاسبه می‌کند. دقت جوابهای بدهست آمده توسط این روش در محدوده دماها و فشارهای پایین قابل قبول می‌باشد که این مسئله باعث می‌شود در دماهای بالا، استفاده از روش فوق خطاهایی وارد محاسبات ضریب تراکم‌پذیری گاز طبیعی نماید.

در جدول (۱-۳) محدوده تعریف شده نرمال که روش (G.C.M) در آن قابل بکارگیری است آورده شده است و برای گازهای خشک و شیرین کاربرد دارد.

### فصل سوم : معرفی روش ۸ AGA و فرمول بندی روابط

اما روش دوم که تحت عنوان (D.C.M), Detail Characterization Method، شناخته می‌شود، در محدوده وسیعتری از دما، چگالی و فشار گاز طبیعی قابل بکارگیری می‌باشد. استفاده از این روش امکان محاسبه ضریب تراکم‌پذیری را در محدوده دمایی  $130^{\circ}\text{C}$  -  $400^{\circ}\text{C}$  درجه سانتیگراد تا  $400^{\circ}\text{C}$  درجه تا فشارهای بالاتر از  $280 \text{ MPa}$  با دقت مطلوب امکان پذیر می‌سازد [۳۰]. با توجه به محدوده نسبتاً وسیع دما و فشار، که در روش (D.C.M) تعریف شده است، محاسبات ضریب تراکم‌پذیری Z گاز طبیعی بر مبنای این روش تبیین خواهد شد.

جدول ۳-۱: محدوده مجاز ترکیبات گاز طبیعی برای استفاده از روش G.C.M

| محدوده مجاز                  | کمیت                 |
|------------------------------|----------------------|
| $0.554 - 0.87$               | چگالی نسبی           |
| $18.7 - 45.1 \text{ MJ/m}^3$ | مقدار حرارتی گراس    |
| $45 - 100$                   | درصد مولی متان       |
| $0 - 50$                     | درصد مولی نیتروژن    |
| $0 - 30$                     | درصد مولی دی اکسید   |
| $0 - 10$                     | درصد مولی اتان       |
| $0 - 4$                      | درصد مولی پروپان     |
| $0 - 1$                      | درصد مولی بوتان      |
| $0 - 0.3$                    | درصد مولی پنتان      |
| $0 - 0.2$                    | درصد مولی هگزان      |
| $0 - 0.2$                    | درصد مولی هلیوم      |
| $0 - 10$                     | درصد مولی هیدروژن    |
| $0 - 0.3$                    | درصد مولی مونو اکسید |
| $0$                          | درصد مولی ارگون      |
| $0$                          | درصد مولی اکسیژن     |
| $0 - 0.05$                   | درصد مولی آب         |
| $0 - 0.02$                   | درصد مولی سولفید     |

این روش، خطای محاسبه ضریب تراکم‌پذیری و چگالی را برای ترکیبات گاز طبیعی که درصد مولی هگزان و هیدروکربنهای سنگین بیش از ۱٪ است، کاهش می‌دهد. همچنین ضریب دوم ویریال برای آب و ترکیبات آن با متان، اتان، نیتروژن و دی اکسید کربن برای کاهش خطای محاسبات گاز طبیعی همراه با بخار آب است.

### **[۳۰] - ۳-۳- عدم قطعیت‌ها**

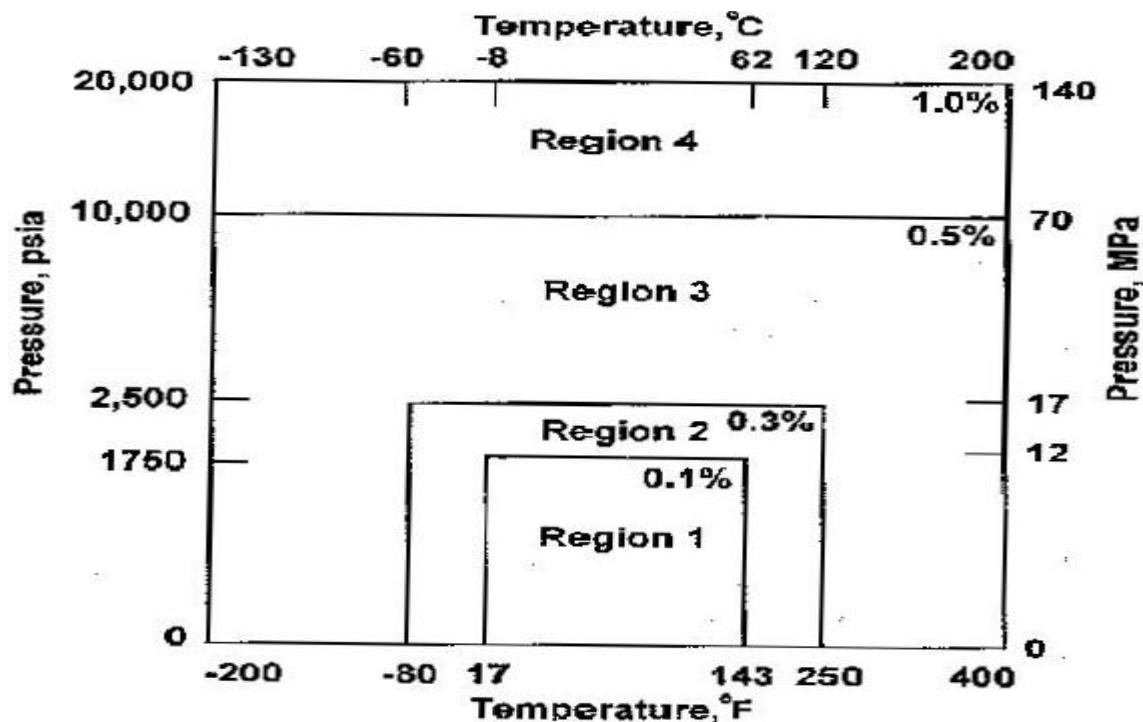
عدم قطعیت مربوط به محاسبات ضریب تراکم‌پذیری چه از روش G.C.M و چه D.C.M به ترکیبات گاز طبیعی و شرایط فشاری و دمایی کاری بستگی دارد. خطاهای محاسبه اندازه‌گیری از این دو روش با جداول اطلاعاتی موسسات GRI و GERG مقایسه شده و نتایج خوبی به دست آمده است.

#### **D.C.M - ۱-۳- عدم قطعیت روش**

عدم قطعیت مورد انتظار این روش در محدوده شکل (۱-۳) برای رنج نرمال مشخصات گاز طبیعی برای عناصر با درصد مولی‌های مطابق جدول (۱-۳) می‌باشد. برای مشخصات خارج از جدول این روش خطای متوسطی دارد و برای مقادیر خارج از ناحیه ۱ شکل (۱-۳) این خطا بزرگ می‌باشد. جداول اطلاعاتی موسسات GRI و GERG صحت این روش را برای ناحیه ۱ و بخشی از نواحی ۲، ۳ و ۴ تأیید کرده‌اند.

#### **G.C.M - ۲-۳- عدم قطعیت روش**

عدم قطعیت مورد انتظار این روش برای رنج نرمال مشخصات گاز طبیعی در داخل ناحیه ۱ از شکل (۱-۳) قرار می‌گیرد. خارج از این محدوده این معادلات کاربرد نداشته و نباید استفاده شوند.



شکل ۳-۱: محدوده خطای محاسبه ضریب تراکم‌پذیری از روش AGA ۸. مرجع [۳۰].

### ۳-۳-۳- توصیه‌ها

روش G.C.M به خاطر سادگی برای دماهای ۰ تا ۵۵ درجه سانتیگراد و فشارهای تا ۸.۳ مگاپاسکال برای مقادیر جدول (۱-۳) به کار می‌رond. برای تمام شرایط دیگر و ترکیبات دیگر گاز از روش D.C.M استفاده می‌شود.

با توجه به محدوده‌ی نسبتاً وسیع دما و فشار، که در روش Detail Characterization Method (D.C.M) تعریف شده است، محاسبات در این پایان نامه بر مبنای این روش تبیین خواهد شد.

### ۴-۳- روابط ریاضی مورد استفاده در حل مسئله

در این بخش ابتدا به روابط مورد نیاز برای تعیین ضریب تراکم‌پذیری و چگالی گاز طبیعی از روش D.C.M و سپس به نحوه محاسبه توان آیزنتروپیک و ویسکوزیته (لزجت) سیال پرداخته می‌شود.

### ۴-۱- معادلات و روابط مربوط به روش D.C.M

معادله مورد استفاده در این روش از دو بخش سری توانی برای شرایط چگالی کم وتابع نمایی برای شرایط چگالی زیاد تشکیل شده است [۳۰].

ضریب تراکم پذیری  $Z$  توسط معادله (۴-۳) تعریف می‌شود که در معادله مذکور  $P$  فشار گاز،  $T$  دما  $V$  حجم ،  $n$  تعداد مولهای گاز و  $R$  ثابت گاز می‌باشد [۳۵].

$$Pv_m = nZRT \quad (4-3)$$

که  $v_m = 1/\rho_m$  . همچنین دانسیتۀ مولار که در اینجا با  $\rho_m$  نمایش داده می‌شود، توسط رابطه (۴-۳) تعریف می‌شود:

$$\rho_m = n/V \quad (5-3)$$

با توجه به رابطه (۵-۳) دانسیتۀ جرمی و دانسیتۀ مولار توسط رابطه (۶-۳) به همدیگر مربوط می‌باشند:

$$\rho = M_r \times \rho_m \quad (6-3)$$

که در این رابطه،  $\rho$  دانسیتۀ جرمی،  $\rho_m$  دانسیتۀ مولار و  $M_r$  جرم مولی می‌باشد که از رابطه (۷-۳) محاسبه می‌شود:

$$M_r = \sum_{i=1}^N X_i M_{r_i} \quad (7-3)$$

در رابطه فوق  $X_i$ ، کسر مولی جزء  $i$  ام از مخلوط گاز،  $M_r$  جرم مولی جزء  $i$  ام و  $N$  تعداد اجزای

تشکیل دهنده گاز می باشند.

حال با استفاده از روابط (۸-۳) و (۹-۳) و جایگذاری آنها در معادله (۴-۳) روابط (۸-۳) و (۹-۳)

بدست خواهند آمد که در این دو رابطه، دانسیتۀ جرمی و مولی بر حسب ضریب تراکم‌پذیری  $Z$  بیان شده است:

$$\rho_m = P / ZRT \quad (8-3)$$

$$\rho = M_r P / ZRT \quad (9-3)$$

معادله مربوط به ضریب تراکم‌پذیری  $Z$  در روش D.C.M به شکل کانسرواتیو زیر می باشد: [۳۰]

$$Z = 1 + B\rho_m - \rho_r \sum_{n=1}^{n=14} C_n^* + \sum_{n=1}^{n=14} C_n^* (b_n - c_n k_n \rho_r^{k_n}) \rho_r^{b_n} e^{-c_n \rho_r^{k_n}} \quad (10-3)$$

که در این معادله،  $Z$  ضریب تراکم‌پذیری،  $B$  ضریب دوم ویریال،  $\rho_r$  دانسیتۀ کاهیده،  $u_n$ ،  $k_n$  و  $b_n$  ضرائب ثابت پارامتری و  $C_n^*$  نیز یک ضریب می باشند که مقادیر آنها تابع ترکیبات تشکیل دهنده گاز طبیعی و دمای گاز می باشند. [۳۰]. در ادامه به تعریف هر کدام از پارامترهای بکار رفته در معادله (۱۰-۳) پرداخته خواهد شد.

دانسیتۀ کاهیده  $\rho_r$ ، توسط رابطه (۱۱-۳) با دانسیتۀ مولار ارتباط پیدا می کند. که در این رابطه پارامتری تحت عنوان پارامتر سایز مخلوط است که توسط رابطه (۱۲-۳) تعریف می شود و از مشخصه های مربوط به ساختار شیمیایی اجزا می باشد [۳۲].

$$\rho_r = K^3 \rho_m \quad (11-3)$$

$$K^5 = \left[ \sum_{i=1}^N X_i K_i^{5/2} \right]^2 + 2 \sum_{i=1}^{N-1} \sum_{j=i+1}^N X_i X_j (K_{ij}^5 - 1) (K_i K_j)^{5/2} \quad (12-3)$$

لازم به توضیح است که در رابطه (۱۲-۳)  $K_i$  و  $K_j$  به ترتیب پارامترهای مربوط به سایز اجزاء i و j ام بوده و  $K_{ij}$  پارامتر سایز برهمکنش اجزای j و i می‌باشند که در مرجع [۳۰] مقادیر آنها بسته به ترکیبات و اجزای مختلف گازهای تشکیل دهنده مخلوط گاز طبیعی آورده شده است.

ضریب دوم ویریال که در معادله (۱۰-۳) با پارامتر B نمایش داده شده است، از رابطه (۱۳-۳) بدست می‌آید. که در این رابطه نیز N تعداد اجزای موجود در مخلوط گاز می‌باشد [۳۰].

$$B = \sum_{n=1}^{N=1} a_n T^{-u_n} \sum_{i=1}^N \sum_{j=1}^N y_i y_j B_{nij}^* E_{ij}^{u_n} (K_i K_j)^{\frac{r}{r}} \quad (13-3)$$

در معادله (۱۳-۳)، پارامتر  $B_{nij}^*$  از رابطه (۱۴-۳) بدست می‌آید که در آن  $a_n$ ,  $f_n$ ,  $q_n$ ,  $g_n$ ,  $u_n$ ,  $s_n$  و  $w_n$  پارامترهای ثابت معادله حالت یا ضرایب مشخصه دودویی مربوط به اجزای گازهای تشکیل‌دهنده مخلوط می‌باشند که بسته به حالت‌های مختلف، مقادیر آنها در جدول ۴ مرجع [۳۰] آورده شده است.

$$B_{nij}^* = (G_{ij} + 1 - g_n)^{g_n} (Q_i Q_j + 1 - q_n)^{q_n} \times (F_i^{1/2} F_j^{1/2} + 1 - f_n)^{f_n} (S_i S_j + 1 - s_n)^{s_n} (W_i W_j + 1 - w_n)^{w_n} \quad (14-3)$$

در رابطه (۱۴-۳)، پارامترهای مشخصه تناظر نام دارند که در حالت‌های مختلف برهمکنش ذرات نسبت به یکدیگر در مخلوط گاز، مقادیر آنها اعداد ثابت متفاوتی می‌باشد و در جدول (۵) مرجع [۳۰] آورده شده است. همچنین لازم به ذکر است که مقدار  $W_i$  برای تمام اجزای مخلوط بجز  $H_2O$  صفر بوده و  $F_i$  نیز بجز برای  $H_2$  در رابطه بالا مقدار صفر را دارا می‌باشد.

پارامترهای دودوئی  $G_{ij}$ ,  $E_{ij}$  که به ترتیب پارامترهای انرژی برهمکنشی ضریب دوم ویریال و پارامتر دودوئی موقعیت یا جهت ذرات نامیده می‌شوند نیز توسط روابط (۱۵-۳) و (۱۶-۳) تعریف می‌شوند:

$$E_{ij} = E_{ij}^* \cdot (E_i E_j)^{1/2} \quad (15-3)$$

$$G_{ij} = \frac{G_{ij}^* (G_i + G_j)}{2} \quad (16-3)$$

که در این دو رابطه نیز  $E_{ij}^*$  پارامتر برهمکنش دودوئی انرژی ضربب دوم و برشال، برای دو جزء  $i, j$  برای یک موقعیت یا جهت خاص این دو جزء در مخلوط گاز می‌باشد [۳۲]. که مقادیر این دو پارامتر برای حالت‌های مختلف ترکیبات مخلوط نسبت به همدیگر، در [۳۰] آورده شده‌اند. در نهایت ضربب  $C_n^*$  که تابعی از ترکیب اجزای تشکیل دهنده و دمای گاز می‌باشد، در رابطه (۱۷-۳) تعریف می‌شود [۳۰].

$$C_n^* = a_n(G + 1 - g_n)^{g_n}(Q^r + 1 - q_n)^{q_n} \times (F + 1 - f_n)^{f_n} \cdot U^{u_n} T^{-u_n} \quad (17-3)$$

اما پارامترهای  $U, G, Q, F$ ، که به ترتیب پارامترهای انرژی، موقعیت، کوادراتیو و دما بالای مخلوط نام دارند، توسط روابطی که در ادامه خواهند آمد، محاسبه می‌شوند:

$$U^5 = \left[ \sum_{i=1}^N X_i E_i^{5/2} \right]^2 + 2 \sum_{i=1}^{N-1} \sum_{j=i+1}^{N-1} X_i X_j (U_{ij}^5 - 1) (E_i E_j)^{5/2} \quad (18-3)$$

$$G = \sum_{i=1}^N X_i G_i + \sum_{i=1}^{N-1} \sum_{j=i+1}^N X_i X_j (G_{ij}^* - 1) (G_i + G_j) \quad (19-3)$$

$$Q = \sum_{i=1}^N X_i Q_i \quad (20-3)$$

$$F = \sum_{i=1}^N X_i^2 F_i \quad (21-3)$$

### ۲-۴-۳- تعیین ضربب تراکم‌پذیری و چگالی گاز طبیعی

در محاسبه ضربب تراکم‌پذیری گاز طبیعی توسط روش D.C.M، نخست بايستی ترکیبات گاز و درصد مولی هر کدام مشخص شوند. اما با توجه به مشخص بودن دمای مطلق و فشار مطلق گاز، مشکل اساسی محاسبه چگالی مولار یا  $p_m$  می‌باشد که بايستی با استفاده از تعریف معادله حالت یادشده بر حسب فشار محاسبه گردد.

همانطور که در معادله (۸-۳) نشان داده شد، چگالی مولار تابعی از فشار مطلق گاز می‌باشد. در نتیجه با جایگذاری معادله (۳-۱۰) در معادله (۸-۳) یک معادله برای فشار بر حسب معادله حالت و به شکل نمایی بدست خواهد آمد:

$$P = \rho_m RT \left[ 1 + B \rho_m - \rho_r \sum_{n=1,2}^{n=1,4} C_n^* T^{-u_n} \right] + \rho_m RT \left[ \sum_{n=1,2}^{n=1,4} C_n^* T^{-u_n} (b_n - c_n k_n \rho_r^{k_n}) \rho_r^{b_n} \exp(-c_n \rho_r^{k_n}) \right] \quad (22-3)$$

که در این معادله  $R$  ثابت گاز،  $\rho_m$  دانسیته مولار و  $\rho_r$  دانسیته کاهیده می‌باشد. بدین ترتیب وقتیکه فشار، دما و ترکیبات گاز مشخص باشند، تنها مقدار مجھول در معادله (۲۲-۳) دانسیته مولار  $\rho_m$  می‌باشد.

پس از بدست آمدن روابط مدنظر جهت حل مسئله و استحصال مقادیر پارامترهای مورد نیاز اشاره شده در فرمولها، یک الگوریتم نیوتون- رافسون برای حل تکراری مناسب جهت حل  $\rho_m$  انتخاب شده است [۳۴].

پس از مشخص شدن مقدار  $\rho_m$  در معادله (۲۲-۳) مقادیر چگالی  $\rho$  و ضرب تراکم پذیری  $Z$  به ترتیب از روی روابط (۶-۳) و (۸-۳) به دست می‌آیند.

### ۳-۴-۳- تعیین ظرفیت های حرارتی و توان آیزنتروپیک

طبق رابطه (۲۳-۳) تمام خواص فیزیکی جریان به جز فاکتور انبساط،  $\epsilon$  معلوم هستند.  $\epsilon$  از رابطه (۳-۳) به دست می‌آید:

$$\dot{m} = C \epsilon \pi \frac{d^4}{4} \times \frac{\sqrt{2\Delta p \cdot \rho}}{\sqrt{(1 - \beta^4)}} \quad (23-3)$$

$$\epsilon = 1 - (0.351 + 0.256\beta^4 + 0.93\beta^8) \times \left[ 1 - \left( \frac{P_1 - \Delta P}{P_1} \right)^{\frac{1}{k}} \right] \quad (24-3)$$

که برای محاسبه  $\epsilon$  به نیاز به مقدار توان آیزنتروپیک ،  $k$ ، گاز طبیعی داریم. هر چند  $k$  تأثیر کمی بر روی فاکتور انبساط که برای در نظر گرفتن اثر اصطکاک وارد معادله (۲۳-۳) می شود، دارد ولی برای دقت بیشتر در محاسبات نرخ جریان ، باید به صورت دقیق تعیین شود.

هنگامی که یک جریان گاز از میان سطح مقطع کوچکتر یک ابزار اندازه گیری اختلاف فشاری مانند اریفیس عبور می کند ، به یک فشار کمتر منبسط می شود. اگر این طول انبساط کوتاه و اختلاف فشار ایجاد شده در سیال به دلیل تغییر سطح مقطع، کوچک باشد می توان فرض انبساط آیزنتروپیک کرد. در این شرایط روابط میان فشار و حجم به صورت زیر است:

$$\frac{p_1}{p_2} = \left( \frac{V_2}{V_1} \right)^k = \left( \frac{\rho_1}{\rho_2} \right)^k \quad (25-3)$$

محاسبات مربوط به توان آیزنتروپیک بستگی به این دارد که گاز، ایدهآل فرض شود یا یک گاز واقعی. اگر گاز ایدهآل فرض شود، توان آیزنتروپیک  $\frac{C_p}{C_v} = k$  می باشد که  $C_p$  ظرفیت حرارتی ویژه در فشار ثابت و  $C_v$  ظرفیت حرارتی ویژه در حجم ثابت هستند. ولی در دما ها و فشار های بالا که در صنایع گاز زیاد با آن برخورد می کنیم، رفتار گاز به طور مشخص از رفتار گاز ایدهآل انحراف پیدا می کند [۳۲]. سولیوان پیشنهاد می کند که برای کاربردهای دقیق نظیر اندازه گیری جریان، به تأثیر تفاوت رفتار گاز واقعی از ایدهآل توجه شود [۳۱].

در این تحقیق از روابط ذکر شده در مرجع [۲۹] برای تخمین  $k$  استفاده می کنیم. با فرض اینکه انتروپی  $s$  ، یک بار تابعی از دما و حجم مخصوص باشد،  $s = s(T, v_m)$  ، و یک بار تابعی از دما و فشار باشد،  $s = s(P, T)$  ، اگر از تابع  $s$  دیفرانسیل کامل بگیریم داریم:

### فصل سوم : معرفی روش AGA و فرمول بندی روابط

$$ds = \left( \frac{\partial s}{\partial T} \right)_{v_m} dT + \left( \frac{\partial s}{\partial v_m} \right)_T dv_m \quad (26-3)$$

$$ds = \left( \frac{\partial s}{\partial T} \right)_p dT + \left( \frac{\partial s}{\partial p} \right)_T dp \quad (27-3)$$

که  $T$  دما ،  $p$  فشار ،  $s$  انتروپی و  $v_m$  حجم مخصوص می باشد.

اگر طبق تعریف و روابط [۳۳] داشته باشیم:

$$C_{m,v} = \left( \frac{\delta u}{\delta T} \right)_{v_m} \quad (28-3)$$

$$C_{m,p} = \left( \frac{\delta h}{\delta T} \right)_p \quad (29-3)$$

$$du = Tds + pdv_m \quad (30-3)$$

$$dh = Tds - v_m dp \quad (31-3)$$

با تقسیم طرفین معادله (۳۰-۳) بر  $dT$  و ثابت نگه داشتن  $v_m$  و با توجه به معادله (۲۸-۳)، داریم:

$$C_{m,v} = T \left( \frac{\partial s}{\partial T} \right)_{v_m} \quad (32-3)$$

و همچنین با تقسیم طرفین معادله (۳۱-۳) بر  $dT$  و ثابت نگه داشتن  $P$  و با توجه به معادله (۲۹-۳)

داریم:

$$C_{m,p} = T \left( \frac{\partial s}{\partial T} \right)_p \quad (33-3)$$

از طرفی طبق روابط ماسکول:

$$\left( \frac{\partial s}{\partial v_m} \right)_T = \left( \frac{\partial p}{\partial T} \right)_{v_m} \quad (34-3)$$

$$\left( \frac{\partial s}{\partial p} \right)_T = - \left( \frac{\partial v_m}{\partial T} \right)_p \quad (35-3)$$

### فصل سوم : معرفی روش ۸ AGA و فرمول بندی روابط

و با جایگذاری روابط (۳۲-۳) و (۳۴-۳) در (۲۶-۳) و جایگذاری روابط (۳۳-۳) و (۳۵-۳) در (۲۷-۳) به

ترتیب می‌رسیم به :

$$ds = \frac{C_{m,v}}{T} dT + \left( \frac{\partial p}{\partial T} \right)_{v_m} dv_m \quad (36-3)$$

$$ds = \frac{C_{m,p}}{T} dT - \left( \frac{\partial v_m}{\partial T} \right)_p dp \quad (37-3)$$

با کم کردن معادله (۳۶-۳) از معادله (۳۷-۳) و تقسیم نتیجه بر  $dv_m$  ، با ثابت نگه داشتن P داریم:

$$C_{m,p} - C_{m,v} = T \left( \frac{\partial v_m}{\partial T} \right)_p \left( \frac{\partial p}{\partial T} \right)_{v_m} \quad (38-3)$$

چون خواص ترمودینامیکی توابع نقطه‌ای می‌باشند یعنی کمیاتی که فقط بستگی به حالت دارند و مستقل از مسیرند، می‌توانیم دیفرانسیل دقیق بگیریم. به عنوان مثال فرض کنید:  $dz = M dx + N dy$  اگر X و Y و Z همگی توابع نقطه‌ای باشند رابطه مهم زیر برقرار خواهد بود :

$$\left( \frac{\partial M}{\partial y} \right)_x = \left( \frac{\partial N}{\partial x} \right)_y \quad (39-3)$$

همچنین در مورد توابع نقطه‌ای ترتیب دیفرانسیل گیری در مشتق دوم، اختلافی به وجود نمی‌آورد.

بنابراین با دیفرانسیل دقیق از رابطه (۳۶-۳) می‌رسیم به :

$$\left( \frac{\partial C_{m,v}}{\partial v_m} \right)_T = T \left( \frac{\partial p}{\partial T} \right)_{v_m} \quad (40-3)$$

رابطه بالا را به صورت انتگرالی می‌نویسیم :

$$C_{m,v} = C_{m,vI} + T \int_{v_{mI} \rightarrow \infty}^{v_m} \left( \frac{\partial p}{\partial T} \right)_{v_m} dv_m \quad (41-3)$$

### فصل سوم : معرفی روش AGA و فرمول بندی روابط

که  $v_m$  و  $C_{m,VI}$  به ترتیب ظرفیت حرارتی ایده آل مولی در حجم ثابت، حجم مولی متناظر با گاز ایده آل و حجم مولی گاز واقعی هستند. رفتار گازهای واقعی در فشارهای پایین یا حالت  $\rightarrow \infty$  به سمت رفتار گاز ایده آل می‌کند. با جایگزینی رابطه  $p = ZRT\rho_m$  در (۴۱-۳) داریم :

$$C_{m,v} = C_{m,PI} - R - RT \times \int_{\rho_{mI}}^{\rho_m} \frac{1}{\rho_m} \left( \gamma \left( \frac{\partial Z}{\partial T} \right)_{\rho_m} + T \left( \frac{\partial \gamma}{\partial T} \right)_{\rho_m} \right) d\rho_m \quad (42-3)$$

که  $C_{m,PI}$  ظرفیت حرارتی ایده آل مولی در فشار ثابت می‌باشد. با جایگذاری مشتقات اول و دوم رابطه (۴۰-۳) نسبت به دما با ثابت نگه داشتن  $\rho_m$  و انتگرال‌گیری از رابطه بالا به رابطه ای برای  $C_{m,v}$  دست می‌یابیم :

$$C_{m,v} = C_{m,PI} - R + RT\rho_r (\gamma C_r + T C_1 - C_\gamma) \quad (43-3)$$

$$C_r = \sum_{n=1}^{N=18} C_n^{*'} - \frac{B'}{k^\gamma} \quad (44-3)$$

$$C_1 = \sum_{n=1}^{N=18} C_n^{*''} - \frac{B''}{k^\gamma} \quad (45-3)$$

$$C_\gamma = \sum_{n=1}^{N=18} \left( -\gamma \frac{u_n}{T} C_n^* + T \left( \frac{u_n(u_n+1)}{T^\gamma} \right) C_n^* \right) \times \rho_r^{b_n-1} e^{(-c_n \rho_r^{k_n})} \quad (46-3)$$

که  $B'$  و  $B''$  و  $C_n^{*''}$  مشتقات اول و دوم رابطه (۱۳-۳) و (۱۷-۳) نسبت به دما هستند.

$$B' = - \sum_{n=1}^{N=18} a_n u_n T^{-u_n-1} \sum_{i=1}^N \sum_{j=1}^N y_i y_j B_{nij}^* E_{ij}^{u_n} (K_i K_j)^{\frac{\gamma}{\gamma-1}} \quad (47-3)$$

### فصل سوم : معرفی روش AGA ۸ و فرمول بندی روابط

$$B'' = \sum_{n=1}^{N=18} a_n u_n (u_n + 1) T^{-u_n - \gamma} \sum_{i=1}^N \sum_{j=1}^N y_i y_j B_{nij}^* E_{ij}^{u_n} (K_i K_j)^{\frac{\gamma}{\gamma}} \quad (48-3)$$

$$C_n^{*'} = -\frac{u_n}{T} C_n^* \quad (49-3)$$

$$C_n^{*''} = -\frac{u_n + 1}{T} C_n^{*'} \quad (50-3)$$

برای پیدا کردن  $C_{m,v}$  از رابطه (42-3) ابتدا باید  $C_{m,p}$  را به دست بیاوریم که از رابطه زیر تعیین می‌شود.

$$C_{m,PI} = \sum_{j=1}^N y_j C_{m,PI}^j \quad (51-3)$$

که  $y_j$  کسر مولی جزء  $j$  ام مخلوط است . طبق مرجع [۳] از روش زیر به دست می‌آید:

$$C_{m,PI}^j = a_j + b_j \left( \frac{C_j/T}{\sinh(C_j/T)} \right)^\gamma + d_j \left( \frac{e_j/T}{\cosh(e_j/T)} \right)^\gamma \quad (52-3)$$

و ضرایب معادله (52-3) از جدول (۲-۳) به دست می‌آیند .

جدول ۲-۳: ضرایب معادله ظرفیت حرارتی مولی ایدهآل در فشار ثابت برای مخلوطهای گازی. مرجع [۲۹]

| e      | d      | c      | b      | a     | اجزای گاز         |
|--------|--------|--------|--------|-------|-------------------|
| ۹۹۱.۹۶ | ۴۱۶۰۲  | ۲۰۸۶.۹ | ۷۹۹۳۳  | ۳۳۲۹۸ | متان<br>Methane   |
| ۷۵۲.۸۷ | ۷۳۲۲۲  | ۱۶۵۵.۵ | ۱۳۴۲۲۰ | ۴۰۳۲۶ | اتان<br>Ethane    |
| ۷۲۳.۶  | ۱۱۶۸۰۰ | ۱۶۲۶.۵ | ۱۹۲۴۵۰ | ۵۱۹۲۰ | پروپان<br>Propane |

### فصل سوم : معرفی روش AGA و فرمول بندی روابط

با معلوم شدن مجهولات معادله (۴۲-۳) ،  $C_{m,v}$  تعیین می‌شود و با رجوع به معادله (۳۸-۳) برای

$$\text{یافتن } C_{m,P} \text{ ابتدا باید ترم } \left( \frac{\partial v_m}{\partial T} \right)_p \text{ را محاسبه کرد.}$$

$$\left( \frac{\partial v_m}{\partial T} \right)_p = \frac{R}{P} \left[ Z + T \left( \frac{\partial Z}{\partial T} \right)_p \right] \quad (53-3)$$

$$\left( \frac{\partial P}{\partial T} \right)_{v_M} = R \rho_m [Z + T(C_r - \rho_r c.)] \quad (54-3)$$

که

$$\left( \frac{\partial Z}{\partial T} \right)_p = \frac{R(TZ)^r \times C_r - PZ[TK^r \times C_r + C_f]}{R(TZ)^r + PTC_f} \quad (55-3)$$

$$C_r = \sum_{n=1}^{n=\Delta} -\frac{u_n}{T} C_n^* (b_n - c_n k_n \rho_r^{k_n}) \rho_r^{b_n} e^{-c_n \rho_r^{k_n}} \quad (56-3)$$

$$C_f = C_d + \sum_{n=1}^{n=\Delta} C_n^* D_{1n} \quad (57-3)$$

$$C_d = B - K^r \sum_{n=1}^{n=\Delta} C_n^* \quad (58-3)$$

$$D_{1n} = K^r \left[ b_n^r - c_n k_n (b_n + k_n - c_n k_n \rho_r^{k_n}) \rho_r^{k_n} \right] \\ \times \rho_r^{b_n - 1} e^{-c_n \rho_r^{k_n}} \quad (59-3)$$

با جاگذاری روابط (۴۲-۳) ، (۵۳-۳) و (۵۴-۳) در (۳۸-۳) و (۵۶-۳) به دست می‌آید. مرجع [۳] تعریفی

به شکل زیر برای توان آیزنتروپیک ارائه کرده است:

$$\kappa = - \frac{C_{m,p}}{C_{m,v}} \left( \frac{\partial P}{\partial v_m} \right)_T \left( \frac{v_m}{P} \right) \quad (60-3)$$

که در رابطه بالا،  $\left( \frac{\partial P}{\partial v_m} \right)_T$  به صورت زیر بیان می‌شود:

$$\left( \frac{\partial P}{\partial v_m} \right)_T = \left( \frac{\partial P}{\partial \rho_m} \right)_T \left( \frac{\partial \rho_m}{\partial v_m} \right)_T = -RT \rho_m (Z + \rho_m C_f) \quad (61-3)$$

### ۴-۴-۳- تعیین ضریب ژول- تامسون

با استفاده از ضریب ژول تامسون می‌توانیم تعیین کنیم که یک گاز در اثر انبساط، افت دما یا افزایش دما دارد. ضریب ژول- تامسون عبارتست از تغییرات دما در اثر تغییر فشار در آنتالپی ثابت:

$$\mu_{jT} = \left( \frac{\partial T}{\partial P} \right)_h \quad (62-3)$$

مقدار تجربی این ضریب که تابعی از دما و فشار سیستم است از اندازه‌گیری تغییر دما و فشار گاز بین دو لحظه متفاوت محاسبه می‌شود. ضریب ژول تامسون خاصیتی شدتی است زیرا نسبت تغییرات دو خاصیت شدتی را بیان می‌کند.

گازهای کامل دارای ضریب ژول تامسون صفر می‌باشند زیرا طبق تعریف گاز کامل گازی است که نیروهای بین مولکولی آن صفر است لذا تراکم و انبساط گاز که باعث تغییر فاصله مولکول‌ها می‌شود انرژی درونی سیستم را تغییر نمی‌دهد. بنابراین تغییرات گرمایی حاصل نمی‌شود. ولی در گازهای حقیقی این ضریب عددی است مثبت یا منفی که مثبت یا منفی بودن آن بر حسب نوع گاز تابع دما و فشاری است که بر گاز اعمال می‌شود.

برای هر گاز یک نقطه معکوس وجود دارد که به دما و فشار وابسته است. زمانیکه ضریب ژول- تامسون مثبت است انبساط گاز موجب سرد شدن و تراکم گاز موجب گرم شدن آن می‌شود. زیرا مثبت بودن نشان از هم جهت بودن دما و فشار دارد. زمانیکه ضریب ژول تامسون منفی باشد و فشار سیال از

فشار نقطه معکوس بیشتر باشد، انبساط موجب گرم شدن گاز می‌شود تا زمانی که روی خط انتالپی ثابت به نقطه معکوس برسیم. پس از آن دمای گاز کاهش یافته تا به دمای اولیه قبل از انبساط می‌رسد و سپس دما رو به کاهش بیشتر می‌رود ولی تراکم گاز باعث کاهش دما می‌شود.

ضریب ژول- تامسون نقشی در فرایند محاسبه نرخ جرمی جریان ندارد، ولی برای دقت بهتر در تعیین دمای سیال در بالا دست اریفیس برای محاسبه چگالی، به کار می‌رود. در فصل چهارم به طور مختصر راجع به اثر این ضریب در اندازه‌گیری جریان بحث خواهیم کرد.  
از رابطه اساسی زیر شروع می‌کنیم:

$$dh = T ds + v dP \quad (63-3)$$

با تقسیم طرفین بر  $dP$  در  $T$  ثابت داریم :

$$\left(\frac{\partial h}{\partial P}\right)_T = T \left(\frac{\partial s}{\partial P}\right)_T + v \quad (64-3)$$

با استفاده از روابط ماسکول ،  $\left(\frac{\partial s}{\partial P}\right)_T = - \left(\frac{\partial v}{\partial T}\right)_P$  ،

$$\left(\frac{\partial h}{\partial P}\right)_T = -T \left(\frac{\partial v}{\partial T}\right)_P + v \quad (65-3)$$

$$dh = \left(\frac{\partial h}{\partial P}\right)_T dP + \left(\frac{\partial h}{\partial T}\right)_P dT \quad (66-3)$$

با جایگزینی (۶۴-۳) و (۶۶) در (۳-۶۶) و استفاده از تعریف ظرفیت حرارتی فشار ثابت داریم:

$$dh = \left[v - T \left(\frac{\partial v}{\partial T}\right)_P\right] dP + C_p dT \quad (67-3)$$

با تقسیم طرفین بر  $dP$  در  $h$  ثابت می‌رسیم به :

$$\left(\frac{\partial T}{\partial P}\right)_h = \frac{1}{C_p} \left[ -v + T \left(\frac{\partial v}{\partial T}\right)_p \right] \quad (68-3)$$

با جایگزین کردن  $v = ZRT/P$  در رابطه (۶۸-۳) در نهایت خواهیم داشت:

$$\mu_{jT} = \frac{\left[ T \left( \frac{\partial v}{\partial T} \right)_p - v \right]}{C_p} = \frac{RT^r}{PC_p} \left( \frac{\partial Z}{\partial T} \right)_p \quad (69-3)$$

با جاگذاری رابطه (۵۵-۳) در رابطه مذکور، می‌توان مقدار عددی ضریب ژول- تامسون را به دست

آورد.

#### ۵-۴-۳- تعیین ویسکوزیته

ویسکوزیته سیال به صورت مقاومت در برابر جریان یافتن که از طرف مولکولهای سیال اعمال می‌شود

تعریف می‌شود. مرجع [۳۵] رابطه ای دو مرحله‌ای معروف به رابطه کار- کوبایاشی – باروز را که در سال

۱۹۵۴ تدوین شده، ارائه کرده است که ابتدا ویسکوزیته گاز را در دما و فشار اتمسفر با توجه به عناصر

غیرآلی و وزن مخصوص گاز محاسبه می‌کند. ویسکوزیته فشار اتمسفریک  $\mu_1$  طبق رابطه زیر بیان می‌شود:

$$\mu_1 = \mu_{1, HC} + \mu_{1, N_r} + \mu_{1, CO_r} + \mu_{1, H_r S} \quad (70-3)$$

$$\begin{aligned} \mu_{1, HC} &= 8,188 \times 10^{-3} - 6,15 \times 10^{-3} \log(\gamma_g) \\ &+ (1,709 \times 10^{-5} - 2,062 \times 10^{-6} \gamma_g) T \end{aligned} \quad (71-3)$$

$$\mu_{1, N_r} = [9,59 \times 10^{-3} + 8,48 \times 10^{-3} \log(\gamma_g)] y_{N_r} \quad (72-3)$$

$$\mu_{1, CO_r} = [6,24 \times 10^{-3} + 9,08 \times 10^{-3} \log(\gamma_g)] y_{CO_r} \quad (73-3)$$

### فصل سوم : معرفی روش AGA و فرمول بندی روابط

$$\mu_{\text{H}_2\text{S}} = [3,73 \times 10^{-3} + 8,49 \times 10^{-3} \log(\gamma_g)] y_{\text{H}_2\text{S}} \quad (74-3)$$

و در رابطه زیر قرار می دهیم :

$$\begin{aligned} \mu_r = \ln \left( \frac{\mu_g}{\mu_i} T_{Pr} \right) &= a_0 + a_1 P_{Pr} + a_2 P_{Pr}^r + a_3 P_{Pr}^{rr} \\ &+ T_{Pr} (a_4 + a_5 P_{Pr} + a_6 P_{Pr}^r + a_7 P_{Pr}^{rr}) \\ &+ T_{Pr}^r (a_8 + a_9 P_{Pr} + a_{10} P_{Pr}^r + a_{11} P_{Pr}^{rr}) \\ &+ T_{Pr}^{rr} (a_{12} + a_{13} P_{Pr} + a_{14} P_{Pr}^r + a_{15} P_{Pr}^{rr}) \end{aligned} \quad (75-3)$$

که ثابت‌های  $a_{15}$  تا  $a_0$  در مرجع [۳۵] ذکر شده‌اند.

$$P_{Pr} = \frac{P}{P_{Pc}} \quad (76-3)$$

$$T_{Pr} = \frac{T}{T_{Pc}} \quad (77-3)$$

$$P_{Pc} = 678 - 5 \cdot (\gamma_g - 0,5) - 20,6,7 y_{N_2} + 44 \cdot y_{CO_2} + 6,6,7 y_{H_2S} \quad (78-3)$$

$$T_{Pc} = 326 + 315,7 (\gamma_g - 0,5) - 24 \cdot y_{N_2} - 83,3 y_{CO_2} + 133,3 y_{H_2S} \quad (79-3)$$

که فشار بر حسب psi و دما بر حسب درجه Rankin باید وارد شود. بعد از آنکه  $\mu_r$  از سمت راست رابطه (۶۸-۳) به دست آمد، ویسکوزیته گاز،  $\mu_g$ ، در فشار و دمای مورد نظر بر حسب سانتی‌پواسون (cp) به دست می‌آید:

$$\mu_g = \frac{\mu_r}{T_{Pr}} e^{\mu_r} \quad (80-3)$$

هنگامی که مقدار نرخ جرمی جریان معلوم باشد، برای یافتن Re به ویسکوزیته نیاز داریم :

### ~~ک~~ فصل سوم : معرفی روش AGA ۸ و فرمول بندی روابط

$$Re = \frac{\rho \dot{m}}{\pi d \mu} \quad (81-3)$$

از  $Re$  برای به دست آوردن اختلاف فشاری که در اثر عبور دبی معلوم از اریفیس مشخصی رخ می‌دهد و نیز برای طراحی قطر اریفیس هنگام داشتن دبی و اختلاف فشار معلوم، استفاده می‌کنیم.

## فصل چهارم

معرفی استاندارد ISO ۵۱۶۷

## ۱-۴ - مقدمه

موسسه بین المللی استاندارد سازی (ISO) یک مجموعه جهانی از اعضای سازمان استاندارد است که تهیه استانداردهای بین المللی در کمیته های تخصصی این موسسه صورت می پذیرد و استاندارد تهیه شده در هر کمیته، برای رأی گیری بین اعضا چرخانده می شود و برای تصویب باید حداقل ۷۵٪ اعضا کمیته در رأی گیری شرکت داشته باشند. ISO ۵۱۶۷ با عنوان " اندازه گیری جریان سیال بوسیله ابزارهایی که با سیال اختلاف فشار عمل می کنند در مجراهای با مقاطع دایروی " شامل ۴ قسمت شده که در بخش اول اصول عمومی، تعاریف، اصطلاحات و اطلاعاتی راجع به انتخاب روش اندازه گیری جریان و محاسبه خطابه ما می دهد. در سه بخش بعدی به ترتیب هندسه و روش استفاده (نصب و عملکرد) صفحات اریفیس، نازل و لوله و نتوری را تحت پوشش قرار می دهد. که ما فقط به ISO ۵۱۶۷-۱ [۳۶] و ISO ۵۱۶۷-۲ [۲۸] استاندارد مورد نظر برای طراحی و استفاده از صفحات اریفیس می پردازیم.

ISO ۵۱۶۷ فقط برای ابزارهای اختلاف فشاری و در جریانهای زیر صورت و هنگامی که سیال تک فاز باشد کاربرد دارد و برای جریانهای ضربه ای و متناوب کارایی ندارد. به وسیله ای که برای اندازه گیری جریان در داخل لوله کار گذاشته می شود ابزار اولیه (Primary Device) می گویند که این ابزار شامل اتصالات فشاری هم می شود. در این استاندارد از ابزار اولیه صحبت می شود.

## ۴-۲- اصطلاحات مورد نیاز [۳۶]

- اتصالات فشاری<sup>۱</sup> : شیارهای حلقوی یا مجراهای گردی که در دیواره لوله تعییه می‌شوند به طوری که کف مجا را با سطح داخل لوله همسطح باشد. معمولاً این اتصالات به صورت سوراخ هایی دایروی هستند اما در شرایط معین به صورت شیارهای حلقوی ممکن است باشند.
- صفحه اریفیس<sup>۲</sup> : صفحه نازکی که سوراخی دایروی در آن ماشینکاری شده است.
- نسبت قطر  $\beta$  : نسبت قطر سوراخ اریفیس به قطر اریفیس.
- توان/آیزنتروپیک  $K$  : نسبت تغییرات نسبی فشار به تغییرات نسبی چگالی تحت شرایط آدیباتیک برگشت‌پذیر را توان آیزنتروپیک گویند. و برای تعیین ضریب انبساط گازها ع به کار می‌رود و با طبیعت گاز و دما و فشار آن تغییر می‌کند. برای گازهایی که  $K$  آنها در محدوده های وسیع دما و فشار منتشر نشده است، از نسبت ظرفیت گرمایی مخصوص در فشار ثابت به ظرفیت گرمایی مخصوص در حجم ثابت استفاده می‌شود.
- ضریب تخلیه<sup>۳</sup>  $C_d$  : ضریبی است که برای جریان های غیر قابل تراکم تعریف می‌شود و مقدار دبی واقعی عبور کننده از سوراخ اریفیس را به مقدار جریانی که از راه روابط تئوری بدست می‌آید مرتبط می‌کند. برای یک جریان غیر قابل تراکم فرمول به شکل زیر است:

$$C_d = \frac{q_m \sqrt{1 - \beta^4}}{(\pi/4) d^2 \sqrt{2 \Delta p \cdot \rho}} \quad (1-4)$$

کالیبراسیون یک ابزار اولیه بوسیله سیال غیر قابل تراکم نشان می‌دهد که ضریب تخلیه برای یک ابزار اندازه‌گیری مشخص فقط به عدد رینولدز بستگی دارد.

<sup>۱</sup> Pressure Tapping

<sup>۲</sup> Orifice Plate

<sup>۳</sup> Discharge Coefficient

- فاکتور انبساط  $\varepsilon$  : فاکتوری که برای محاسبه تراکم پذیری سیالات مورد استفاده قرار می‌گیرد.

$$\varepsilon = \frac{q_m \sqrt{1 - \beta^4}}{(\pi/4) d^4 C_d \sqrt{2 \Delta p \cdot \rho}} \quad (2-4)$$

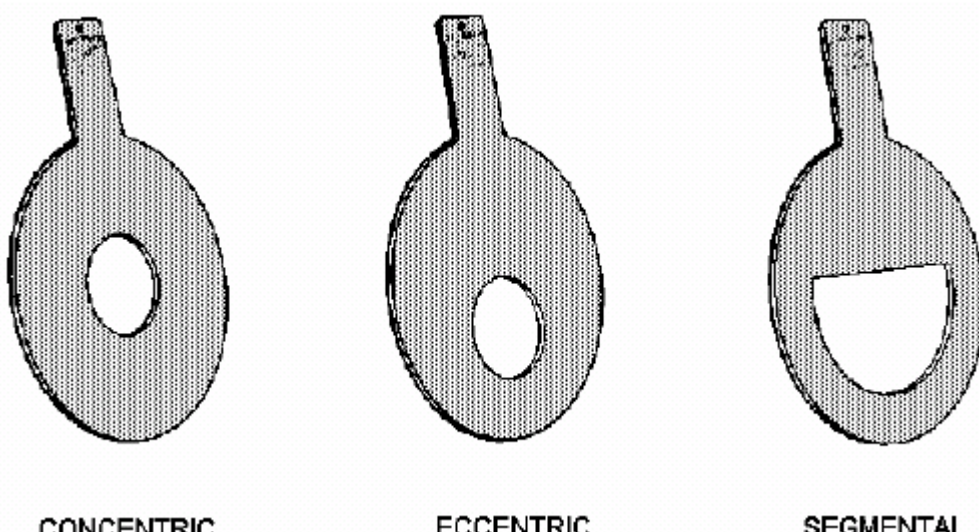
فاکتور انبساط در سیالات غیر قابل تراکم برابر ۱ و در سیالات تراکم پذیر (گازها) کمتر از ۱ است.

آزمایشات گواه این می‌باشد که فاکتور انبساط عملاً مستقل از عدد رینولدز است و فقط به نسبت فشار

و توان ایزونتروپیک بستگی دارد.

### ۳-۴- مشخصات صفحات اریفیس

انواع مختلف صفحه اریفیس در شکل (۱-۴) نمایش داده شده است.



شکل ۱-۴: انواع صفحات اریفیس

اریفیس های خارج از مرکز<sup>۴</sup> و قطعه ای<sup>۵</sup> برای غلبه بر مشکلاتی مربوط به سیالاتی که حاوی ذرات جامد هستند (سوسپانس) استفاده می‌شوند. ذرات جامد موجود در سیالات سوسپانس بتدریج در محل

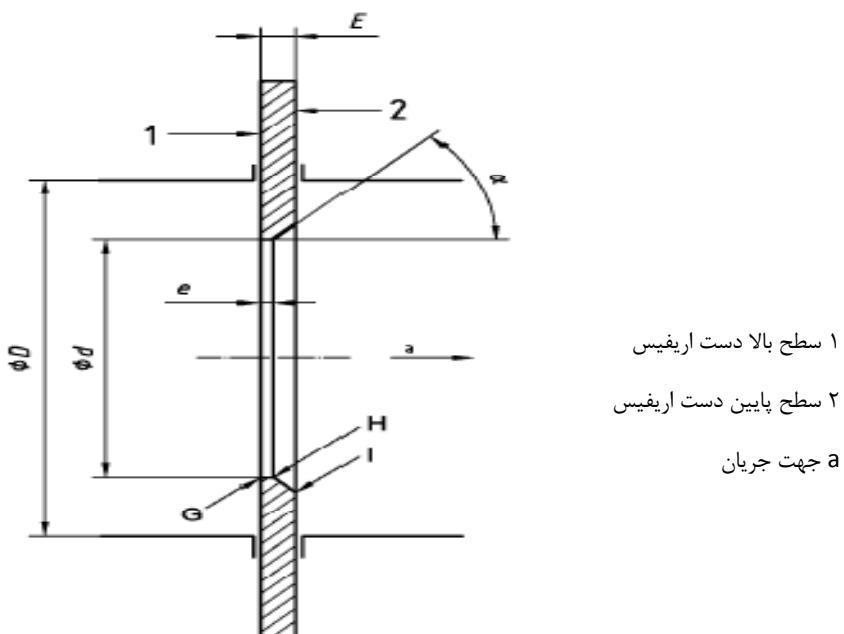
<sup>۴</sup> Eccentric

<sup>۵</sup> Segmental

نصب صفحه اریفیس و پایین لوله ته نشین شده و بتدریج باعث کاهش قطر موثر لوله می‌شوند. در نتیجه در محاسبه دبی مربوطه ایجاد خطای ایجاد استفاده از اریفیس خارج از مرکز یا قطعه‌ای به جریان اجازه می‌دهد که با سرعت خود، قسمت پایین لوله را جاروب کرده، مانع از رسوب کردن ذرات جامد در ته خط شود.

شکل یک صفحه اریفیس استاندارد از مقطع جانبی در شکل (۲-۴) نشان داده شده است. قسمتی از صفحه اریفیس که در داخل لوله قرار می‌گیرد باید دایروی و هم مرکز با لوله باشد دو سطح صفحه نیز هموار و موازی هستند [۲۸].

هنگام طراحی و نصب صفحات اریفیس باید مراقب اعوجاج<sup>۶</sup> و تغییر شکل‌های ناشی از اختلاف فشار دو طرف آن باشیم.



شکل ۲-۴ : نمایی از مقطع جانبی صفحه اریفیس

<sup>۶</sup> Distortion

- صفحه بالادست اریفیس<sup>۷</sup> :

صفحه اریفیس در طرف بالادست در هنگام نصب باید عاری از هرگونه خمش بوده و کاملاً صاف باشد و زبری سطح نیز باید در دایره ای به قطر  $D$  و هم مرکز با سوارخ اریفیس ،  $Ra < 10^{-4} d$  باشد.

- صفحه پایین دست اریفیس<sup>۸</sup> :

سطح پایین دست اریفیس باید کاملاً موازی با سطح بالادست بوده و ضروری نیست که پرداخت سطح آن مانند پرداخت سطح بالادست ، با کیفیت بالا انجام شود.

- ضخامت صفحه اریفیس ،  $E$  و ضخامت سوراخ ،  $e$  باید مطابق شرایط زیر باشند :

$$\begin{aligned} 0.005 D \leq e \leq 0.02 D \\ e \leq E \leq 0.05 D \end{aligned} \quad (3-4)$$

- برای جلوگیری از خم شدن و تغییر شکل صفحه اریفیس ناشی از فشار بیش از حد جریان، اگر ضخامت صفحه از  $e$ ، ضخامت سوراخ اریفیس بیشتر باشد، صفحه باید به طرف پایین دست پخی<sup>۹</sup> داشته باشد یعنی  $\alpha = 45^\circ \pm 15^\circ$ .

- سطح بالادستی  $G$  نباید دندانه دار بوده و شعاع لبه های آن نباید از  $d \geq 25 mm$  باشد ، بازرسی چشمی کافی است ولبه های  $G$  نباید نور را منعکس کنند.

- سطح بالادست باید کاملاً قائمه باشد . گلوگاه اریفیس محدوده بین لبه های  $G$  و  $H$  است. چون لبه های  $H$  و  $I$  در محدوده جریان بازگشتی و جدایش جریان<sup>۱۰</sup> قرار دارند کیفیت سطح بالایی نمی خواهند.

- $d$  قطر اریفیس باید بزرگتر مساوی  $12.5 mm$  و  $\beta$  نسبت قطرها نیز باید بین  $0.75$  تا  $0.1$  باشد.

<sup>۷</sup> Upstream Face

<sup>۸</sup> Downstream Face

<sup>۹</sup> Bevel

<sup>۱۰</sup> Separated flow

اگر از اریفیس برای اندازه‌گیری جریانهایی که ممکن است جهت آنها معکوس شود، استفاده می‌کنیم صفحه اریفیس باید شرایط زیر را داشته باشد:

- ۱) اریفیس نباید زاویه  $\alpha$  داشته باشد.
- ۲) هردو سطح آن باید کیفیتی مطابق با سطح بالادست داشته باشند.
- ۳) ضخامت صفحه و ضخامت سوراخ باید برابر باشند.  $e = E$

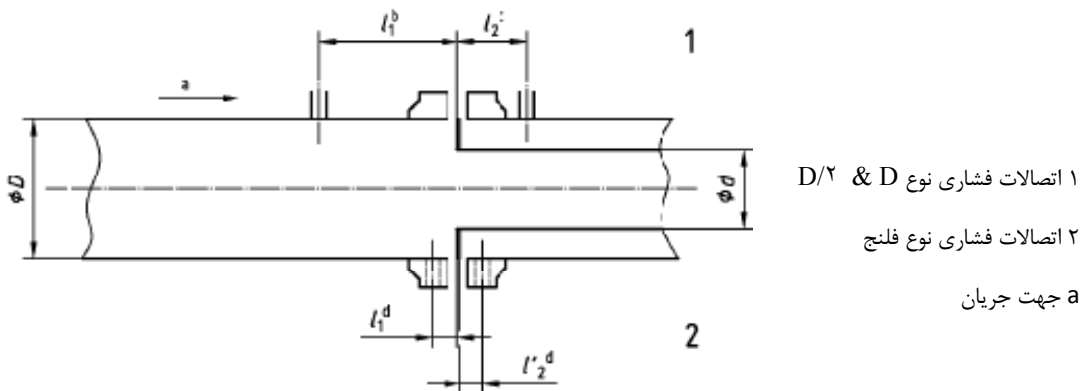
#### ۴-۴-۱- اتصالات فشاری [۲۸]

برای هر صفحه اریفیس برای اندازه‌گیری اختلاف فشار به یک اتصالات فشار در بالادست و یک اتصالات فشار در پایین‌دست صفحه اریفیس نیاز داریم.

ما از ۳ نوع اتصالات فشاری شامل اتصالات فلنجی، اتصالات گوشه‌ای و  $D/2 \& D$  استفاده کنیم. محل قرار گرفتن هر کدام از این اتصالات تفاوت آنها را مشخص می‌کند.

#### ۴-۴-۱-۱- اتصال فلنجی و نوع $D/2 \& D$ (Flange and $D/2 \& D$ Tapping)

همانطور که از شکل (۴-۴) دیده می‌شود  $\ell$  فاصله بین خط مرکزی اتصال فشاری و سطح مورد نظر اریفیس می‌باشد.



شکل ۳-۴ : مکان نصب اتصالات فشاری برای انواع فلنگی و  $D/2$  &  $D$

برای اتصالات  $D$ ,  $D/2$  &  $D$  بین  $\ell_1$  تا  $1.1D$  تغییر می‌کند.

$\ell_2$  نیز باید شرایط زیر را ارضا کند:

- وقتی  $0.48D \leq \ell_2 \leq 0.52D$  باشد:  $\beta \leq 0.6$

- وقتی  $0.49D \leq \ell_2 \leq 0.51D$  باشد:  $\beta > 0.6$

هردو فاصله  $\ell_1$  و  $\ell_2$  باید از سطح بالادست اندازه گرفته شوند.

برای اتصالات نوع فلنگی محدوده تغییرات فاصله  $\ell_1$  و  $\ell_2$  به شرح زیر است:

- وقتی  $\beta > 0.6$  باشد و  $D < 150$  mm باشد:  $\ell_1 = \ell_2 = 25.4 \pm 0.5$  mm

- وقتی  $\beta \leq 0.6$  یا  $\beta > 0.6$  و  $D < 1000$  باشد:  $\ell_1 = \ell_2 = 25.4 \pm 1$  mm

فاصله بین سطح پایین دست اریفیس تا محل اتصالات فشاری در پایین دست می‌باشد.

سوراخ این اتصالات باید دایروی بوده و همسطح با سطح داخلی لوله باشند و خط مرکزی آنها باید

یک زاویه ۹۰ درجه با خط مرکزی لوله داشته باشد.

قطر سوراخ اتصالات فشاری باید کوچکتر از  $0.13D$  mm باشد. ارتفاع این اتصالات

حداقل باید ۲.۵ برابر قطر داخل آنها باشد.

و اتصالات فشاری بالادست و پایین دست باید در یک صفحه فضایی قرار گرفته باشند.

#### ۴-۴-۲-۴- اتصالات گوشه ای (Corner Tapping)

همانطور که از شکل (۴-۴) مشخص است این اتصالات یا می توانند به صورت شیارهای حلقی باشند یا به صورت اتصالات گوشه ای مجزا.

این اتصالات از میان دیواره لوله عبور کرده و با سطح اریفیس تماس پیدا می کنند.  $a$  ، قطر اتصالات مجزا یا عرض شیارهای حلقی از روابط زیر محاسبه می شوند:

برای بخار و سیالات تمیز:

- وقتی  $\beta \geq 0.65$  باشد:  $0.005 D \leq a \leq 0.03 D$

- وقتی  $\beta < 0.65$  باشد:  $0.01 D \leq a \leq 0.02 D$

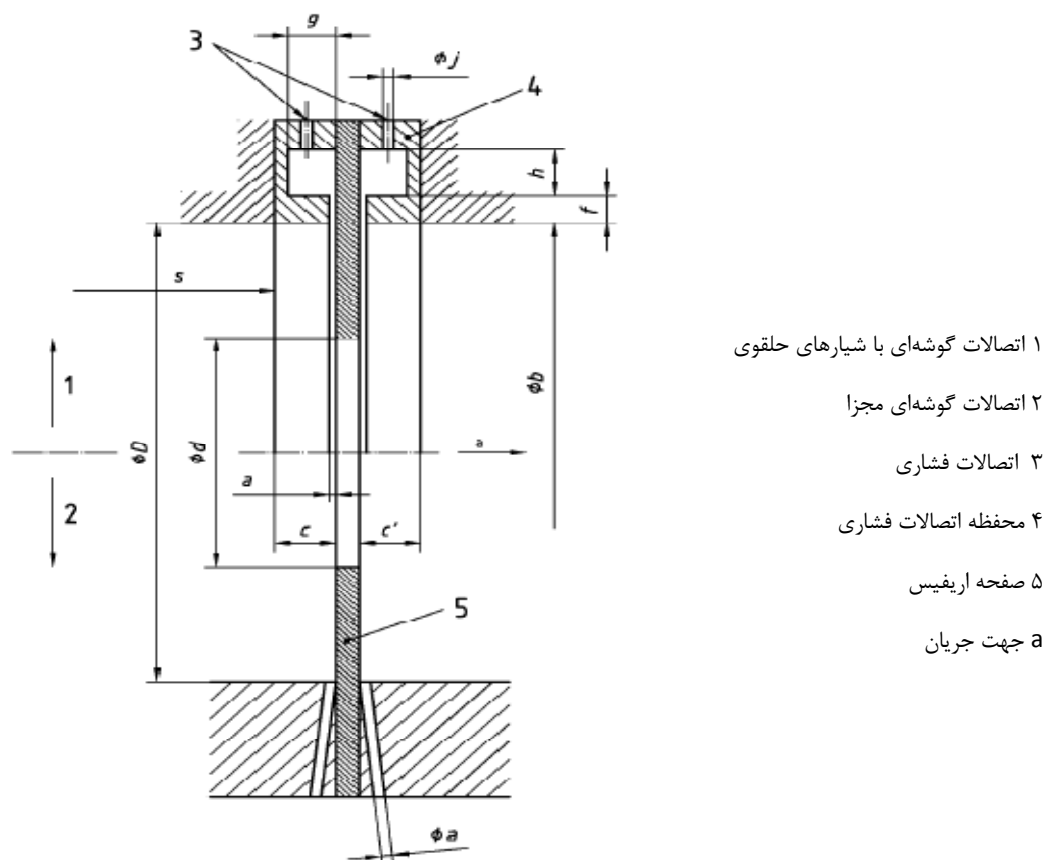
اگر  $D < 100 \text{ mm}$  باشد ، مقدار  $a$  تا  $2 \text{ mm}$  مجاز می باشد.

برای هر مقدار  $\beta$ :

- برای سیالات تمیز:  $1 \text{ mm} \leq a \leq 10 \text{ mm}$

- برای بخار و در حالت شیارهای حلقی :

$4 \text{ mm} < a \leq 10 \text{ mm}$  برای بخار و گازهای تقطیر شده و در حالت اتصالات مجزا :



شکل ۴-۴: مکان نصب اتصالات فشاری برای نوع اتصالات گوشه‌ای

## ۴-۵- اصول روشهای اندازه گیری

### ٤-٥-١- روش تعیین نسبت قطر $\beta$

در عمل هنگام تعیین نسبت قطر پرای وسیله اندازه‌گیری جریان که در یک خط لوله نصب شده است

و مقادیر  $C_d$  و  $\epsilon$  ناشناخته می‌باشند، گامهای زیر را انجام می‌دهیم:

الف) انتخاب نوع ایزا، اندازه گیری.

ب) داشتن مقدار دیه، حزیان و اختلاف فشار متناظر با آن.

سپس معادله را به شکل زیر بازنویسی می‌کنیم:

$$\frac{C \varepsilon \beta^{\gamma}}{\sqrt{1 - \beta^{\gamma}}} = \frac{q_m}{\pi d^{\gamma} \sqrt{2 \Delta p \cdot \rho}} \quad (4-4)$$

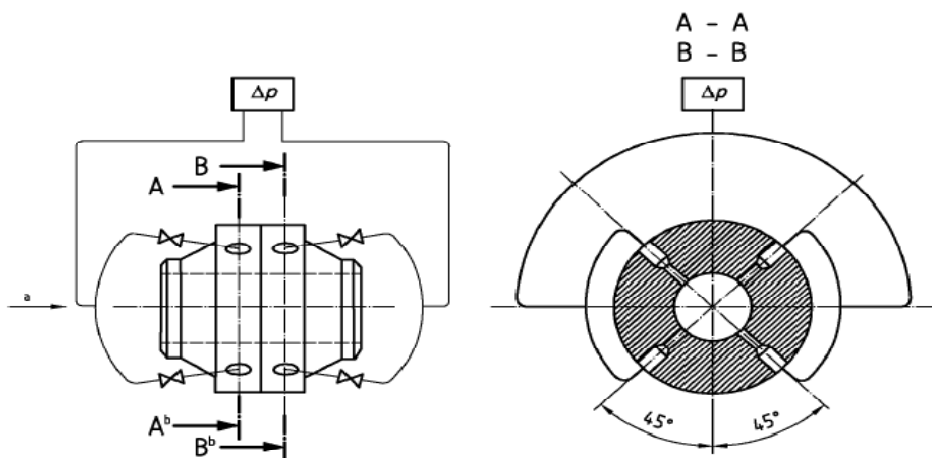
و با روش تکرار و خطای  $\epsilon$  را به دست می‌آوریم. سپس  $\beta$  معین می‌شود.

یک  $C_d$  و  $\epsilon$  اولیه حدس می‌زدیم و در معادله بالا قرار داده و  $\beta$  اولیه حاصل می‌شود که از روی آن  $d$  و

سپس از فرمول  $q_m = C_d \varepsilon^{\frac{\gamma}{\gamma-1}} d^{\gamma} \frac{\sqrt{2 \Delta p \cdot \rho}}{\sqrt{1 - \beta^{\gamma}}}$  را پیدا می‌کنیم. اگر با مقدار واقعی دبی برابر نبود، در  $C_d$  و  $\epsilon$  تغییر ایجاد می‌کنیم [۳۶].

#### ۴-۵-۲- اندازه گیری فشار استاتیک

فشار استاتیک سیال به وسیله یک اتصال فشاری مجزا یا چند اتصال فشاری یا بوسیله حلقه‌های فشار سنجی انجام می‌شود. اگر از ۴ اتصال فشاری برای پیداکردن فشار بالادرست یا پایین‌درست استفاده می‌کنیم بهترین حالت چینش اتصالات مانند شکل (۴-۵) می‌باشد [۳۶].



شکل ۴-۵ : نحوه چینش اتصالات فشاری برای اندازه گیری فشار استاتیک

**۴-۵-۳ - اندازه‌گیری دما**

دمای سیال ترجیحاً باید در پایین دست ابزار اولیه اندازه‌گیری شود و به مراقبتهای خاص نیاز دارد. دهانه ترمومتر باید حداقل فضا را اشتغال کند. فاصله کارگذاری ترمومتر تا ابزار اولیه حداقل باید ۵D باشد (اگر سیال گاز باشد باید D ۱۵ باشد). اگر ترمومتر در بالادست نصب شود، مطابق شکل (۶-۲) باعث اختشاش در جریان می‌شود.

مطابق محدودیت‌های اعمال شده در ISO ۵۱۶۷ فرض می‌کنیم که در محل اتصال اندازه‌گیری اختلاف فشار، دما در بالا دست و پایین دست یکسان است. به هر حال هنگامیکه سیال، گاز ایده‌آل نیست و دقت بالایی نیاز داریم، ضروری است که دمای سیال بالادست را از روی دمای سیال پایین دست محاسبه کنیم.

با فرض انبساط آنتالپی ثابت بین این دو نقطه این رابطه به شکل زیر است:

$$\Delta T = \mu_{jT} \cdot \Delta \omega \quad (5-4)$$

که  $\Delta \omega$  افت فشار دائم سیستم، بسته به نوع وسیله اندازه‌گیری به دست می‌آید. و ضریب ژول – تامسون  $\mu_{jT}$ ، نیز از رابطه (۳-۶۲) به دست می‌آید [۳۶].

**۴-۵-۴ - نیازمندیهای عمومی برای اندازه‌گیری****- وسیله اصلی (Primary Device)**

باید طبق بخش‌های مختلف ISO ۵۱۶۷ ساخته، نصب و استفاده شود. این نکته باید ذکر گردد که ظاهرآ سیالات خنثی نیز قشری را بر روی ابزار اصلی می‌پوشانند که می‌تواند به مرور در ضریب تخلیه خطایجاد کند.

ابزار اصلی باید از موادی ساخته شود که ضریب انبساط حرارتی آنها  $\alpha$  معلوم باشد.

#### - ماهیت سیال

سیال می‌تواند تراکم پذیر یا غیر تراکم پذیر باشد.

باید بتوان گفت سیال تک فاز و از نقطه نظر فیزیکی و حرارتی همگن باشد.

محلول های کلوئیدی با درجه پراکندگی زیاد مثل شیر می‌توانند تک فاز فرض شود.

#### - شرایط جریان

جریان نباید ضربه ای باشد. نرخ جریان ثابت بوده و در عمل نسبت به زمان به آهستگی تغییر کند.

عدم قطعیت های ذکر شده در ISO ۵۱۶۷ هنگامی معتبر هستند که تغییر فازی در سیال در طی عبور

از وسیله اصلی رخ ندهد. افزایش اندازه سوراخ یا گلویی باعث کاهش اختلاف فشار می‌شود که باعث

جلوگیری از تغییر فاز می‌شود[۳۶].

#### ۴-۵-۶- نیازمندیهای نصب:

- روش‌های اندازه‌گیری فقط برای سیالات جاری در لوله با مقاطع دایروی کاربرد دارد و سطح مقطع لوله

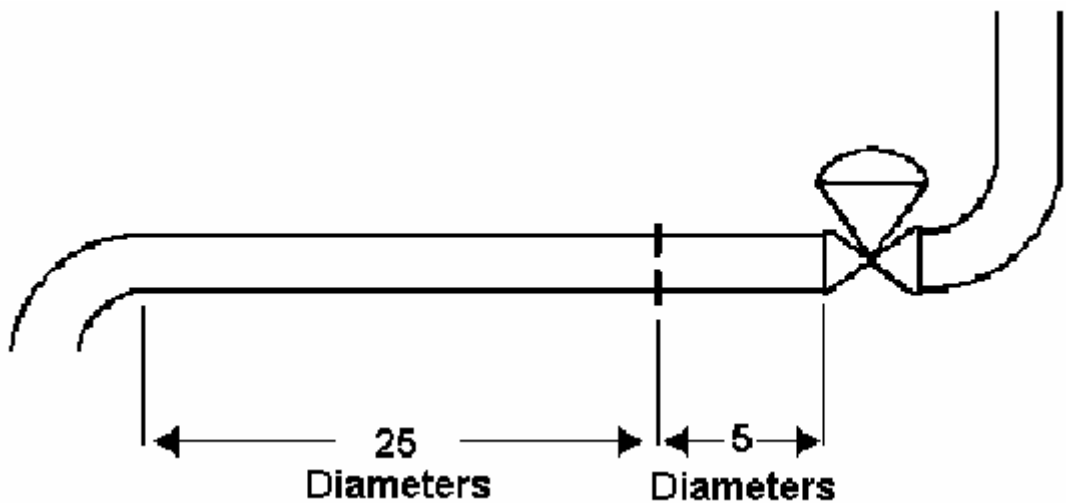
در محل اندازه‌گیری باید پر از سیال باشد.

- وسیله اندازه‌گیری باید بین دو قسمت استوانه ای مستقیم لوله با قطر یکسان جاگذاری شود ، با

حفظ حداقل فاصله برای انشعابات یا مسیرهای کور که بسته به نوع و خصوصیات وسیله اندازه‌گیری

و نسبت قطر  $\beta$  و ماهیت اتصالات لوله تغییر می‌کند. در حالت کلی کافیست که طول مستقیم لوله در

قسمت بالادرستی را ۲۵ برابر قطر لوله و در قسمت پایین دستی ، ۵ برابر قطر لوله در نظر بگیریم.



شکل ۴-۶: یک نمونه از اتصالات قبل و بعد از صفحه اریفیس

- زبری سطوح باید در حد قابل قبول بمانند.
- در حالیکه اختلاف دمای محیط و سیال قابل توجه باشد، عایق بندی وسیله اندازه‌گیری و لوله لازم است.
- اگر شرایط اختصاصی ذکر شده برای نصب وسایل اندازه‌گیری قابل حصول نباشند به شرط اینکه جریان دارای چرخش آزاد بوده و کاملاً توسعه یافته باشد، شرایط استاندارد ISO ۵۱۶۷ هنوز دارای کاربرد هستند. شرایط چرخش آزاد وقتی می‌تواند فرض شود، که زاویه چرخش تمام نقاط کمتر از ۲ درجه باشد.
- پروفیل سرعت قابل قبول برای جریان وقتی برقرار است که در هر نقطه از مقطع لوله نسبت سرعت محوری به سرعت ماکزیمم، با این نسبت در مقطعی دورتر مانند  $D_{100}$  مطابقت داشته باشد.

## ۴-۶- بهبود دهنده (Flow Conditioner) و یکنواخت کننده (Straightener)

برای کاهش طول مستقیم لوله در قسمت بالادستی (قبل از صفحه اریفیس) می‌توان از پره‌های یکنواخت کننده و بهبوددهنده جریان استفاده شود. وظیفه‌ی این پره‌ها مناسب کردن پروفیل جریان برای اندازه‌گیری بهینه می‌باشد.

اصلًاً تفاوت مشخصی بین بهبوددهنده‌ها و یکنواخت‌کننده‌ها وجود دارد. وسایلی که تنها پیچش جریان را کاهش می‌دهند بعنوان Straightener طبقه‌بندی می‌شوند. وسایلی که پیچش جریان را کاهش داده و پروفیل تغییر شکل داده را نیز از بین می‌برند، بعنوان Conditioner طبقه‌بندی می‌گردند. این پره‌ها اغتشاش به وجود آمده در سیال که ناشی از اتصالات می‌باشد را از بین می‌برند. برای استفاده از این مستقیم کننده‌های جریان، ابتدا باید شرایط تست زیر را گذرانده باشند.

یک شرایط دهنده جریان برای یک نوع ابزار اندازه‌گیری با نسبت قطر تا  $0.67$  می‌تواند به کار رود. در حالت استفاده از ابزار اولیه با نسبت قطر  $0.67$  ضریب تخلیه‌ای که در حالت استفاده از طول مستقیم لوله بدست می‌آید، حدود  $23\%$  بیشتر از حالتی است که از شرایط دهنده جریان و در شرایط زیر استفاده می‌کنیم:

- ۱) در شرایط جریان خوب
- ۲) در پایین دست یک شیر دروازه‌ای که  $50\%$  بسته است.
- ۳) در پایین دست یک وسیله که چرخش قوی ایجاد می‌کند. (چرخش  $20$  درجه‌ای در فاصله طولی  $(30 D)$ )

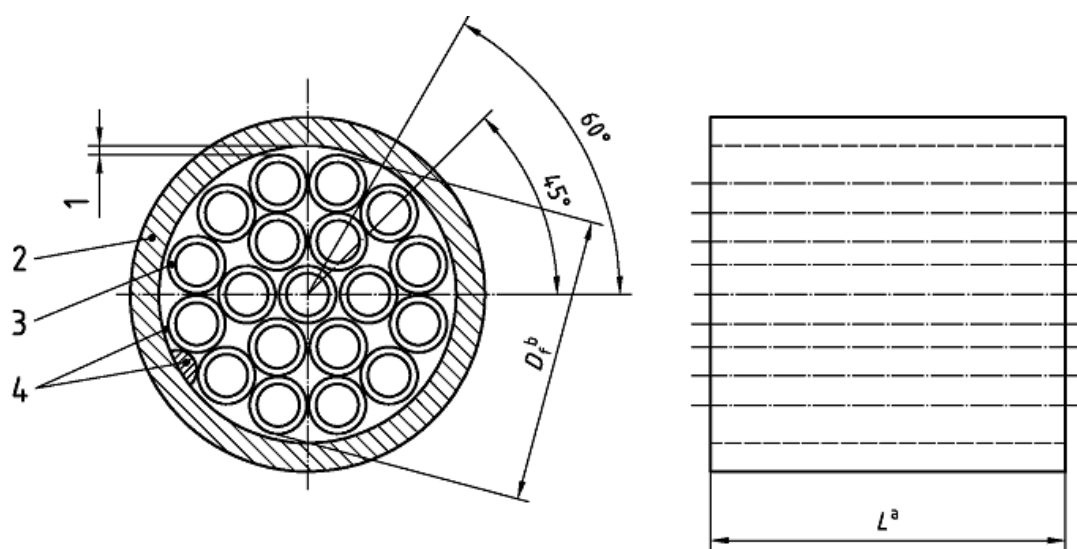
استفاده از یک شرایط دهنده جریان منوط به قبولی در تستهایی که در این استاندارد معرفی شده اند می‌باشد. همچنین وقتی که شرایط دهنده جریان در آزمایشی با یک عدد رینولدز قبول شد، باید با یک عدد رینولدز دیگر نیز تست شود به طوریکه دو عدد رینولدز انتخابی دارای شرایط زیر باشند:

$$10^4 \leq Re_{low} \leq 10^6 , \quad Re_{high} \geq 10^6 \quad (6-4)$$

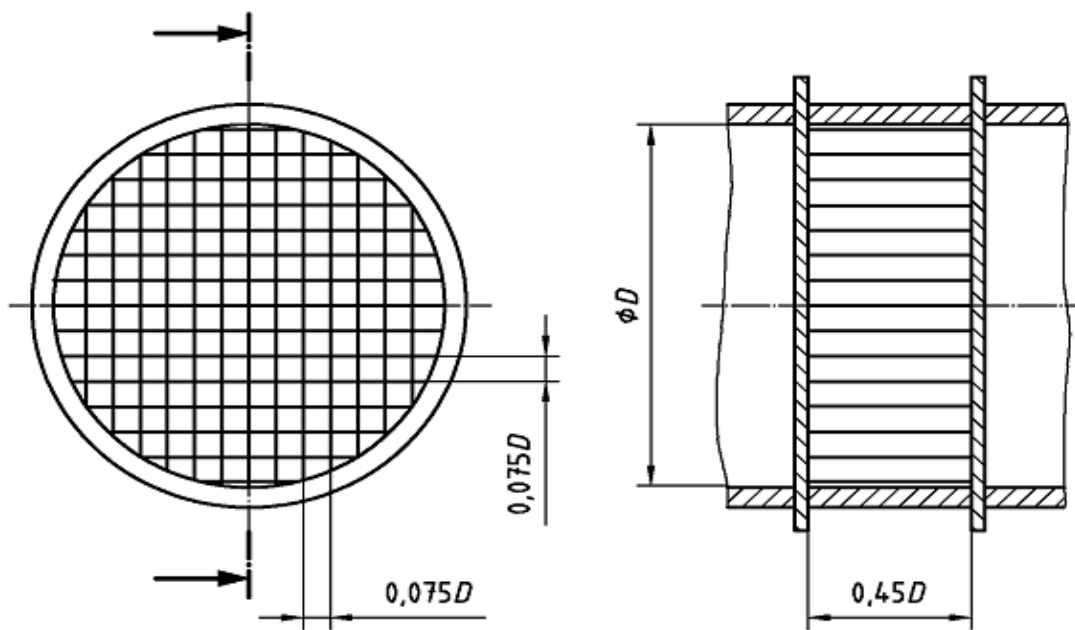
$$\lambda(Re_{low}) - \lambda(Re_{high}) \geq 0.036$$

و  $\lambda$  ضریب اصطکاک لوله است که از روی نمودار مودی بدست می‌آید.

چند نمونه از این پره‌ها در شکل‌های زیر آمده است.



شکل ۴-۷: مستقیم‌کننده جریان از نوع ۱۹ لوله‌ای



شکل ۴-۸: مستقیم کننده جریان از نوع AMCA

#### ۹-۴- محاسبه ضرایب و خطاهای مربوط به صفحه اریفیس [۲۸]

##### ۹-۴-۱- محدودیتهای استفاده از اتصالات فشاری

هنگام استفاده از اتصالات گوشهای و  $D/2 \& D$  باید:

$$d \geq 12.5 \text{ mm} \quad -$$

$$50 \text{ mm} \leq D \leq 1000 \text{ mm} \quad -$$

$$0.1 \leq \beta \leq 0.75 \quad -$$

$$\text{برای } \text{Re} \geq 5000 : 0.1 \leq \beta \leq 0.56 \quad -$$

$$\text{برای } \text{Re} \geq 16000 \beta^2 : \beta > 0.56 \quad -$$

هنگام استفاده از اتصالات فلنجی باید:

$$d \geq 12.5 \text{ mm} \quad -$$

$$50 \text{ mm} \leq D \leq 1000 \text{ mm} \quad -$$

$$0.1 \leq \beta \leq 0.75 \quad -$$

$$\text{Re} \geq 5000 , \text{ Re} \geq 170 \beta^2 D \quad -$$

#### ۴-۹-۲- ضرایب

• ضریب تخلیه :

ضریب تخلیه  $C_d$  از رابطه ریدر - هریس - گالاکر (۱۹۹۸) از رابطه زیر به دست می‌آید:

$$\begin{aligned} C &= 0.5961 + 0.0261\beta^2 - 0.216\beta^4 + 0.000521 \left( \frac{1.6\beta}{\text{Re}_D} \right)^{0.7} \\ &+ (0.0188 + 0.0063A)\beta^{0.7} \left( \frac{1.6\beta}{\text{Re}_D} \right)^{-0.3} + (0.043 + 0.08e^{-1.0L_1} - 0.123e^{-0.7L_1}) \\ &+ \times (1 - 0.11A) \frac{\beta^4}{1 - \beta^4} - 0.031(M'_r - 0.8M_r^{0.1})\beta^{0.3} \end{aligned} \quad (7-4)$$

وقتی  $D < 71.12 \text{ mm}$  آنگاه عبارت زیر باید به رابطه  $(7-4)$  اضافه شود :

$$+ 0.011(0.75 - \beta) \left( 2.8 - \frac{D}{25.4} \right)^{0.7} \quad (8-4)$$

که در آن:

$$L_1 = \frac{l_1}{D}$$

$$L'_r = \frac{l'_r}{D}$$

$$M'_r = \frac{2 L'_r}{1 - \beta}$$

$$A = \left( \frac{19000\beta}{\text{Re}_D} \right)^{0.4}$$

• ضریب انبساط گاز :

فرمول تجربی که برای تعیین ضریب انبساط به دست آمده ، چنین است :

$$\varepsilon = 1 - (0.351 + 0.256\beta^4 + 0.93\beta^8) \left[ 1 - \left( \frac{P_1 - \Delta P}{P_1} \right)^{\frac{1}{\kappa}} \right] \quad (9-4)$$

**۳-۹-۴- عدم قطعیت ها**

• ضریب تخلیه :

برای هر نوع از اتصالات فشاری ، اگر فرض کنیم مقادیر  $\beta$  و  $D$  و  $Re$  بدون خطا معلوم هستند، داریم:

$$(0.7-\beta)\% \quad : \quad 0.1 \leq \beta < 0.2 \quad -$$

$$0.5\% \quad : \quad 0.2 \leq \beta \leq 0.6 \quad -$$

$$(1.667\beta - 0.5)\% \quad : \quad 0.6 < \beta \leq 0.75 \quad -$$

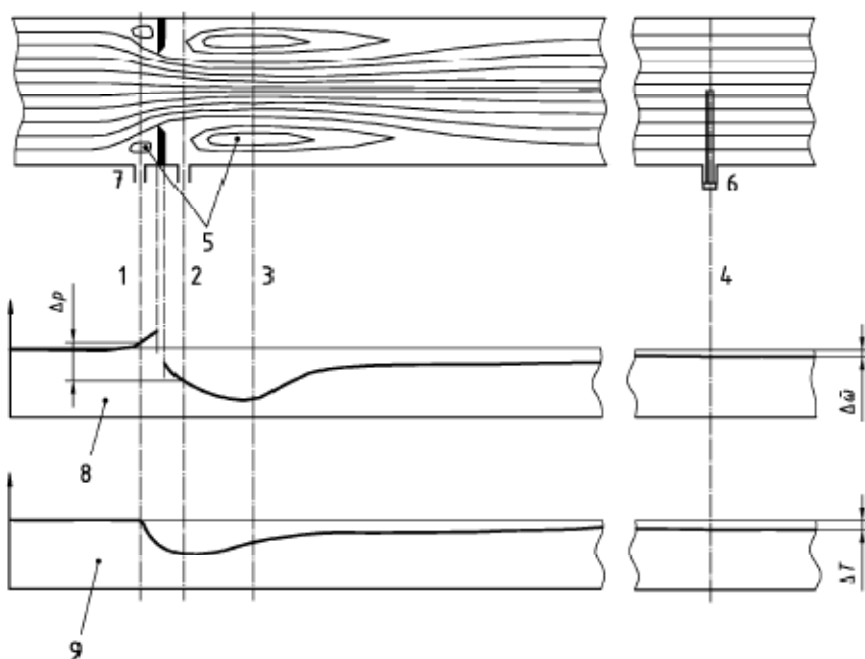
• ضریب انبساط گاز :

$$3.5 \frac{\Delta p}{\kappa p_1} \%$$

**۱۰-۴- افت فشار دائمی**

طبق استاندارد ISO ۵۱۶۷ افت فشار دائمی  $\Delta\omega$  با رابطه زیر به اختلاف فشار  $\Delta p$  وابسته است [۲۸]:

$$\Delta\omega = \frac{\sqrt{1 - \beta^4(1 - C^4)} - C\beta^4}{\sqrt{1 - \beta^4(1 - C^4)} + C\beta^4} \Delta p \quad (10-4)$$



#### راهنمای اعداد

۱- صفحه اتصالات فشاری بالا دست

۲- صفحه اتصالات فشاری پایین دست

۳- محل بالاترین سرعت جریان (Vena Contracta)

۴- ترمو متر

۵- جریان های ثانویه

۶- محل قرار گرفتن ترمو متر

۷- اتصالات فشاری

۸- توزیع فشار در روی دیواره

۹- توزیع دمای متوسط

شکل ۹-۴ : پروفیل تقریبی جریان و توزیع فشار و دما در یک سیستم اریفیس متر

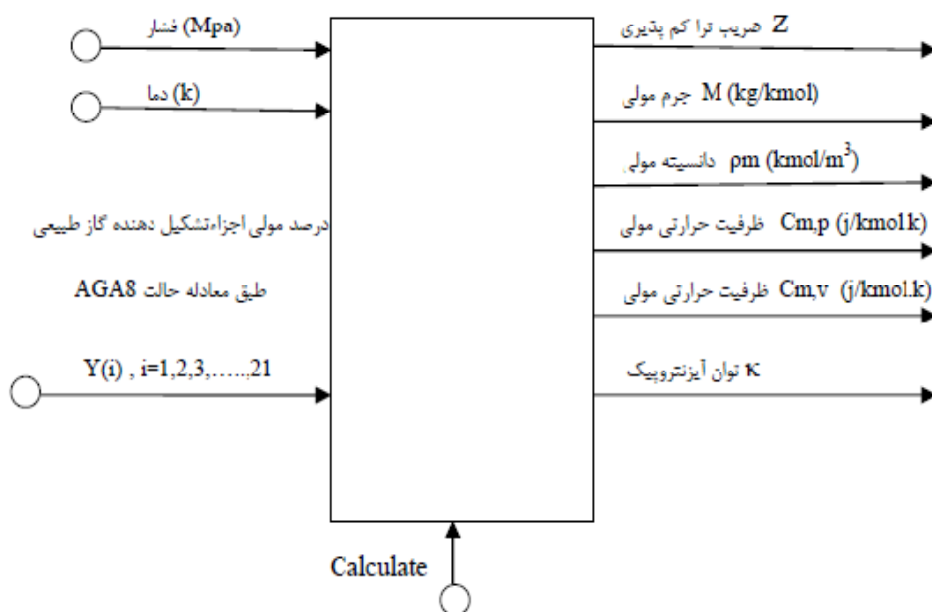
## فصل پنجم

توسعه نرم افزار طراحی اریفیس

## ۱-۵ - مقدمه

یکی از اهداف تحقیق حاضر، توسعه نرم افزار جهت کاربردهای:

- محاسبه نرخ جرمی جریان، اگر قطر اریفیس و اختلاف فشار معلوم باشند.
  - محاسبه اختلاف فشار به وجود آمده در سیال در عبور از صفحه اریفیس، اگر نرخ جرمی و قطر اریفیس معلوم باشند.
  - محاسبه قطر سوراخ اریفیس، اگر نرخ جرمی جریان و اختلاف فشار معلوم باشند.
- از آنجا که کاربردهای این نرم افزار، نیاز به ورودیهای اولیه مختلف و متنوعی برای هر کاربرد را ایجاب می کند، لذا زبان برنامه نویسی ویژوال بیسیک که برای دریافت اطلاعات با کاربر رابطه خوبی برقرار می کند و نیز قابلیت های محاسباتی آن بالا می باشد، برای طراحی نرم افزار انتخاب شده است.



شکل ۱-۵ : مکانیزم ورود اطلاعات برای محاسبه خواص ترمودینامیکی گاز طبیعی با روش ۸ AGA

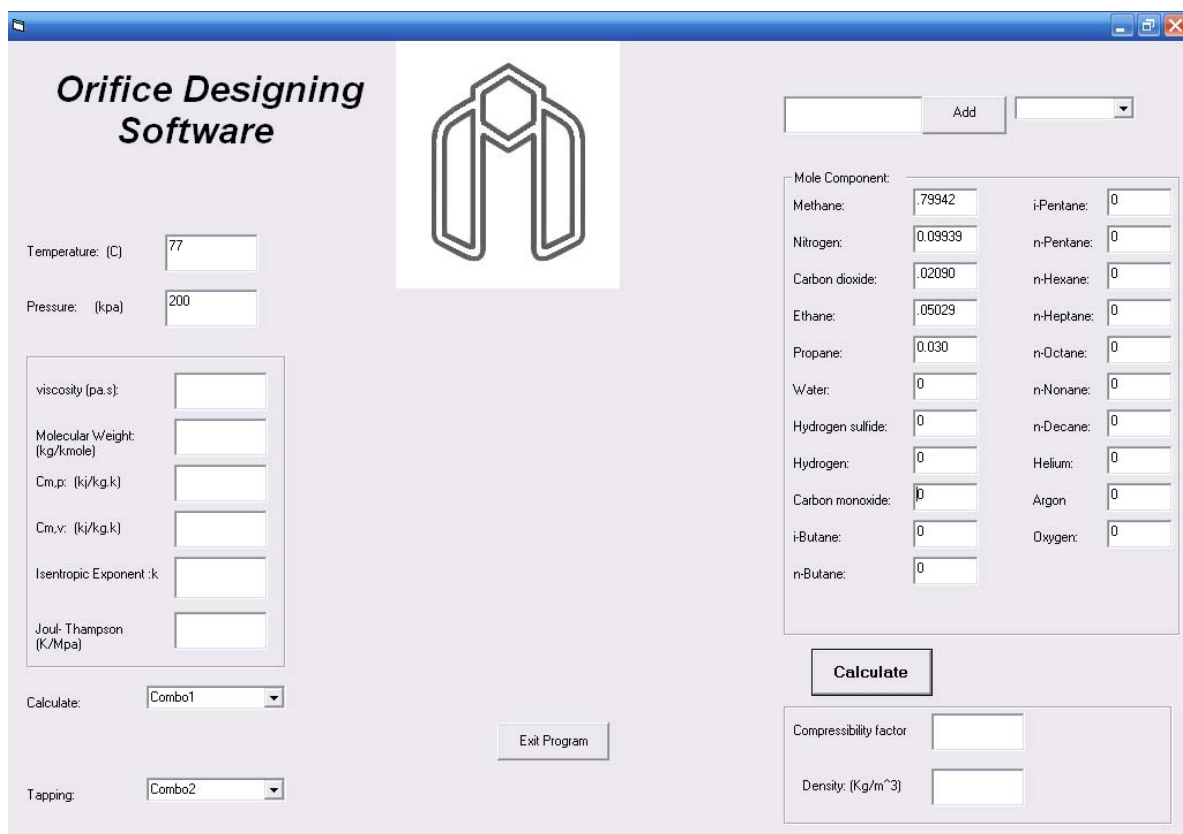
## ۲-۵- مراحل توسعه نرم افزار

پس از آنکه به خصوصیات و قابلیتهای زبان برنامه نویسی ویژوال بیسیک آشنا شدیم و اصول برنامه نویسی با کمک دستورهای مورد نیاز را فرا گرفتیم، در چند مرحله نرم افزار را توسعه می دهیم.

### ۱-۲-۵- مرحله اول: محاسبه چگالی و ضریب تراکم پذیری

در مرحله اول، هدف از برنامه نویسی محاسبه چگالی  $\rho$  و ضریب تراکم پذیری،  $Z$  می باشد. برای رسیدن

به این هدف به ترتیب زیر عمل می کنیم:



شکل ۲-۵ : نمایی از صفحه ورود اطلاعات نرم افزار طراحی اریفیس

• قدم اول

در قدم اول جداول ثوابت موجود در استاندارد AGA [۳۰] را به صورت اطلاعات پایه در متن برنامه وارد می کنیم. به این منظور از جداول ۴ و ۵ و ۶ استاندارد AGA سود برده ایم. توضیحات مربوط به جداول فوق به تناسب اولویت استفاده، در فصل سوم (معرفی روش ۸ AGA) آورده شده است.

• قدم دوم

در این مرحله پس از اینکه مقادیر دما و فشار کاری گاز طبیعی توسط کاربر وارد نرم افزار شد، از روابط مرجع [۳۰] استفاده کرده و به ترتیب ابتدا  $K$  پارامتر سایز مخلوط،  $B$  ضریب دوم ویریال و  $G_{ij}$  و  $E_{ij}$  پارامترهای دودویی انرژی برهمنشی و موقعیت ضریب دوم ویریال و  $C^*$  ضریب وابسته به ترکیبات گاز را محاسبه می کنیم.

در محاسبات این برنامه، تعداد عناصر تشکیل دهنده مخلوط گاز طبیعی را ۲۱ عنصر در نظر می گیریم. برای تعیین پارامتر سایز مخلوط از جداول ۵ و ۶ و برای تعیین ضریب دوم ویریال از جداول ۴ و ۵ مرجع [۳۰] سود برده ایم.

• قدم سوم

پس از مشخص شدن تمام ضرایب رابطه (۲۲-۳)، از یک الگوریتم تکرار نیوتون رافسون برای به دست آوردن مقدار  $p_m$  انتخاب کرده ایم. و سپس نرم افزار مقادیر درصد مولی ۲۱ عنصر تشکیل دهنده گاز طبیعی را از کاربر دریافت نموده و با قرار دادن آنها در روابط ذکر شده در فصل سوم، مقادیر چگالی و ضریب تراکم پذیری معلوم می شوند.

| Mole Component:                          |           |            |   |
|--|-----------|------------|---|
| Methane:                                 | .85       | i-Pentane: | 0 |
| Nitrogen:                                | .05       | n-Pentane: | 0 |
| Carbon dioxide:                          | .02       | n-Hexane:  | 0 |
| Ethane:                                  | .03       | n-Heptane: | 0 |
| Propane:                                 | 0.05      | n-Octane:  | 0 |
| Water:                                   | 0         | n-Nonane:  | 0 |
| Hydrogen sulfide:                        | 0         | n-Decane:  | 0 |
| Hydrogen:                                | 0         | Helium:    | 0 |
| Carbon monoxide:                         | 0         | Argon      | 0 |
| i-Butane:                                | 0         | Oxygen:    | 0 |
| n-Butane:                                | 0         |            |   |
| Compressibility factor:                  | 0.9976434 |            |   |
| Density: (kg/m^3)                        | 1.31065   |            |   |
| <input type="button" value="calculate"/> |           |            |   |

شکل ۳-۵ : صفحه ورود اطلاعات درصد مولی اجزاء برای محاسبه چگالی و ضریب تراکم‌پذیری

## ۲-۲-۵- مرحله دوم: تعیین ظرفیت های حرارتی و توان آیزنتروپیک و ضریب ژول تامسون

### و ویسکوزیته

در مرحله دوم برنامه نویسی هدف، به دست آوردن ظرفیت های ویژه حرارتی در حجم ثابت و فشار ثابت با کمک روش AGA8 و محاسبه توان آیزنتروپیک و همچنین تعیین ضریب ژول - تامسون با استفاده از روابط مرجع [۳۰] و محاسبه ویسکوزیته از روابط مرجع [۳۵] می‌باشد.

• قدم اول

ابتدا به کمک رابطه (۴۳-۳) و با استفاده از ضرایب به دست آمده در مرحله اول ظرفیت ویژه حرارتی حجم ثابت و با کمک رابطه (۳۸-۳) ظرفیت ویژه حرارتی فشار ثابت به دست می آید.

• قدم دوم

سپس با استفاده از رابطه (۶۰-۳) با داشتن مقادیر ظرفیت های حرارتی حجم ثابت و فشار ثابت نرم افزار نوشته شده می تواند مقدار توان آیزنتروپیک را تعیین کند.

• قدم سوم

با کمک رابطه (۶۲-۳) همچنین می توان ضریب ژول - تامسون را محاسبه کرد.

• قدم چهارم

در اینجا هدف برنامه به دست آوردن مقدار ویسکوزیته گاز طبیعی برای تعیین عدد رینولدز به کمک روابط مرجع [۳۵] می باشد.

در مراحل بعدی لزوم تعیین عدد رینولدز ذکر شده است.

|                                 |                   |
|---------------------------------|-------------------|
| viscosity (pa.s):               | <b>0.00001192</b> |
| Molecular Weight:<br>(kg/kmole) | <b>19.36</b>      |
| C <sub>m,p</sub> : (kj/kg.k)    | <b>1.858</b>      |
| C <sub>m,v</sub> : (kj/kg.k)    | <b>1.423</b>      |
| Isentropic Exponent :k          | <b>1.3030</b>     |
| Joul- Thompson<br>(K/Mpa)       | <b>3.688</b>      |

شکل ۴-۵ : محاسبه ظرفیتهای حرارتی ، توان آیزنتروپیک و ویسکوزیته

### ۳-۲-۵- مرحله سوم: محاسبه نرخ جرمی جریان

در این مرحله ابتدا کاربر باید از جعبه لیست Calculate گزینه Flow Rate را از جعبه لیست Tapping و از جعبه ای دو طرف اریفیس را انتخاب کند . سپس صفحه ای مطابق شکل (۵) گشوده می شود که اطلاعات قطر لوله، قطر اریفیس و اختلاف فشار ایجاد شده بین دو طرف اریفیس را از کاربر گرفته و با روابط موجود در متن برنامه که در فصول قبلی نیز ذکر شده است، به محاسبه نرخ جرمی جریان می پردازد. برای تعیین نرخ جرمی جریان و فاکتور انبساط به ترتیب از مراحل اول و دوم، چگالی و توان آیزنتروپیک محاسبه شده اند.

| Determine Flow Rate:          |         |
|-------------------------------|---------|
| Pipe Diameter (mm):           | 50      |
| Orifice Diameter (mm):        | 25      |
| Pressure Differential (pa):   | 500     |
| Reynolds No.                  | 24826   |
| Discharge Coeff.              | 0.6118  |
| Expansion Factor:             | 0.9965  |
| Volume Flow Rate ( $m^3/s$ ): | 0.00853 |
| Mass Flow Rate (kg/s):        | 0.01118 |

شکل ۵-۵ : محاسبه نرخ جرمی جریان

#### ۴-۲-۵- مرحله چهارم : محاسبه قطر سوراخ اریفیس

هدف از این مرحله پیدا کردن قطر سوراخ صفحه اریفیس می‌باشد. به این منظور کاربر باید از جعبه لیست Calculate گزینه Orifice Diameter و از جعبه لیست Tapping، نوع اتصالات فشاری (شامل فلنگ گوشه ای و D&D/2) سیستم انتخاب کند که صفحه ای مطابق شکل (۶-۵) برای دریافت اطلاعات نرخ جرمی جریان، قطر لوله و اختلاف فشار ایجاد شده بین دو طرف اریفیس باز می‌شود و نرم افزار با روابط مناسب به محاسبه قطر سوراخ اریفیس می‌پردازد. در این مرحله برای تعیین عدد رینولدز از رابطه

$$Re = \frac{4 \dot{m}}{\pi d \mu}$$

Determine Orifice Diameter :

|                             |                 |
|-----------------------------|-----------------|
| Pipe Diameter (mm):         | 100             |
| Pressure Differential (pa): | 500             |
| Mass Flow Rate (kg/s):      | 0.05            |
| Discharge Coeff.            | <b>0.606722</b> |
| Reynolds No:                | <b>55483</b>    |
| Expansion Factor:           | <b>0.9965</b>   |
| Beta Ratio:                 | <b>0.528</b>    |
| Orifice Diameter (mm):      | <b>52.85</b>    |

شکل ۶-۵ : محاسبه قطر سوراخ صفحه اریفیس

## ۵-۲-۵- مرحله پنجم: محاسبه اختلاف فشار ایجاد شده بین دو طرف صفحه اریفیس

در این مرحله ما سعی در اندازه گیری اختلاف فشار ایجاد شده بین دو طرف صفحه اریفیس در حالتی که نرخ جرمی جریان و قطر لوله و قطر سوراخ اریفیس معلوم باشند، داریم. ابتدا توسط کاربر از جعبه لیست گزینه Pressure Differential Calculate و از جعبه لیست Tapping نوع اتصالات فشاری به کار رفته در انتخاب می شود. مطابق شکل (۷-۵) نرم افزار می تواند با دریافت اطلاعات خواسته شده از کاربر به عنوان پارامترهای معلوم، اختلاف فشار ایجاد شده بین دو طرف اریفیس در شرایط مشخص را محاسبه کند. همانند مرحله قبل در این مرحله هم باید مقدار ویسکوزیته و توان آیزنتروپیک معلوم باشد.

| Pressure Differential          |         |
|--------------------------------|---------|
| Pip Diameter: (mm)             | 100     |
| Orifice Diameter: (mm)         | 50      |
| Mass Flow Rate: (kg/s)         | 0.05    |
| Reynolds no:                   | 55482.8 |
| Expansion Factor:              | 0.9958  |
| Discharge Coeff.:              | 0.6081  |
| Pressure Differential:<br>(pa) | 632.508 |

شکل ۷-۵ : محاسبه اختلاف فشار ایجاد شده بین دو طرف اریفیس

## فصل ششم

طراحی و ساخت

یک نمونه عملی اریفیس

و کار آزمایشگاهی

## ۱-۶- مقدمه

همانطور که در فصل قبل اشاره شد کل پارامترهایی که نرمافزار طراحی اریفیس ممکن است در مراحل مختلف با توجه به تنوع هدف از کاربر دریافت کند، عبارتند از:

- دمای مطلق

- فشار مطلق

- اختلاف فشار

- ترکیب اجزاء تشکیل دهنده مخلوط گاز طبیعی

- قطر لوله

- قطر سوراخ اریفیس

- نرخ جرمی جریان

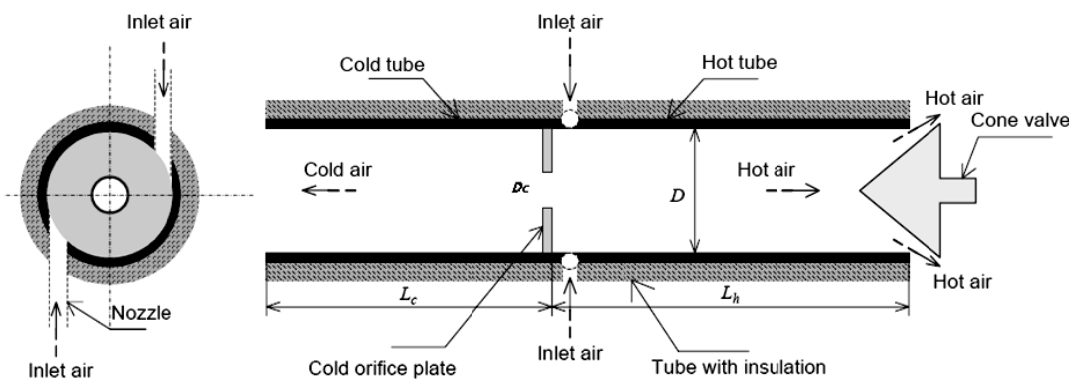
که در حالت کلی هر کدام و یا همه آنها می‌توانند به صورت فرضی به عنوان ورودی توسط کاربر به نرمافزار وارد شوند. لذا برای اینکه بتوانیم محدوده‌ی واقعی تغییرات هر کدام از پارامترهای بالا را برای گاز طبیعی بداییم و در نتیجه یک استفاده بهینه و صنعتی از نرمافزار طراحی اریفیس در صنعت گاز کشور کرده باشیم، به سفارش شرکت گاز استان سمنان اقدام به ساخت یک نمونه عملی اریفیس متر کرده و آن را با گاز طبیعی شهر شاهroud که از پالایشگاه خانگیران سرخس تأمین می‌شود، مورد آزمایش قرار دادیم.

## ۲-۶- طراحی و ساخت نمونه اریفیس

برای نیل به این هدف دو صفحه مشابه اریفیس با قطر  $50\text{ mm}$  و قطر سوراخ  $25\text{ mm}$  ( $\beta = 0.5$ ) را با رعایت کامل دستورالعملهای استاندارد ISO ۵۱۶۷، ذکر شده در فصل چهارم تحقیق حاضر، طراحی کرده و به دقت در کارگاه شرکت کولاب طوس ساختیم. دو سطح بالادرست و پاییندرست اریفیس را مورد پرداخت سطح قرار

داده و شرط موازی و هموار بودن سطوح هر اریفیس را رعایت کردہ‌ایم. سپس با اتصالات فشاری از نوع فلنچ هر دو اریفیس را به دقت در روی دولوله عبور جریان نصب کردیم. در نصب این اریفیس مترها حدود  $18D$  را برای حداقل طول مستقیم لوله در بالا دست اریفیس اعمال کردیم.

دستگاه اصلی مورد آزمایش که سیال از آن عبور می‌کند، لوله گردبادی<sup>۱</sup> می‌باشد. اساس کار این دستگاه بر اینست که سیال ورودی به این دستگاه به دو قسمت جریان سرد و جریان گرم تقسیم می‌شود که از دو طرف لوله گردبادی مطابق شکل (۱-۶) خارج می‌شوند و ما این دو صفحه اریفیس را با رعایت حداقل طول مستقیم لوله در مسیر این دو جریان خروجی سرد و گرم قرار داده‌ایم.



شکل ۱-۶ : طرحواره کلی از لوله گردبادی

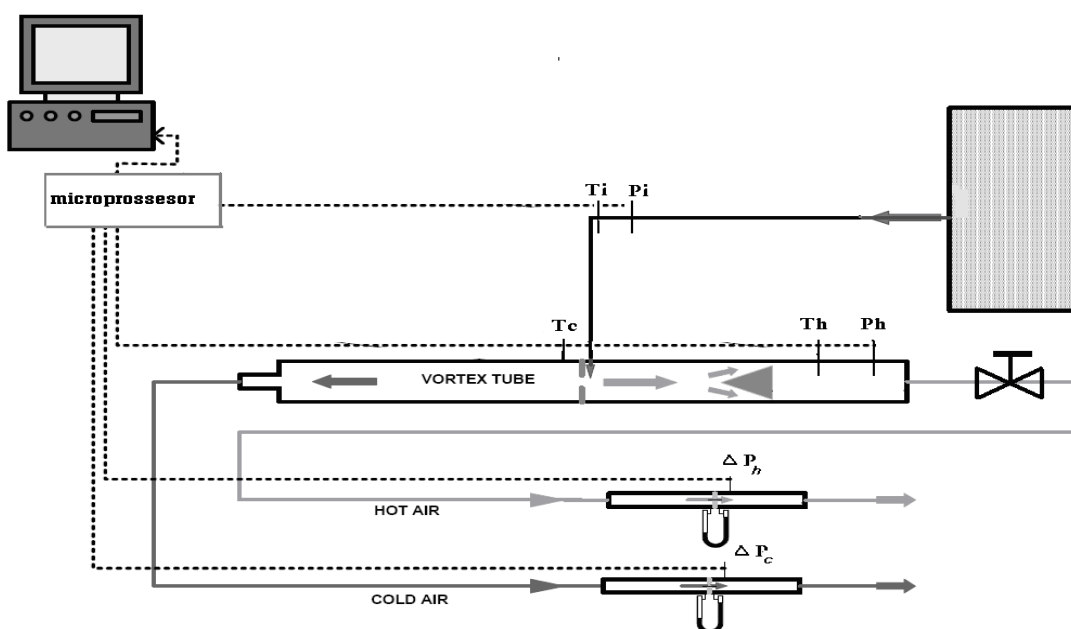
سپس در فاصله ۱ اینچی از هر دو سطح بالا دست و پایین دست اریفیس سوراخهای گردی در دیواره لوله به طوریکه هم سطح با سطح داخلی لوله باشند، برای اندازه‌گیری اختلاف فشار دو طرف اریفیس به عنوان اتصالات فشاری نوع فلنچی ایجاد کرده و بوسیله لوله های ارتباطی به یک سنسور اختلاف فشار سنج DP متصل می‌کنیم.

<sup>۱</sup> Vortex Tube

### ۶-۳- آشنایی با تجهیزات

در این فصل ابتدا با وسایل و تجهیزاتی که مورد استفاده قرار گرفته شده است، آشنا خواهیم شد و سپس به نحوه انجام آزمایش می پردازیم.

شکل ذیل طرحواره‌ای از وسایل مورد استفاده در این تحقیق را نمایش می‌دهد.



شکل ۲-۶ : طرحواره کلی از دستگاه مورد آزمایش و نحوه اتصال آن به کامپیوتر

ابزار و وسایل مورد استفاده در این تحقیق شامل موارد ذیل بوده‌اند:

- لوله گردبادی شامل لوله گرم، لوله سرد، نازل ورودی
- ۲ عدد جریان سنج اریفسمتر ساخته شده بر اساس استاندارد ISO ۵۱۶۷
- ۳ عدد حسگر دما از نوع PT ۱۰۰
- ۲ عدد حسگر فشار (در بازه ۰-۴ و ۰-۱۰ بار)
- ۲ عدد حسگر دیجیتالی اختلاف فشار

- ۱ عدد شیر توپی برای تنظیم جریان
- ریزپردازنده AVR ATMEGA ۳۲ و نمایشگر داده ها برای نمایش و ثبت داده ها دارای ۸ کanal آنالوگ ورودی (ساخت شرکت هولوگل پارس به سفارش مجریان این طرح)
- رایانه قابل حمل و نرم افزار ACM (توسعه داده شده توسط شرکت هولوگل پارس به سفارش مجریان این طرح) لوله گردبادی ، بدنه اصلی آزمایش ما را شامل و از ۳ قسمت اساسی ذکر شده در بالا (لوله گرم ، لوله سرد و نازل ورودی و یک اریفیس که فقط برای هم مرکز کردن خطوط جریان و نه برای اندازه گیری دبی، استفاده می گردد ) تشکیل می شود. ما در این آزمایش از نمونه اریفیس های ساخته شده برای اندازه گیری جریان های عبوری از لوله های جریان سرد و گرم استفاده می کنیم.

شکل ذیل نیز دستگاه مورد استفاده را در هنگام آزمایش در یکی از ایستگاه های تقلیل فشار TBS شهر شاهroud نمایش می دهد.



شکل ۳-۶ : دستگاه مورد آزمایش در محل ایستگاه تقلیل فشار شهر شاهroud

لوله گردبادی به طور کلی وسیله‌ای است که جریان ورودی، متقاطع با خط مرکزی لوله به دو بخش جریان سرد و جریان گرم تقسیم شده و جریان سرد پس از گذشتن از اریفیس نزدیک نازل ورودی که از این به بعد آنرا اریفیس ورودی می‌نامیم، از یک طرف دستگاه و جریان گرم بدون عبور از این اریفیس از روزنه طرف دیگر دستگاه خارج می‌شود. ما برای اندازه‌گیری این دو جریان، دو اریفیس طبق استاندارد ISO ۵۱۶۷ ساخته و با در نظر گرفتن تمام توصیه‌های استاندارد ISO، بر روی لوله گردبادی نصب کردہ‌ایم.

### **۶-۳-۱- تجهیزات مکانیکی**

وظایف اجزای مکانیکی دستگاه آزمایش بشرح ذیل می‌باشد:

- ۱ شیر ورودی : از این شیر برای تنظیم فشار ورودی استفاده می‌شود و گاز و هوا بعد از عبور از این شیر وارد لوله گردیادی می‌شود.
- ۲ لوله سرد : قسمتی از لوله گردبادی است که هوازی عبوری از اریفیس ورودی وارد این قسمت می‌شود.
- ۳ اریفیس ورودی : محل قرار گرفتن اریفیس ورودی در کنار نازل ورودی جریان می‌باشد. ما از این اریفیس‌ها برای اندازه‌گیری استفاده نمی‌کنیم. قطر سوراخ این اریفیس ۸ میلیمتر می‌باشد.
- ۴ لوله گرم: هوایی که از اریفیس ورودی عبور نمی‌کند در این لوله جریان پیدا می‌کند.
- ۵ شیر تنظیم خروجی گرم: این شیر برای کنترل مقدار هوای خروجی گرم و در نتیجه هوای گرم می‌باشد با تنظیم این شیر مقدار جریان در قسمت گرم و سرد تغییر می‌کنند.
- ۶ جریان سنج اریفیس‌متر برای جریان سرد : این لوله با قطر داخلی ۵۰ میلیمتر و قطر اریفیس ۲۵ میلیمتر در مسیر خروجی سرد قرار می‌گیرد و طول لوله مستقیم برای توسعه یافته‌گی حدود ۹۰ سانتی‌متر می‌باشد که از آن برای اندازه‌گیری دبی خروجی سرد استفاده می‌شود. این جریان سنج بر اساس استاندارد ISO ۵۱۶۷ طراحی شده است و ساخت شرکت کولاب طوس بوده است .

۷ جریان سنج اریفیس متر برای جریان گرم؛ مانند جریان سنج جریان سرد است در مسیر خروجی گرم قرار می‌گیرد و طول لوله مستقیم برای توسعه یافته‌گی حدود ۹۰ سانتی‌متر می‌باشد که از آن برای اندازه‌گیری دبی خروجی گرم استفاده می‌شود .

۸ شیر خروجی سرد: جریان گاز سرد شده بعد از عبور از اریفیس سرد از این قسمت خارج می‌شوند .

۹ شیر خروجی گرم: جریان گاز گرم شده بعد از عبور از اریفیس گرم از این قسمت خارج می‌شوند .

### ۶-۳-۲- تجهیزات الکترونیکی

وسایل و ابزارهای اندازه‌گیری که در این آزمایش استفاده می‌شوند عبارتند :

حسگرهای دما : در این آزمایش سه عدد حسگر دمای ۱۰۰ PT که بعد از شیر ورودی برای اندازه‌گیری دمای ورودی و قبل از شیر خروجی گرم برای اندازه‌گیری دمای هوای گرم و در قبل از اریفیس سرد برای اندازه دمای هوای سرد استفاده می‌شود. حسگرها از نوع سه سیم بوده که به ریزپردازنده متصل بوده و دما در نمایشگر ریزپردازنده و همچنین با توجه به اتصال ریزپردازنده به رایانه قابل حمل، در رایانه نمایش داده می‌شود. باید توجه داشت که نرمافزار ACM ۸۰۰ بطور خودکار اطلاعات را در یک فایل Excel ثبت می‌کند.

حسگرهای فشار : در این آزمایش ۲ عدد حسگر فشار Huba Control که یکی از آنها فشار را در بازه ۰-۴ بار و دیگر فشار ۰-۱۰ بار گزارش می‌کند و اطلاعات را به ریزپردازنده انتقال می‌دهد استفاده شده است. حسگرهای فشار نیز از نوع سه سیم بوده که بعد از شیر ورودی برای اندازه‌گیری فشار ورودی و قبل از شیر خروجی گرم برای اندازه‌گیری فشار خروجی لوله گرم استفاده شده‌اند.

• حسگرهای اختلاف سنج فشار: در هریک از جریان‌سنج‌های مورد استفاده بر اساس استانداردهای موجود برای محاسبه دبی، نیاز به اندازه‌گیری اختلاف فشار بین دو طرف اریفیس جریان سنج می‌باشد که این عمل با استفاده از دو حسگر اختلاف سنج انجام می‌گیرد. این دو اختلاف سنج با ریزپردازنده متصل بوده و اطلاعات را به ریزپردازنده منتقل می‌کنند.

ریز پردازنده AVR ATMEGA ۳۲ و نمایشگر: در این تحقیق به سفارش مجریان یک ریز پردازنده ATMEGA ۳۲ و نمایشگر توسط شرکت هولوگل پارس ساخته و در اختیار مجریان قرار گرفت. این ریزپردازنده دارای ۸ کanal آنولوگ ورودی بوده که اطلاعات حسگرها را که بر حسب جریان یا ولتاژ میباشد دریافت میکند و بعد از تبدیل این اطلاعات به فشار و دما ضمن نمایش آنها در صفحه نمایشگر، اطلاعات را به رایانه ارسال میکند.

رایانه و نرم افزار: در این تحقیق اطلاعات علاوه بر اینکه اطلاعات در نمایشگر ریزپردازنده نمایش داده میشود با استفاده از یک نرم افزار توسعه داده شده توسط شرکت هولوگل پارس از رایانه برای دریافت اطلاعات نیز استفاده شده است. همچنین برای دقت ثبت اطلاعات و عدم استفاده از روش دستی ثبت اطلاعات نرم افزار تمام در یک فایل Excel ذخیره میکند.(این عمل به کمک نرم افزار ACM ۸۰۰ انجام میشود).



شکل ۴-۶ : محل قرار گرفتن سنسور های فشار و دما (در محل محوطه دانشگاه صنعتی شهرورد)

چنان که اشاره شد در این طرح از یک ریز پردازنده اختصاصی که برای این طرح ساخته شده است، به منظور دریافت، پردازش و ارسال اطلاعات به رایانه استفاده شد.



شکل ۶-۵ : میکرو پرسسور اختصاصی برای خواندن اطلاعات آزمایش

اطلاعات ارسالی به رایانه توسط نرمافزار ACM ۸۰۰ دریافت شده و ضمن نمایش اطلاعات در نمایشگر بطور خودکار در یک فایل ثبت می شود . این نرمافزار در حال استفاده در شکل ذیل نشان داده شده است.



شکل ۶-۶ : کامپیوتر و نرمافزار مورد استفاده در آزمایش

## ۶-۴- روش انجام آزمایش

بعد از توضیح دستگاه مورد آزمایش، اجزاء مکانیکی و وسایل اندازه‌گیری الکترونیکی، در این قسمت به شرح آزمایش انجام گرفته پرداخته می‌شود:

آزمایش مورد نظر در دانشگاه صنعتی شاهرود انجام گرفت. همچنین در یکی از ایستگاههای تقلیل فشار شهر شاهرود تکرار گردید. شکل ذیل طریقه اتصال لوله گردبادی به خط انتقال گاز داخل دانشگاه را نمایش می‌دهد.

با توجه به گرمای هوا و لزوم تخلیه گاز خروجی به محیط، این عمل در بعدازظهر و شب انجام گرفت تا از خطرات احتمالی جلوگیری شود. هر چند با توجه به مقدار گاز تخلیه شده و بوی گاز استشمام شده این عمل مقداری خطرناک بنظر رسد.



شکل ۷-۶ : نحوه اتصال دستگاه به رگلاتور گاز در محوطه دانشگاه صنعتی شاهرود

روش انجام آزمایشات بدین ترتیب بود که بعد از بستن دستگاه به منبع تأمین گاز اجازه داده می شد که جریان برای چند دقیقه برقرار شده و به حالت پایدار برسد. در عمل، پایدار شدن جریان با توجه به عدم تغییر دمای هوای سرد و گرم قابل تشخیص بود. سپس شروع به ثبت اطلاعات در کامپیوتر می شد. با این کار به جریان اجازه می دهیم تا به حالت پایدار (steady) برسد و در نتیجه اطلاعات دریافتی دقیق‌تر باشد.

ثبت اطلاعات کاملاً بصورت خودکار بود و توسط نرمافزار ACM ۸۰۰ انجام می‌گرفت بعد از فشردن کلیدی توسط اپراتور این نرمافزار اطلاعاتی دریافتی میکروپروسسور را به صورت داده های ۱۰۰ تایی پس از یک دقیقه در یک جدول Excel ذخیره می‌کرد.

در این آزمایش جریان را از طریق نازل ورودی و اریفیس ورودی با قطر ۸ میلیمتر به داخل دستگاه لوله گردبادی هدایت کرده و بوسیله اریفیس مترهای سرد و گرم قرار دادیم، نرخ جرمی جریان را اندازه‌گیری کردیم. در این آزمایش برای بررسی تغییرات جریان های سرد و گرم از تنظیم شیر توپی استفاده می شد. در هر حالت فشار و دمایی ورودی ثابت و دبی خروجی گرم و سرد را از طریق تنظیم شیر خروجی گرم تغییر داده می شد. لازم به ذکر است برای افزایش میزان دقت برای هر حالت مشخصات حدود ۳۰۰ نقطه از کامپیوتر گرفته شده و با متوسط گیری از این نقاط، مشخصات (دمایی و فشاری) آنها و اختلاف فشار متناظر با هر اریفیس محاسبه می شود.

بعد از اینکه فشار و اختلاف فشار و دمای عملکرد سیستم به حالت پایدار رسید و مقادیر آنها توسط سنسورها اندازه‌گیری شد، باید آنالیز ترکیبات گاز طبیعی ورودی به سیستم شخص شود، زیرا مخلوط گاز طبیعی ترکیبی از حداقل ۲۱ عنصر می باشد که تغییرات در صد مولی هر کدام می تواند تأثیر زیادی بر خواص گاز داشته باشد. از آنجا که معادلات حالت موجود غالباً اثر ترکیبات گاز طبیعی را مد نظر قرار نمی دهند برای دقت بیشتر در کار از روش ارائه شده توسط انجمن گاز آمریکا ، AGA ، استفاده می کنیم که از آن در تدوین نرمافزار طراحی سود جسته ایم.

## **کمک فصل ششم : طراحی و ساخت یک نمونه عملی اریفیس و کار آزمایشگاهی**

نرم افزار طراحی اریفیس، دما و فشار کاری و اختلاف فشار اندازه‌گیری شده توسط آزمایش را به عنوان ورودی گرفته و ضریب تراکم پذیری گاز طبیعی و چگالی را به عنوان خروجی چاپ می‌کند. و در مرحله بعدی با انتخاب نوع اتصالات فشاری اریفیس مترها اقدام به محاسبه نرخ جرمی جریان می‌کند.

## فصل هفتم

نتایج آزمایشگاهی و نتایج عددی

نرم افزار طراحی اریفیس و

معتبر سازی آنها با نتایج تجربی

## **۱-۷- مقدمه**

در این فصل می خواهیم اعداد و ارقام حاصل از آزمایش اریفیس مترها در یکی از ایستگاههای تقلیل فشار گاز شهر شاهروд که در تاریخ ۱۳۸۷/۴/۷ انجام گردیده و نتایج آن از روی سنسورهای فشار و دما و اختلاف سنج فشار، قرائت شده است را در جداولی مرتب کنیم. همانگونه که در فصل قبلی ذکر شد نرم افزار ACM که توسط شرکت هوگل پارس تدوین شده است به صورت خودکار اعداد حاصل از اندازه گیری سنسورهای مختلف برای هر حالت (شیر خروجی جریان گرم در حالت‌های متفاوت باشد) را در جداول ۱۰۰ تایی Excel ذخیره می‌کند. پس از متوسط‌گیری از مقادیر دما، فشار و اختلاف فشار، آنها را وارد نرم افزار طراحی اریفیس (Orifice Designing Software) کرده و نرخ جرمی جریان را به دست می‌آوریم.

قبل از آنکه مقادیر نرخ جرمی جریان را با نتایج حاصل از نرم افزارهای موجود در بازار که به همین منظور طراحی شده‌اند (Meter Calc و Flow Orifice) مقایسه کنیم، ابتدا باید خواص فیزیکی گاز طبیعی شهر شاهرود که از حوزه خانگیران سرخس تأمین می‌شود را تعیین کرده و برخی از آنها را با خواص فیزیکی به دست آمده از سایر روش‌های عددی مانند روش فوگاسیته که ماریک در مرجع [۳۲] به آن پرداخته است و یا با روش تجربی ارنست [۳۸]، قیاس کنیم تا برای یک ترکیب مشخص اجزاء گاز به صحت روش‌های پیش‌بینی خواص گاز طبیعی که در توسعه نرم افزار از آنها استفاده کرده‌ایم پی ببریم.

## **۲-۷- آنالیز ترکیبات تشکیل دهنده گاز طبیعی پالایشگاه خانگیران**

قبل از هر کاری برای استفاده از نرم افزار طراحی اریفیس باید ترکیبات گاز طبیعی خانگیران برای محاسبه خواص فیزیکی آن را داشته باشیم. یک مخلوط گاز طبیعی حداقل از ۲۱ عنصر تشکیل شده

**کنگر فصل هفتم : نتایج آزمایشگاهی و نتایج عددی نرم افزار طراحی اریفیس و معتبرسازی آنها با نتایج تجربی**

است که برای پالایشگاه خانگیران این عناصر به ۱۱ عدد می‌رسند و در صد مولی هر کدام در جدول (۷) آورده شده است.

جدول ۱-۷ : آنالیز تجربی ترکیبات تشکیل‌دهنده گاز طبیعی پالایشگاه خانگیران

| Component        | mole Fraction |
|------------------|---------------|
| Methane          | ۹۸,۶۴         |
| Ethane           | ۰,۵۹۳         |
| Propane          | ۰,۰۶۵         |
| i-Butane         | ۰,۰۱۵         |
| n-Butane         | ۰,۰۳۴         |
| i-Pentane        | ۰,۰۲۶         |
| n-Pentane        | ۰,۰۱۹         |
| C <sub>۱+</sub>  | ۰,۱۲۵         |
| CO <sub>۲</sub>  | ۰,۰۵۵         |
| H <sub>۲</sub> S | ۲ PPM         |
| N <sub>۲</sub>   | ۰,۴۲۸         |

### ۳-۷- محاسبه خواص فیزیکی گاز طبیعی پالایشگاه خانگیران

در این قسمت به محاسبه برخی خواص فیزیکی گاز طبیعی به کمک نرم افزار طراحی اریفیس و رسم آنها می پردازیم.

### ۱-۳-۷- محاسبه چگالی و ضریب تراکم پذیری

برای محدوده دمایی ۲۵۰ تا ۳۵۰ کلوین و محدوده فشاری ۱ تا ۳۰ مگاپاسکال به کمک نرم افزار طراحی اریفیس به محاسبه خواص چگالی و ضریب تراکم پذیری گاز طبیعی به منظور بررسی نحوه تغییرات آنها در دماها و فشارهای مختلف پرداخته ایم. مقادیر به دست آمده از نرم افزار طراحی به شرح جداول (۲-۷) و (۳-۷) می باشند.

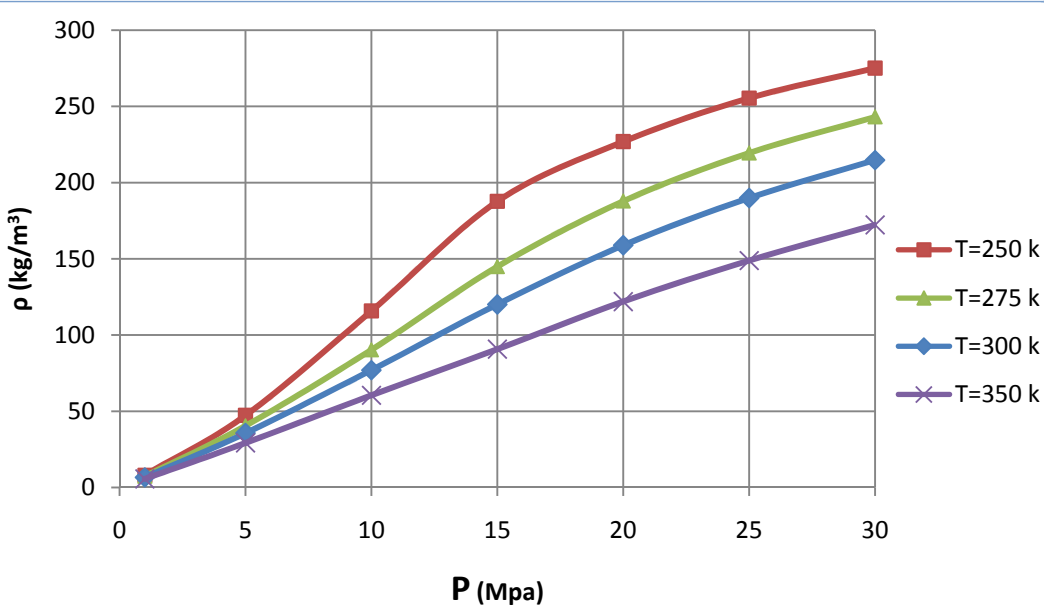
جدول ۲-۷: مقادیر چگالی گاز طبیعی پالایشگاه خانگیران برای دما و فشارهای مختلف

| P        | $\rho$ (kg/m <sup>3</sup> ) |          |          |          |
|----------|-----------------------------|----------|----------|----------|
|          | T= ۲۵۰ k                    | T= ۲۷۵ k | T= ۳۰۰ k | T= ۳۵۰ k |
| P=۱ MPa  | ۸.۱۳                        | ۷.۳۲     | ۶.۶۶     | ۵.۶۶     |
| P=۵ MPa  | ۴۷.۳۱                       | ۴۰.۴۷    | ۳۵.۷۵    | ۲۹.۳۸    |
| P=۱۰ MPa | ۱۱۵.۹۰                      | ۹۰.۳۲    | ۷۷.۰۰    | ۶۰.۵۱    |
| P=۱۵ MPa | ۱۸۷.۸۱                      | ۱۴۴.۹۲   | ۱۲۰.۱۳   | ۹۰.۸۲    |
| P=۲۰ MPa | ۲۲۶.۹۲                      | ۱۸۷.۹۴   | ۱۵۸.۹۵   | ۱۲۲.۰۲   |
| P=۲۵ MPa | ۲۵۵.۵۰                      | ۲۱۹.۴۰   | ۱۸۹.۹۳   | ۱۴۸.۹۳   |
| P=۳۰ MPa | ۲۷۵.۱۴                      | ۲۴۳.۱۷   | ۲۱۴.۸۰   | ۱۷۲.۳۴   |

## کا<sup>ن</sup> فصل هفتم : نتایج آزمایشگاهی و نتایج عددی نرم افزار طراحی اریفیس و معتبرسازی آنها با نتایج تجربی

جدول ۳-۷: مقادیر ضریب تراکم پذیری گاز طبیعی پالایشگاه خانگیران برای دما و فشارهای مختلف

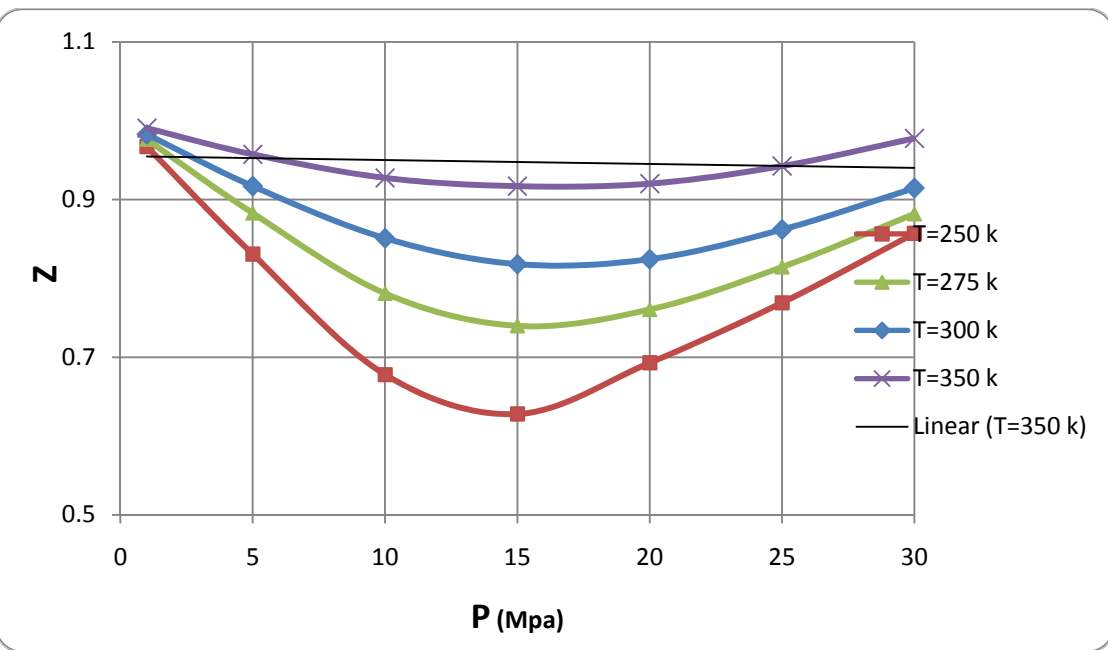
| P        | T | Z        |          |          |          |
|----------|---|----------|----------|----------|----------|
|          |   | T= ۲۵۰ k | T= ۲۷۵ k | T= ۳۰۰ k | T= ۳۵۰ k |
| P=۱ MPa  |   | ۰.۹۶۷۱   | ۰.۹۷۶۳   | ۰.۹۸۲۷   | ۰.۹۹۰۷   |
| P=۵ MPa  |   | ۰.۸۳۰۷   | ۰.۸۸۲۸   | ۰.۹۱۷    | ۰.۹۵۷۴   |
| P=۱۰ MPa |   | ۰.۶۷۸    | ۰.۷۸۱    | ۰.۸۵۰۹   | ۰.۹۲۷۵   |
| P=۱۵ MPa |   | ۰.۶۲۸    | ۰.۷۳۹۸   | ۰.۸۱۸۱   | ۰.۹۱۷    |
| P=۲۰ MPa |   | ۰.۶۹۲۹   | ۰.۷۶۰۴   | ۰.۸۲۴۳   | ۰.۹۲۰۲   |
| P=۲۵ MPa |   | ۰.۷۶۹۱   | ۰.۸۱۴۴   | ۰.۸۶۲    | ۰.۹۴۲۶   |
| P=۳۰ MPa |   | ۰.۸۵۷۱   | ۰.۸۸۱۸   | ۰.۹۱۴۶   | ۰.۹۷۷۷   |



نمودار ۱-۷: تغییرات مقادیر چگالی گاز طبیعی پالایشگاه خانگیران بر حسب دما و فشار

## کلکه فصل هفتم : نتایج آزمایشگاهی و نتایج عددی نرم افزار طراحی اریفیس و معتبرسازی آنها با نتایج تجربی

از نمودار (۷-۱) می‌توان نتیجه گرفت که با افزایش دما در یک فشار ثابت به دلیل زیاد شدن فاصله بین مولکولها در اثر جنبش زیاد آنها، تراکم مولکولها در یک حجم معین کاهش یافته و چگالی سیال کم می‌شود.



نمودار ۷-۲ : تغییرات مقادیر ضریب تراکم‌پذیری، Z، گاز طبیعی پالایشگاه خانگیران بر حسب دما و فشار

نمودار (۷-۲) نشان می‌دهد که در فشارهای پایین، مقدار Z افزایش یافته و این مقدار به عدد ۱ نزدیک می‌شود، که این مساله بدلیل نزدیک شدن شرایط گاز طبیعی به گاز ایده‌آل در فشارهای پایین اتفاق می‌افتد. پابن آمدن فشار، باعث کاهش نبروهای رباش بین ذرات i و j و همچنین کاهش تعداد برخوردهای ذرات در مخلوط گاز شده، با توجه به اینکه در مدل AGA ۸ اثر این نوع برخوردها و نبروهای حاصله در نظر گرفته می‌شود، متعاقب این کاهش، افزایش Z را بدنبال خواهد داشت.

با افزایش فشار تا حدود ۱۵ مگاپاسکال به دلیل زیاد شدن سرعت برخورد ذرات، کاهش Z اتفاق می‌افتد، اما بعد از آن در دمای ثابت با افزایش فشار، Z شروع به افزایش می‌کند. زیرا با افزایش بیشتر

## کاگر فصل هفتم : نتایج آزمایشگاهی و نتایج عددی نرم افزار طراحی اریفیس و معتبرسازی آنها با نتایج تجربی

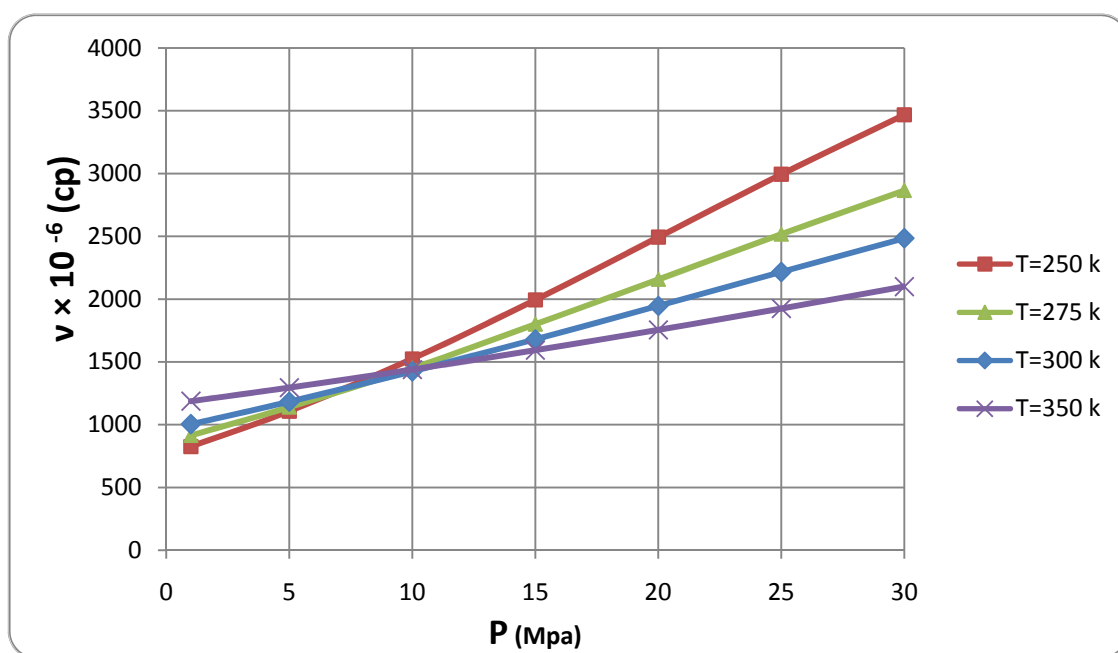
فشار، تعداد برخوردهای بین ذرهای در مخلوط گاز به دلیل تراکم زیاد ذرات افزایش می‌یابد اما مقدار تأثیری که افزایش تعداد برخوردهای بین ذرهای بر روی مقدار  $Z$  می‌گذارند کمتر از مقدار تأثیری است که افزایش نیروهای رانش بین ذره ای بر روی مقدار  $Z$  اعمال می‌کنند. بنابراین از جمله نکات مهم قابل استنتاج از نمودارها وابستگی شدید مقدار ضریب تراکم‌پذیری به تغییرات فشار می‌باشد.

### ۲-۳-۷ - محاسبه ویسکوزیته

برای محاسبه خاصیت ویسکوزیته مانند خواص چگالی و ضریب تراکم‌پذیری عمل کرده و در محدوده دمای بین ۲۵۰ تا ۳۵۰ کلوین و محدوده دمای فشاری ۱ تا ۳۰ مگا پاسکال، مقادیر را استخراج کرده‌ایم.

جدول ۴-۷: مقادیر ویسکوزیته گاز طبیعی پالایشگاه خانگیران برای دما و فشارهای مختلف

| $P$                | $T$ | $T=250 \text{ K}$ | $T=275 \text{ K}$ | $T=300 \text{ K}$ | $T=350 \text{ K}$ |
|--------------------|-----|-------------------|-------------------|-------------------|-------------------|
| $P=1 \text{ MPa}$  |     | ۸۲۶               | ۹۱۴               | ۱۰۰۴              | ۱۱۸۷              |
| $P=5 \text{ MPa}$  |     | ۱۱۰۸              | ۱۱۴۰              | ۱۱۸۳              | ۱۲۹۵              |
| $P=10 \text{ MPa}$ |     | ۱۵۲۴              | ۱۴۵۰              | ۱۴۲۴              | ۱۴۳۹              |
| $P=15 \text{ MPa}$ |     | ۱۹۹۴              | ۱۸۰۰              | ۱۶۸۰              | ۱۵۹۳              |
| $P=20 \text{ MPa}$ |     | ۲۴۹۳              | ۲۱۵۷              | ۱۹۴۶              | ۱۷۵۵              |
| $P=25 \text{ MPa}$ |     | ۲۹۹۴              | ۲۵۱۷              | ۲۲۱۶              | ۱۹۲۵              |
| $P=30 \text{ MPa}$ |     | ۳۴۶۸              | ۲۸۶۵              | ۲۴۸۴              | ۲۱۰۰              |



نمودار ۷-۳: تغییرات مقادیر ویسکوزیته گاز طبیعی پالایشگاه خانگیران بر حسب دما و فشار

از نمودار بالا قابل مشاهده می‌باشد که با زیاد شدن دما و افزایش فشار برای گازها ، مقدار گرانروی یا لزجت سیال کمتر شده و مقاومت کمتری در مقابل جریان یافتن از خود نشان می‌دهد.

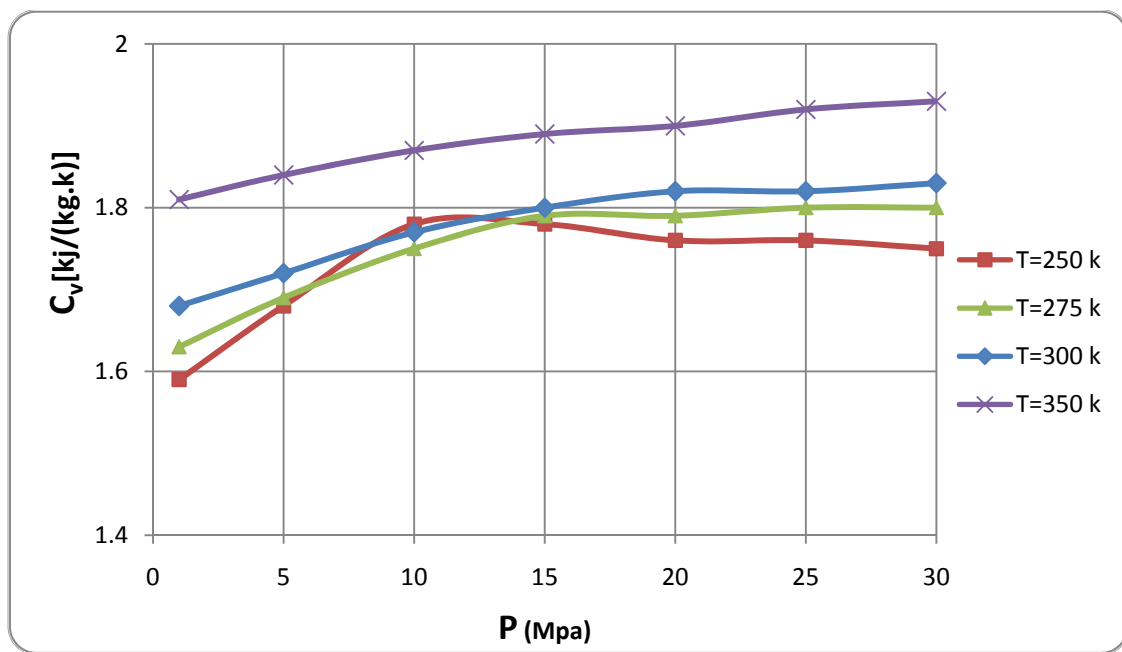
### ۷-۳-۳- محاسبه ظرفیتهای حرارتی حجم ثابت و فشار ثابت و توان آیزنتروپیک

برای محاسبه خواص ظرفیت حرارتی و توان آیزنتروپیک نیز مانند خواص چگالی و ضریب تراکم‌پذیری و ویسکوزیته عمل و در محدوده دماهای بین ۲۵۰ تا ۳۵۰ کلوین و محدوده ی فشاری ۱ تا ۳۰ مگاپاسکال مقادیر آنها را به کمک نرم افزار طراحی استخراج می‌کنیم و نتایج را در جدول (۷-۷) تا (۷-۷) آورده‌ایم.

## کا<sup>ن</sup> فصل هفتم : نتایج آزمایشگاهی و نتایج عددی نرم افزار طراحی اریفیس و معتبرسازی آنها با نتایج تجربی

جدول ۷-۵: مقادیر ظرفیت حرارتی حجم ثابت گاز طبیعی پالایشگاه خانگیران برای دما و فشارهای مختلف

| P        | T | $C_v [kj/(kg.k)]$ |          |          |          |
|----------|---|-------------------|----------|----------|----------|
|          |   | T= ۲۵۰ k          | T= ۲۷۵ k | T= ۳۰۰ k | T= ۳۵۰ k |
| P=۱ MPa  |   | 1.59              | 1.63     | 1.68     | 1.81     |
| P=۵ MPa  |   | 1.68              | 1.69     | 1.72     | 1.84     |
| P=۱۰ MPa |   | 1.78              | 1.75     | 1.77     | 1.87     |
| P=۱۵ MPa |   | 1.78              | 1.79     | 1.80     | 1.89     |
| P=۲۰ MPa |   | 1.76              | 1.79     | 1.82     | 1.90     |
| P=۲۵ MPa |   | 1.76              | 1.80     | 1.82     | 1.92     |
| P=۳۰ MPa |   | 1.75              | 1.80     | 1.83     | 1.93     |



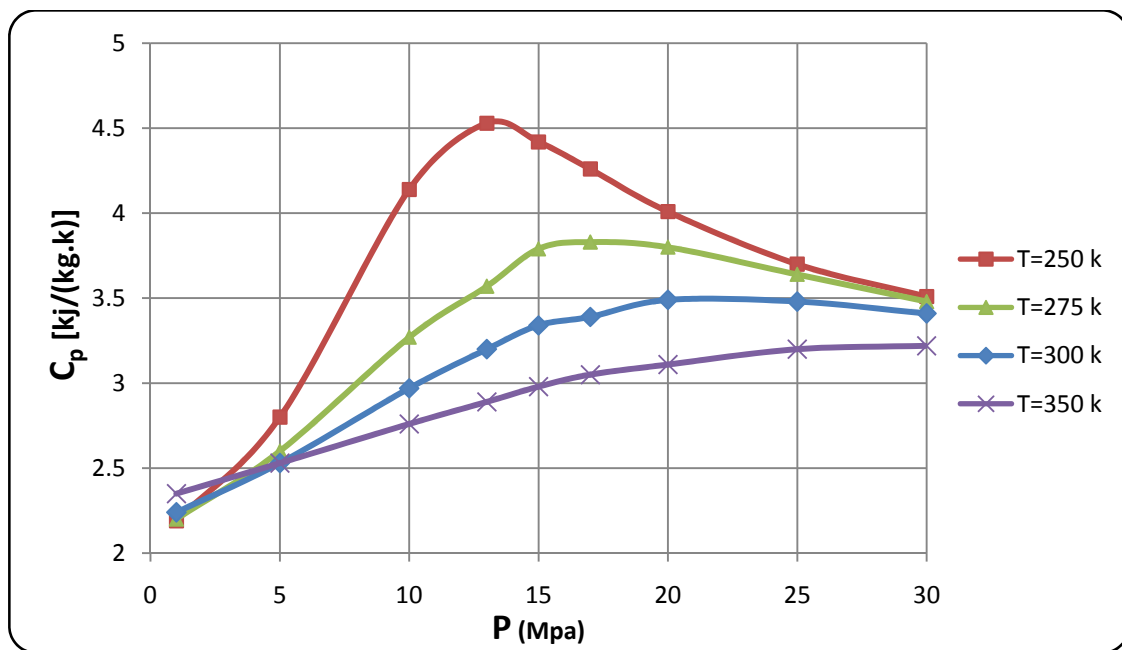
نمودار ۷-۴ : تغییرات مقادیر ظرفیت حرارتی حجم ثابت گاز طبیعی پالایشگاه خانگیران بر حسب دما و فشار

## کا<sup>ن</sup> فصل هفتم : نتایج آزمایشگاهی و نتایج عددی نرم افزار طراحی اریفیس و معتبرسازی آنها با نتایج تجربی

نمودار تغییرات ظرفیت حرارتی حجم ثابت با افزایش فشار در دمای ثابت و افزایش دما در فشار ثابت روند صعودی دارد (به جز در چند نقطه برای دمای ۲۵۰ کلوین که قابل اغماس می‌باشد).

جدول ۷-۶: مقادیر ظرفیت حرارتی فشار ثابت گاز طبیعی پالایشگاه خانگیران برای دما و فشارهای مختلف

| P                 | $C_p [kj/(kg.k)]$  |                    |                    |                    |
|-------------------|--------------------|--------------------|--------------------|--------------------|
|                   | $T = 250\text{ k}$ | $T = 275\text{ k}$ | $T = 300\text{ k}$ | $T = 350\text{ k}$ |
| $P=1\text{ MPa}$  | ۲.۱۹               | ۲.۲۰               | ۲.۲۴               | ۲.۳۵               |
| $P=5\text{ MPa}$  | ۲.۸۰               | ۲.۶۰               | ۲.۵۳               | ۲.۵۳               |
| $P=10\text{ MPa}$ | ۴.۱۴               | ۳.۲۷               | ۲.۹۷               | ۲.۷۶               |
| $P=15\text{ MPa}$ | ۴.۴۲               | ۳.۷۹               | ۳.۳۴               | ۲.۹۸               |
| $P=20\text{ MPa}$ | ۴.۰۱               | ۳.۸۰               | ۳.۴۹               | ۳.۱۱               |
| $P=25\text{ MPa}$ | ۳.۷۰               | ۳.۶۴               | ۳.۴۸               | ۳.۲۰               |
| $P=30\text{ MPa}$ | ۳.۵۱               | ۳.۴۸               | ۳.۴۱               | ۳.۲۲               |



نمودار ۷-۵ : تغییرات مقادیر ظرفیت حرارتی فشار ثابت گاز طبیعی پالایشگاه خانگیران بر حسب دما و فشار

## کلکه فصل هفتم : نتایج آزمایشگاهی و نتایج عددی نرم افزار طراحی اریفیس و معتبرسازی آنها با نتایج تجربی

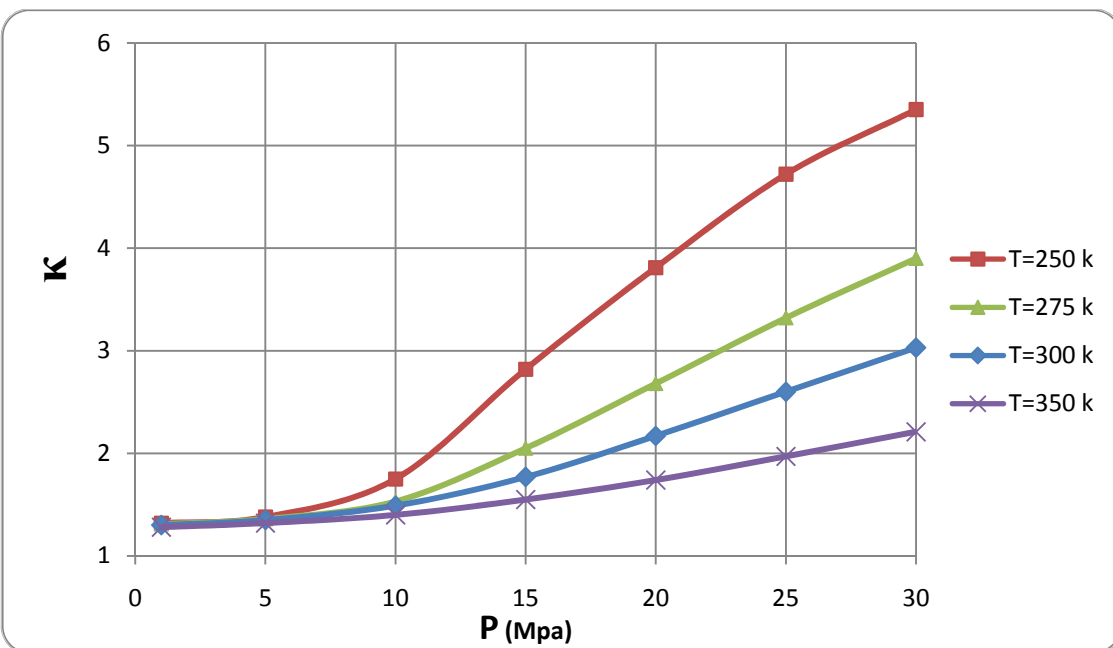
با توجه به نمودار (۷-۵) میبینیم که در فشار ۱۳ مگا پاسکال بیشترین مقدار را برای  $C_p$  در حدود ۴.۵۲۸ j/(gr.k) در دمای ۲۵۰ کلوین داریم.

همچنین از نمودار مشخص است که مقادیر  $C_p$  در دما و فشار خاصی دارای نقطه ماکزیمم میباشدند که با افزایش دما، فشار متناظر با این نقطه افزایش و مقدار عددی این نقطه کاهش مییابد. برای دمای ۳۵۰ کلوین در فشاری حدود ۳۳ مگاپاسکال بیشترین  $C_p$  را داریم.

در ادامه، جدول تغییرات توان آیزنتروپیک گاز طبیعی پالایشگاه خانگیران را مشاهده میکنید.

جدول ۷-۷: مقادیر توان آیزنتروپیک گاز طبیعی پالایشگاه خانگیران برای دما و فشارهای مختلف

| P        | K        |          |          |          |
|----------|----------|----------|----------|----------|
|          | T= ۲۵۰ k | T= ۲۷۵ k | T= ۳۰۰ k | T= ۳۵۰ k |
| P=۱ MPa  | ۱.۳۲     | ۱.۳۱     | ۱.۳۰     | ۱.۲۸     |
| P=۵ MPa  | ۱.۳۸     | ۱.۳۶     | ۱.۳۵     | ۱.۳۲     |
| P=۱۰ MPa | ۱.۷۵     | ۱.۵۳     | ۱.۴۹     | ۱.۴۰     |
| P=۱۵ MPa | ۲.۸۲     | ۲.۰۵     | ۱.۷۷     | ۱.۵۵     |
| P=۲۰ MPa | ۳.۸۱     | ۲.۶۸     | ۲.۱۷     | ۱.۷۴     |
| P=۲۵ MPa | ۴.۷۲     | ۳.۳۲     | ۲.۶۰     | ۱.۹۷     |
| P=۳۰ MPa | ۵.۳۵     | ۳.۹۰     | ۳.۰۳     | ۲.۲۱     |



نمودار ۷-۶ : تغییرات مقادیر توان آیزنتروپیک گاز طبیعی پالایشگاه خانگیران بر حسب دما و فشار

با بررسی نمودار (۷-۶) به روالی منطقی برای تغییرات  $K$  می‌رسیم. دما و فشار بحرانی برای گاز طبیعی حوزه خانگیران حدود ۱۹۵ کلوین و ۴,۵ مگاپاسکال بوده و محدوده دمایی نمودارها از دمای ۲۵۰ کلوین که بالاتر از دمای بحرانی می‌باشد، شروع شده است.

از نقطه نظر فیزیکی گاز طبیعی حوزه خانگیران در فشارهای بالاتر از فشار بحرانی و در محدوده دمایی ۲۵۰ تا ۳۵۰ کلوین به صورت بخار سوپرهیت درآمده و در این حالت انحراف از رفتار گاز ایده‌آل زیاد می‌باشد. در فشارهای پایین تر از فشار بحرانی بدون توجه به دما، گاز طبیعی رفتاری مطابق گاز ایده‌آل از خود نشان می‌دهد و توان آیزنتروپیک از رابطه  $\frac{C_p}{C_v} = k$  به دست می‌آید.

با کم شدن دما در فشار ثابت، چگالی گاز و نیروهای رباش بین مولکولها زیاد شده و رفتار ماده از گاز ایده‌آل انحراف پیدا می‌کند. از روی معادله حالت نیز می‌توان دریافت که با کم شدن دما، مقدار عددی کاهش و با دقت در رابطه  $\left(\frac{\partial P}{\partial V_m}\right)_T$  (۳-۶۰)، در نتیجه مقدار  $K$  افزایش می‌یابد.

## کاگر فصل هفتم : نتایج آزمایشگاهی و نتایج عددی نرم افزار طراحی اریفیس و معتبرسازی آنها با نتایج تجربی

مشاهده می شود که این خاصیت در دمای ثابت با افزایش فشار، سیر صعودی داشته و در فشار ثابت با افزایش دما کاهش پیدا می کند.

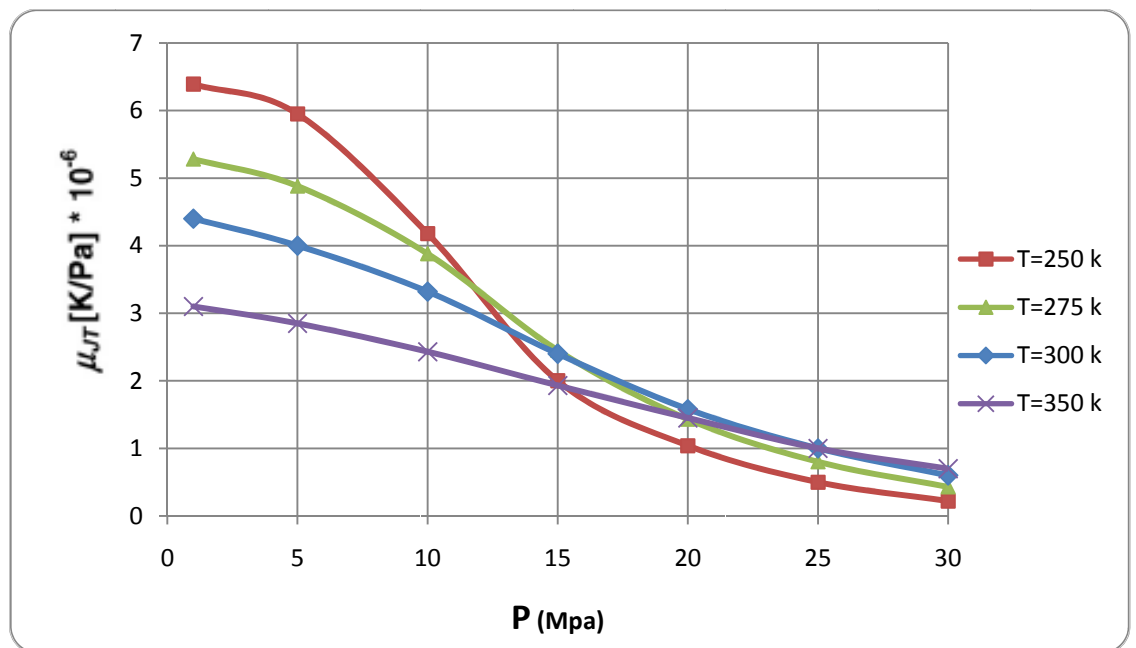
### ۷-۳-۴- محاسبه ضریب ژول - تامسون

برای محدوده دمایی ۲۵۰ تا ۳۵۰ کلوین و محدوده فشاری ۱ تا ۳۰ مگاپاسکال به کمک نرم افزار طراحی اریفیس به محاسبه خاصیت ژول - تامسون گاز طبیعی به منظور بررسی نحوه تغییرات آن با دما و فشار پرداخته ایم. مقادیر به دست آمده از نرم افزار طراحی در جدول (۷-۸) آمده است.

نمودار (۷-۷) نشان می دهد که با افزایش فشار مقدار ضریب ژول - تامسون کاهش می یابد و همچنین در فشار ثابت با افزایش دما این ضریب کاهش می یابد.

جدول ۸-۷: مقادیر ضریب ژول - تامسون گاز طبیعی پالایشگاه خانگیران برای دما و فشارهای مختلف

| P        | $\mu_{JT}$ (k/Mpa) |          |          |          |
|----------|--------------------|----------|----------|----------|
|          | T= ۲۵۰ k           | T= ۲۷۵ k | T= ۳۰۰ k | T= ۳۵۰ k |
| P=۱ MPa  | ۶.۳۹               | ۵.۲۸     | ۴.۴۰     | ۳.۱۰     |
| P=۵ MPa  | ۵.۹۵               | ۴.۸۸     | ۴.۰۰     | ۲.۸۵     |
| P=۱۰ MPa | ۴.۱۸               | ۳.۸۸     | ۳.۳۲     | ۲.۴۳     |
| P=۱۵ MPa | ۲.۰۰               | ۲.۴۵     | ۲.۴۰     | ۱.۹۳     |
| P=۲۰ MPa | ۱.۰۴               | ۱.۴۳     | ۱.۵۸     | ۱.۴۵     |
| P=۲۵ MPa | ۰.۵۰               | ۰.۸۰     | ۱.۰۰     | ۱.۰۰     |
| P=۳۰ MPa | ۰.۲۲               | ۰.۴۳     | ۰.۶۰     | ۰.۷۰     |



نمودار ۷-۷ : تغییرات مقادیر ضریب ژول - تامسون گاز طبیعی پالایشگاه خانگیران بر حسب دما و فشار

#### ۴-۷- معتبرسازی نتایج نرم افزار طراحی اریفیس

برای اطمینان از صحت نتایج نرم افزار طراحی شده برای محاسبات اریفیس باید نتایج به دست آمده را با نتایج حاصل از کار تجربی و کارهای عددی مشابه که به روشهای دیگری انجام شده اند مقایسه کرد.

#### ۴-۷-۱- معتبرسازی با نتایج عددی

ایوان ماریک در مراجع [۳۲] و [۳۷] با دو ترکیب متفاوت برای گاز طبیعی از حل معادله حالت AGA ۸/۱۹۹۲ که بر پایه خاصیت فوگاسیته سیال استوار می باشد، استفاده کرده و به ترتیب در مراجع مذکور خواص توان آیزنتروپیک و ضریب ژول - تامسون را محاسبه کرده است.

مرجع [۳۲] با مخلوط گاز طبیعی با ترکیبات  $X_{\text{ch}_4} = 0, 8$  و  $X_{\text{c}_2\text{h}_6} = 0, 15$  و  $X_{\text{c}_2\text{h}_8} = 0, 05$  برای محاسبه خاصیت توان آیزنتروپیک پرداخته است. ما نیز با همان ترکیب برای مخلوط گاز و توسط نرم افزار

## کل فصل هفتم : نتایج آزمایشگاهی و نتایج عددی نرم افزار طراحی اریفیس و معتبرسازی آنها با نتایج تجربی

طراحی اریفیس خاصیت توان آیزنتروپیک،  $K$ ، را حساب کرده و برای مقایسه نتایج، آنها را در یک نمودار

رسم کردہ‌ایم.

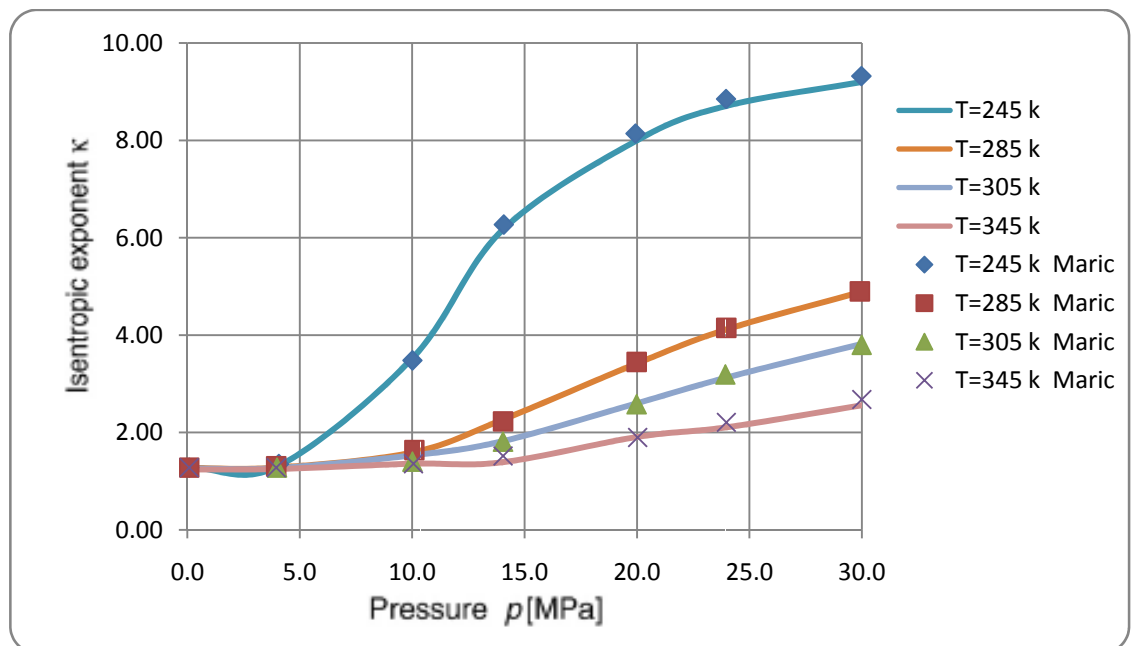
جدول ۹-۷ : نتایج توان آیزنتروپیک به دست آمده توسط مرجع [۳۲]

|                 | <b><math>K</math> Maric</b> |             |             |             |
|-----------------|-----------------------------|-------------|-------------|-------------|
|                 | <b>T= k</b>                 | <b>T= k</b> | <b>T= k</b> | <b>T= k</b> |
| <b>P= . Mpa</b> | ۱.۲۸                        | ۱.۲۸        | ۱.۲۸        | ۱.۲۸        |
| <b>P= Mpa</b>   | ۱.۳۴                        | ۱.۳۳        | ۱.۲۸        | ۱.۲۸        |
| <b>P= Mpa</b>   | ۳.۴۵                        | ۱.۶۸        | ۱.۴۰        | ۱.۳۶        |
| <b>P= Mpa</b>   | ۶.۳۰                        | ۲.۲۰        | ۱.۸۱        | ۱.۵۲        |
| <b>P= Mpa</b>   | ۸.۲۴                        | ۳.۵۲        | ۲.۵۸        | ۱.۹۰        |
| <b>P= Mpa</b>   | ۸.۹۰                        | ۴.۲۲        | ۳.۱۹        | ۲.۲۱        |
| <b>P= Mpa</b>   | ۹.۲۹                        | ۴.۹۹        | ۳.۸۰        | ۲.۶۸        |

جدول ۱۰-۷ : نتایج توان آیزنتروپیک به دست آمده توسط نرم افزار طراحی اریفیس

|                 | <b><math>K</math> Calculate</b> |             |             |             |
|-----------------|---------------------------------|-------------|-------------|-------------|
|                 | <b>T= k</b>                     | <b>T= k</b> | <b>T= k</b> | <b>T= k</b> |
| <b>P= . Mpa</b> | ۱.۲۸                            | ۱.۲۷        | ۱.۲۶        | ۱.۲۴        |
| <b>P= Mpa</b>   | ۱.۳۰                            | ۱.۲۸        | ۱.۲۷        | ۱.۲۵        |
| <b>P= Mpa</b>   | ۳.۵۲                            | ۱.۵۹        | ۱.۵۳        | ۱.۳۶        |
| <b>P= Mpa</b>   | ۶.۱۵                            | ۲.۲۶        | ۱.۸۲        | ۱.۳۹        |
| <b>P= Mpa</b>   | ۸.۰۰                            | ۳.۴۲        | ۲.۶۰        | ۱.۹۱        |
| <b>P= Mpa</b>   | ۸.۷۱                            | ۴.۱۲        | ۳.۱۳        | ۲.۱۱        |
| <b>P= Mpa</b>   | ۹.۲۰                            | ۴.۸۹        | ۳.۸۲        | ۲.۵۶        |

## کا<sup>ن</sup> فصل هفتم : نتایج آزمایشگاهی و نتایج عددی نرم افزار طراحی اریفیس و معتبرسازی آنها با نتایج تجربی



نمودار ۷-۸ : مقایسه مقادیر توان آیزنتروپیک بین نتایج نرم افزار طراحی و نتایج مرجع [۳۲]

جدول ۱۱-۷ : اختلاف بین نتایج نرم افزار طراحی اریفیس و نتایج مرجع [۳۲]

|          | K <sub>Maric</sub> - K Calculate |        |        |        |
|----------|----------------------------------|--------|--------|--------|
|          | T= k                             | T= k   | T= k   | T= k   |
| P= . Mpa | ... .                            | ... .  | ... .  | ... .  |
| P= Mpa   | ... .                            | ... .  | ... .  | ... .  |
| P= Mpa   | -... .                           | ... .  | -... . | ... .  |
| P= Mpa   | ... .                            | -... . | -... . | ... .  |
| P= Mpa   | ... .                            | ... .  | -... . | -... . |
| P= Mpa   | ... .                            | ... .  | ... .  | ... .  |
| P= Mpa   | ... .                            | ... .  | ... .  | ... .  |

همانطور که از جدول (۱۱-۷) پیداست تطابق خوبی بین نتایج برقرار است و حداقل اختلاف بین نتایج

نرم افزار طراحی اریفیس و مرجع [۳۲] برابر ۰.۲۴ و معادل ۲.۹ درصد خطأ و برای دمای ۲۴۵ کلوین و

فشار ۲۰ مگاپاسکال می باشد.

## کل فصل هفتم : نتایج آزمایشگاهی و نتایج عددی نرم افزار طراحی اریفیس و معتبرسازی آنها با نتایج تجربی

مرجع [۳۷] با مخلوط گاز طبیعی با ترکیبات  $X_{\text{CH}_4} = 0.023$  و  $X_{\text{C}_2\text{H}_6} = 0.085$  و  $X_{\text{CH}_3} = 0.059$  و  $X_{\text{i-pentane}} = 0.0005$  و  $X_{\text{n-butane}} = 0.0035$  و  $X_{\text{N}_2} = 0.01$  و  $X_{\text{CO}_2} = 0.015$  برای محاسبه ضریب ژول - تامسون پرداخته است. ما نیز با همان ترکیب برای مخلوط گاز و توسط نرم افزار طراحی اریفیس ضریب ژول - تامسون،  $T_{\text{JM}}$ ، را حساب کرده و برای مقایسه نتایج، آنها را در یک نمودار رسم کردہ ایم.

جدول ۱۲-۷ : نتایج ضریب ژول - تامسون به دست آمده توسط مرجع [۳۷]

|                  | $\mu_{\text{JT Maric}} (\text{k/Mpa})$ |                |                |                |
|------------------|--|----------------|----------------|----------------|
|                  | $T = \text{k}$                         | $T = \text{k}$ | $T = \text{k}$ | $T = \text{k}$ |
| $P = \text{Mpa}$ | 7.94                                   | 5.80           | 5.05           | 3.79           |
| $P = \text{Mpa}$ | 7.68                                   | 5.40           | 4.59           | 3.44           |
| $P = \text{Mpa}$ | 3.82                                   | 4.15           | 3.75           | 2.89           |
| $P = \text{Mpa}$ | 1.35                                   | 2.54           | 2.49           | 2.25           |
| $P = \text{Mpa}$ | 0.62                                   | 1.37           | 1.55           | 1.59           |
| $P = \text{Mpa}$ | 0.29                                   | 0.73           | 0.91           | 1.11           |
| $P = \text{Mpa}$ | 0.05                                   | 0.42           | 0.56           | 0.71           |

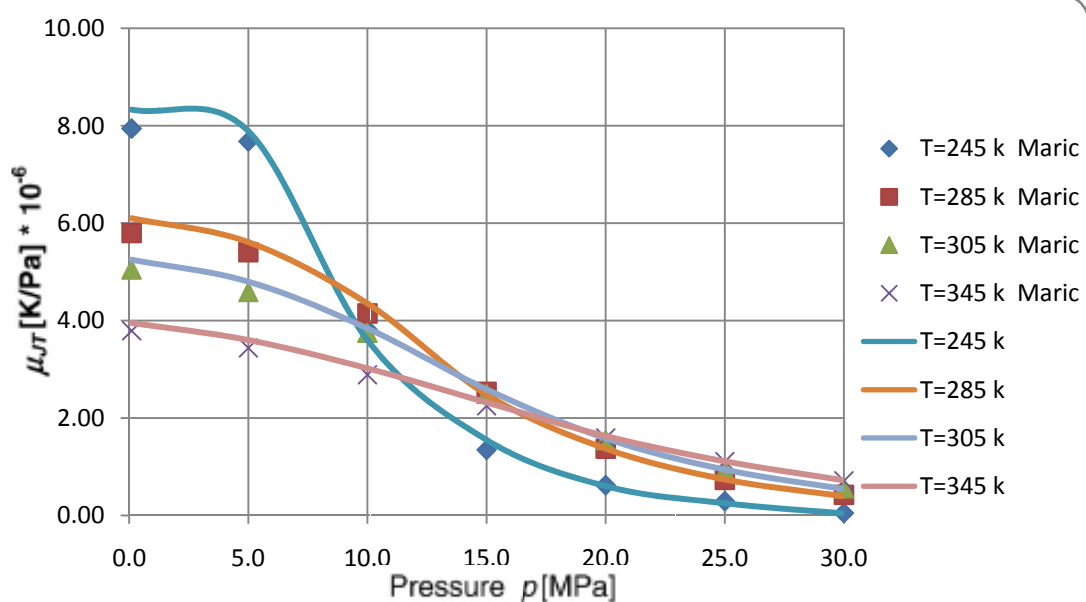
جدول ۱۳-۷ : نتایج ضریب ژول - تامسون به دست آمده توسط نرم افزار طراحی اریفیس

|                  | $\mu_{\text{JT Calculate}} (\text{k/Mpa})$ |                |                |                |
|------------------|--|----------------|----------------|----------------|
|                  | $T = \text{k}$                             | $T = \text{k}$ | $T = \text{k}$ | $T = \text{k}$ |
| $P = \text{Mpa}$ | 8.33                                       | 6.10           | 5.25           | 3.95           |
| $P = \text{Mpa}$ | 7.89                                       | 5.61           | 4.80           | 3.60           |
| $P = \text{Mpa}$ | 3.60                                       | 4.35           | 3.84           | 3.02           |
| $P = \text{Mpa}$ | 1.55                                       | 2.48           | 2.59           | 2.32           |
| $P = \text{Mpa}$ | 0.60                                       | 1.37           | 1.58           | 1.63           |
| $P = \text{Mpa}$ | 0.25                                       | 0.74           | 0.94           | 1.11           |
| $P = \text{Mpa}$ | 0.04                                       | 0.39           | 0.54           | 0.72           |

**کاکھ فصل هفتم : نتایج آزمایشگاهی و نتایج عددی نرم افزار طراحی اریفیس و معتبرسازی آنها با نتایج تجربی**

جدول ۱۴-۷ : اختلاف بین نتایج نرم افزار طراحی اریفیس و نتایج مرجع [۳۷]

|           | $(\mu_{JT\_Maric} - \mu_{JT\_Calculate}) \text{ (k/Mpa)}$ |          |          |          |
|-----------|---|----------|----------|----------|
|           | T= 245 k  | T= 285 k | T= 305 k | T= 345 k |
| P= 0 Mpa  | -0.39   | -0.30    | -0.20    | -0.16    |
| P= 5 Mpa  | -0.21   | -0.21    | -0.21    | -0.16    |
| P= 10 Mpa | 0.22  | -0.20    | -0.09    | -0.13    |
| P= 15 Mpa | -0.20   | 0.06     | -0.10    | -0.07    |
| P= 20 Mpa | 0.02  | 0.00     | -0.03    | -0.04    |
| P= 25 Mpa | 0.04  | -0.01    | -0.03    | 0.00     |
| P= 30 Mpa | 0.01  | 0.03     | 0.02     | -0.01    |



نمودار ۹-۷ : مقایسه مقادیر ضریب ژول – تامسون بین نتایج نرم افزار طراحی و نتایج مرجع [۳۷]

## کلکه فصل هفتم : نتایج آزمایشگاهی و نتایج عددی نرم افزار طراحی اریفیس و معتبرسازی آنها با نتایج تجربی

با مشاهده جدول (۱۴-۷) مشخص می‌شود که حداقل اختلاف بین مقادیر به دست آمده توسط مرجع [۳۷] و نتایج نرم افزار طراحی ۰.۳۹ درصد خطا و مربوط به دمای ۲۴۵ کلوین و فشار ۱.۰ مگاپاسکال می‌باشد. به طور کلی نتایج جداول (۱۲-۷) و (۱۳-۷) نزدیک به یکدیگر بوده و صحت نتایج خروجی نرم افزار را می‌رساند.

### ۴-۲-۴-۷- معتبر سازی با نتایج آزمایشگاهی

در مرجع [۳۸]، ارنست و همکاران برای محاسبه مقدار آنتالپی اقدام به اندازه‌گیری آزمایشگاهی ظرفیت حرارتی فشار ثابت  $C_p$  و ضریب ژول- تامسون  $\gamma_{JT}$  کردند. آنها از یگ گاز با ترکیبات  $X_{Ch_4} = 0.79942$  و  $X_{N_2} = 0.09939$  و  $X_{CO_2} = 0.02090$  و  $X_{C_2H_6} = 0.05029$  و  $X_{C_3H_8} = 0.030$  اعتبارسنجی نرم افزار طراحی اریفیس، نتایج خود را با نتایج آنها مقایسه می‌کنیم. ابتدا نتایج مربوط به اعتبارسنجی ظرفیت حرارتی فشار ثابت را مورد مقایسه و اعتبارسنجی قرار می‌دهیم.

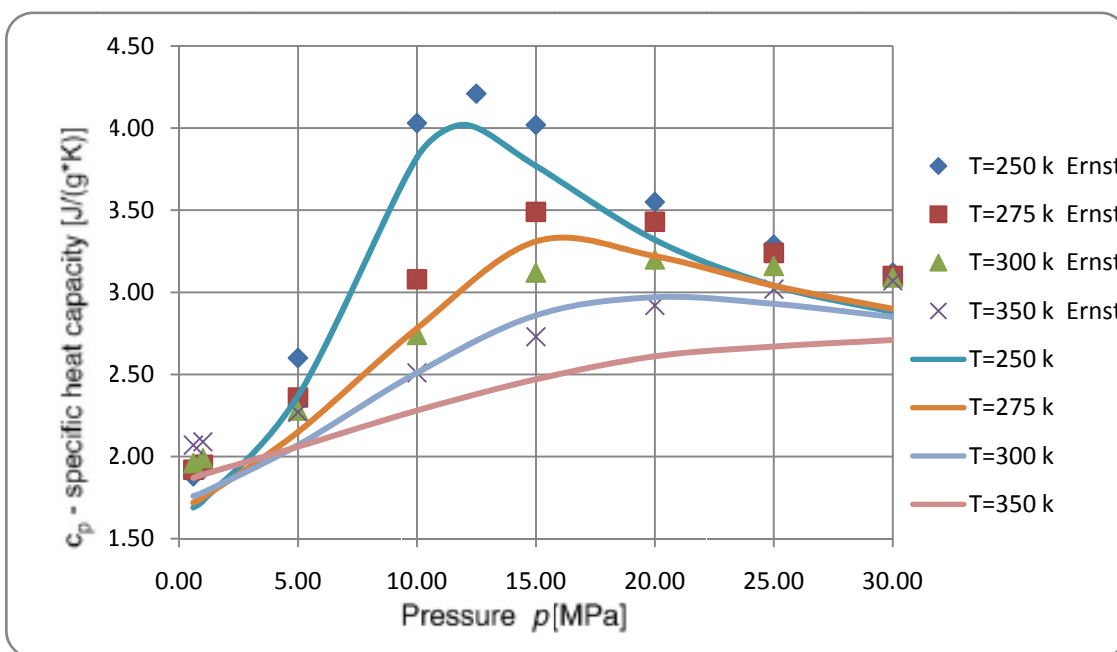
جدول ۱۵-۷ : نتایج ظرفیت حرارتی فشار ثابت به دست آمده توسط آزمایشات مرجع [۳۸]

|          | $C_p$ Ernst [kJ/(kg.k)] |      |      |      |
|----------|-------------------------|------|------|------|
|          | T= k                    | T= k | T= k | T= k |
| P= . Mpa | 1.88                    | 1.92 | 1.96 | 2.07 |
| P= Mpa   | 1.92                    | 1.95 | 1.99 | 2.09 |
| P= Mpa   | 2.60                    | 2.36 | 2.28 | 2.27 |
| P= Mpa   | 4.03                    | 3.08 | 2.74 | 2.51 |
| P= Mpa   | 4.02                    | 3.49 | 3.12 | 2.73 |
| P= Mpa   | 3.55                    | 3.43 | 3.20 | 2.92 |
| P= Mpa   | 3.29                    | 3.24 | 3.16 | 3.02 |
| P= Mpa   | 3.12                    | 3.10 | 3.09 | 3.07 |

**کاچه فصل هفتم : نتایج آزمایشگاهی و نتایج عددی نرم افزار طراحی اریفیس و معتبرسازی آنها با نتایج تجربی**

جدول ۱۶-۷ : نتایج ظرفیت حرارتی فشار ثابت به دست آمده توسط نرم افزار طراحی اریفیس

|          | $C_p \text{ Calculate [kj/(kg.k)]}$ |      |      |      |
|----------|-------------------------------------|------|------|------|
|          | T= k                                | T= k | T= k | T= k |
| P= . Mpa | 1.69                                | 1.72 | 1.76 | 1.87 |
| P= Mpa   | 1.73                                | 1.75 | 1.78 | 1.89 |
| P= Mpa   | 2.37                                | 2.15 | 2.07 | 2.06 |
| P= Mpa   | 3.82                                | 2.58 | 2.51 | 2.28 |
| P= Mpa   | 3.77                                | 3.31 | 2.86 | 2.47 |
| P= Mpa   | 3.32                                | 3.22 | 2.97 | 2.61 |
| P= Mpa   | 3.04                                | 3.04 | 2.93 | 2.67 |
| P= Mpa   | 2.88                                | 2.90 | 2.85 | 2.71 |



نمودار ۱۰-۷ : مقایسه مقادیر ظرفیت حرارتی فشار ثابت بین نتایج نرم افزار طراحی و نتایج مرجع [۳۸]

## کلکه فصل هفتم : نتایج آزمایشگاهی و نتایج عددی نرم افزار طراحی اریفیس و معتبرسازی آنها با نتایج تجربی

جدول ۱۷-۷ : اختلاف بین نتایج نرم افزار طراحی اریفیس و نتایج مرجع [۳۸]

|          | $(C_p \text{ Ernst} - C_p \text{ Calculate}) \quad [\text{kJ}/(\text{kg.k})]$ |      |      |      |
|----------|---|------|------|------|
|          | T= k  | T= k | T= k | T= k |
| P= . Mpa | 0.19  | 0.20 | 0.20 | 0.20 |
| P= Mpa   | 0.19  | 0.20 | 0.21 | 0.20 |
| P= Mpa   | 0.23  | 0.21 | 0.21 | 0.21 |
| P= Mpa   | 0.21  | 0.30 | 0.23 | 0.23 |
| P= Mpa   | 0.25  | 0.18 | 0.26 | 0.26 |
| P= Mpa   | 0.23  | 0.21 | 0.23 | 0.31 |
| P= Mpa   | 0.25  | 0.20 | 0.23 | 0.35 |
| P= Mpa   | 0.24  | 0.20 | 0.24 | 0.36 |

حداکثر اختلاف بین مقادیر حاصل از نرم افزار طراحی اریفیس و مقادیر آزمایشات مرجع [۳۸] در دمای

۳۵۰ کلوین و فشار ۳۰ مگاپاسکال ، [j/(gr.k)] می باشد که نشان دهنده تطابق مناسب بین نتایج

عددی و آزمایشگاهی بوده و اعتبار نتایج نرم افزار طراحی اریفیس را به اثبات می رساند. متوسط خطای  
بین نتایج حدود ۷ درصد می باشد.

جدول ۱۸-۷ : نتایج ضریب ژول - تامسون به دست آمده توسط آزمایشات مرجع [۳۸]

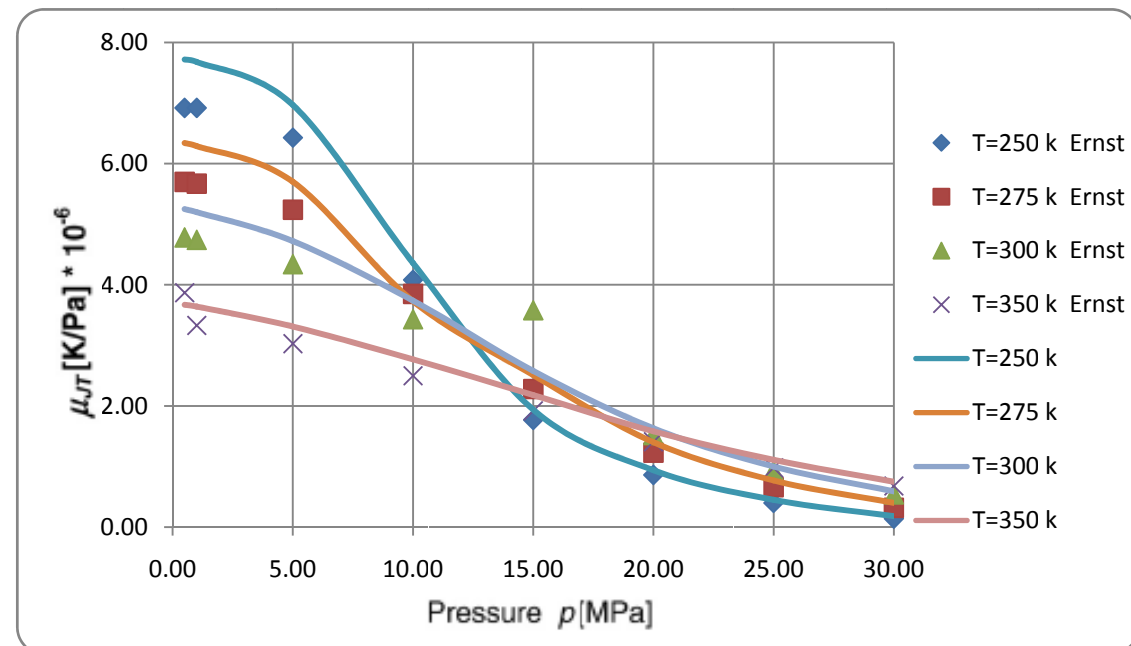
|          | $\mu_{JT \text{ Ernst}} \text{ (k/Mpa)}$ |      |      |      |
|----------|--|------|------|------|
|          | T= k                                     | T= k | T= k | T= k |
| P= . Mpa | 6.92                                     | 5.70 | 4.78 | 3.87 |
| P= Mpa   | 6.92                                     | 5.67 | 4.74 | 3.33 |
| P= Mpa   | 6.43                                     | 5.24 | 4.24 | 3.03 |
| P= Mpa   | 4.08                                     | 3.85 | 3.43 | 2.50 |
| P= Mpa   | 1.77                                     | 2.28 | 3.58 | 1.92 |
| P= Mpa   | 0.86                                     | 1.23 | 1.02 | 1.41 |
| P= Mpa   | 0.40                                     | 0.66 | 0.93 | 0.98 |
| P= Mpa   | 0.14                                     | 0.32 | 0.54 | 0.68 |

## کاگر فصل هفتم : نتایج آزمایشگاهی و نتایج عددی نرم افزار طراحی اریفیس و معتبرسازی آنها با نتایج تجربی

در این قسمت با توجه جداول (۱۸-۷) و (۱۹-۷) به مقایسه نتایج نرم افزار طراحی اریفیس برای پیش بینی ضریب ژول - تامسون در محدوده دمایی ۲۵۰ کلوین و محدوده فشاری ۰.۵ تا ۳۰ مگاپاسکال با نتایج آزمایشگاهی می پردازیم.

جدول ۱۹-۷ : نتایج ضریب ژول - تامسون به دست آمده توسط نرم افزار طراحی اریفیس

|          | μ <sub>JT</sub> Calculate (k/Mpa) |      |      |      |
|----------|-----------------------------------|------|------|------|
|          | T= k                              | T= k | T= k | T= k |
| P= . Mpa | ۷.۷۲                              | ۶.۳۴ | ۵.۲۵ | ۳.۶۷ |
| P= Mpa   | ۷.۶۸                              | ۶.۲۹ | ۵.۲  | ۳.۶۴ |
| P= Mpa   | ۶.۹۷                              | ۵.۷۰ | ۴.۷۲ | ۳.۳۱ |
| P= Mpa   | ۴.۳۶                              | ۳.۷۳ | ۳.۷۴ | ۲.۷۷ |
| P= Mpa   | ۱.۹۴                              | ۲.۵۱ | ۲.۵۸ | ۲.۱۸ |
| P= Mpa   | ۰.۹۴                              | ۱.۴۰ | ۱.۶۳ | ۱.۵۸ |
| P= Mpa   | ۰.۴۵                              | ۰.۷۷ | ۱.۰۰ | ۱.۱۱ |
| P= Mpa   | ۰.۱۸                              | ۰.۴۰ | ۰.۵۹ | ۰.۷۵ |



نمودار ۱۹-۷ : مقایسه مقادیر ضریب ژول - تامسون بین نتایج نرم افزار طراحی و نتایج مرجع [۳۸]

## کاگر فصل هفتم : نتایج آزمایشگاهی و نتایج عددی نرم افزار طراحی اریفیس و معتبرسازی آنها با نتایج تجربی

جدول ۷-۲۰ : اختلاف بین نتایج نرم افزار طراحی اریفیس و نتایج مرجع [۳۸]

|          | $(\mu_{JT\; Ernst} - \mu_{JT\; Calculate}) \; (k/Mpa)$ |       |       |       |
|----------|--|-------|-------|-------|
|          | T= k   | T= k  | T= k  | T= k  |
| P= . Mpa | -0.80  | -0.64 | -0.47 | 0.20  |
| P= Mpa   | -0.76  | -0.62 | -0.46 | -0.31 |
| P= Mpa   | -0.54  | -0.46 | -0.38 | -0.28 |
| P= Mpa   | -0.28  | 0.12  | -0.31 | -0.27 |
| P= Mpa   | -0.17  | -0.23 | 1.00  | -0.26 |
| P= Mpa   | -0.08  | -0.17 | -0.11 | -0.17 |
| P= Mpa   | -0.05  | -0.11 | -0.07 | -0.13 |
| P= Mpa   | -0.04  | -0.08 | -0.05 | -0.07 |

نتایج به دست آمده از نرم افزار طراحی اریفیس و آزمایشات ارنست برای ضریب ژول – تامسون به نظر همخوانی خوبی با یکدیگر دارند و این نیز می تواند دلیلی دیگر بر اعتبار روش AGA برای پیش بینی خواص گاز طبیعی باشد. از جدول (۷-۲۰) نیز مشخص است که حداقل اختلاف محاسبات ما نسبت به نتایج تجربی مرجع [۳۸] (k/Mpa) ۰.۸ و برای دمای ۲۵۰ کلوین و فشار ۵.۰ مگاپاسکال می باشد و با افزایش دما و فشار این اختلاف کم شده تا در ۳۵۰ کلوین و فشار ۳۰ مپا پاسکال به (k/Mpa) ۰.۰۷ می رسد.

## ۷-۵- نتایج آزمایشگاهی با گاز طبیعی شهر شاهروд

پس از اینکه از مقایسه نتایج نرم افزار طراحی اریفیس با نتایج تجربی و عددی دیگران، از صحت آنها مطمئن شدیم آنگاه یک سری آزمایشات تجربی بوسیله دستگاه لوله گردبادی با طول لوله گرم ۲۵۰ میلیمتر و قطر نازل ورودی جریان ۸ میلیمتر، برای گاز طبیعی شهر شاهرود به منظور محاسبه نرخ جرمی جریان عبوری از دستگاه و در محل یکی از ایستگاههای تقلیل فشار شهر انجام دادیم. بدین ترتیب که با کنترل فشار خط گاز بر روی عدد  $barg\; 6$  و با بستن تدریجی شیر خروجی جریان گرم در ۵ مرحله فشار

## کا<sup>ن</sup> فصل هفتم : نتایج آزمایشگاهی و نتایج عددی نرم افزار طراحی اریفیس و معتبرسازی آنها با نتایج تجربی

و دمای خروجی گرم و در نتیجه فشار و دمای خروجی سرد را تغییر می‌دادیم. اعداد مربوط به دما و فشار هر نقطه و اختلاف فشار مربوط به دو طرف اریفیس‌های جریان سرد و گرم با اتصالات نوع فلنج که بوسیله سنسورهای مربوطه اندازه‌گیری می‌شدند، توسط برنامه ACM به صورت داده‌های ۱۰۰ تایی در جداول Excel ذخیره می‌شدند.

هنگامی که در هر مرحله مقداری از شیر خروجی گرم را می‌بستیم، مدت زمانی را برای پایدار شدن جریان و از بین رفتن اثرات اغتشاش ایجاد شده به خاطر بسته شدن شیر، در نظر گرفته و پس از آن دو بار اقدام به ذخیره اطلاعات (۲۰۰ داده برای هر مرحله بستن شیر) می‌کردیم. این مدت زمان از روی زمان ثابت شدن اعداد نمایش داده شده در نمایشگر دیجیتال قابل استناد بود. سپس در پایان آزمایش برای وارد کردن مقادیر دما و فشار اختلاف فشار به عنوان ورودی در نرم‌افزار طراحی اریفیس جهت تخمین نرخ حرموی جریان، از این ۲۰۰ داده متوسط گیری کرده و عدد متوسط را وارد می‌کنیم. در زیر یک نمونه از داده‌های ۱۰۰ تایی را برای مرحله اول آزمایش که شیر کاملاً باز می‌باشد، آورده‌ایم.

جدول ۷-۲۱: یک نمونه نتایج اندازه‌گیری شده در آزمایشات انجام گرفته در ایستگاه تقلیل فشار شاهروд

| T in<br>(C) | T cold<br>(C) | T hot<br>(C) | P hot<br>(Barg) | P in<br>(Barg) | DP cold<br>(Pa) | DP hot<br>(Pa) |
|-------------|---------------|--------------|-----------------|----------------|-----------------|----------------|
| ۳۱.۳        | ۲۸.۱          | ۳۴.۲         | ۱.۶۶            | ۶.۰۱           | ۱۴۰             | ۱۳۹            |
| ۳۱.۳        | ۲۷.۸          | ۳۴.۱         | ۱.۶۶            | ۶.۰۲           | ۱۴۰             | ۱۳۹            |
| ۳۱.۲        | ۲۸.۴          | ۳۴.۱         | ۱.۶۴            | ۶.۰۱           | ۱۴۰             | ۱۳۹            |
| ۳۱.۳        | ۲۸.۱          | ۳۳.۹         | ۱.۶۶            | ۶.۰۰۵          | ۱۴۰             | ۱۳۹            |
| ۳۱.۳        | ۲۸.۳          | ۳۳.۸         | ۱.۶۵            | ۶.۰۰۲          | ۱۴۰             | ۱۳۹            |
| ۳۱.۱        | ۲۸.۳          | ۳۴.۱         | ۱.۶۵            | ۰.۹۸           | ۱۴۳             | ۵۳             |
| ۳۱.۴        | ۲۸.۴          | ۳۳.۸         | ۱.۶۴            | ۰.۹۷           | ۱۴۳             | ۵۳             |
| ۳۱.۲        | ۲۸.۶          | ۳۴.۲         | ۱.۶۳            | ۶.۰۰۳          | ۱۴۳             | ۵۳             |
| ۳۱.۱        | ۲۸.۴          | ۳۴.۱         | ۱.۶۴            | ۰.۹۷           | ۱۴۳             | ۵۳             |
| ۳۰.۳        | ۲۷.۴          | ۳۳.۵         | ۱.۶             | ۰.۸۲           | ۹۷              | ۵۰             |
| ۳۰.۲        | ۲۷.۳          | ۳۳.۶         | ۱.۶             | ۰.۸۲           | ۹۷              | ۵۰             |

**کاکه فصل هفتم : نتایج آزمایشگاهی و نتایج عددی نرم افزار طراحی اریفیس و معتبرسازی آنها با نتایج تجربی**

ادامه جدول ۲۱-۷ : یک نمونه نتایج اندازه‌گیری شده در آزمایشات انجام گرفته در ایستگاه تقلیل فشار شاهرود

| T in<br>(C) | T cold<br>(C) | T hot<br>(C) | P hot<br>(Barg) | P in<br>(Barg) | DP cold<br>(Pa) | DP hot<br>(Pa) |
|-------------|---------------|--------------|-----------------|----------------|-----------------|----------------|
| ۳۱.۱        | ۲۸.۳          | ۳۴           | ۱.۶۴            | ۰.۹۶           | ۱۰              | ۴۵             |
| ۳۱.۱        | ۲۷.۸          | ۳۴.۲         | ۱.۶۳            | ۰.۹۶           | ۱۰              | ۴۵             |
| ۳۱.۱        | ۲۸            | ۳۴.۱         | ۱.۶۳            | ۰.۹۳           | ۱۰              | ۴۵             |
| ۳۱.۲        | ۲۸.۴          | ۳۳.۹         | ۱.۶۳            | ۰.۹۳           | ۷۲              | ۱۰۹            |
| ۳۱.۲        | ۲۸.۲          | ۳۴.۱         | ۱.۶۲            | ۰.۹۲           | ۷۲              | ۱۰۹            |
| ۳۱          | ۲۸.۳          | ۳۳.۹         | ۱.۶۲            | ۰.۹۲           | ۷۲              | ۱۰۹            |
| ۳۱.۱        | ۲۸.۱          | ۳۴.۱         | ۱.۶۲            | ۰.۹۳           | ۷۲              | ۱۰۹            |
| ۳۱.۲        | ۲۸.۱          | ۳۴.۱         | ۱.۶۲            | ۰.۹۲           | ۷۲              | ۱۰۹            |
| ۳۱.۱        | ۲۸.۲          | ۳۳.۹         | ۱.۶۱            | ۰.۹۱           | ۷۲              | ۱۰۹            |
| ۳۱.۱        | ۲۸.۲          | ۳۴.۲         | ۱.۶۲            | ۰.۹۲           | ۱۱۲             | ۵۸             |
| ۳۱.۱        | ۲۸.۲          | ۳۴.۲         | ۱.۶۲            | ۰.۹۲           | ۱۱۲             | ۵۸             |
| ۳۱.۱        | ۲۸.۲          | ۳۳.۸         | ۱.۶۲            | ۰.۹۰           | ۱۱۲             | ۵۸             |
| ۳۱.۱        | ۲۸.۲          | ۳۳.۷         | ۱.۶۱            | ۰.۹۱           | ۱۱۲             | ۵۸             |
| ۳۱.۱        | ۲۷.۹          | ۳۴.۱         | ۱.۶۱            | ۰.۸۹           | ۱۱۲             | ۵۸             |
| ۳۱.۱        | ۲۸.۲          | ۳۳.۹         | ۱.۶۱            | ۰.۸۹           | ۵۲              | ۹۲             |
| ۳۰.۹        | ۲۸            | ۳۳.۸         | ۱.۶۱            | ۰.۸۷           | ۵۲              | ۹۲             |
| ۳۰.۹        | ۲۷.۹          | ۳۳.۹         | ۱.۶۱            | ۰.۸۷           | ۵۲              | ۹۲             |
| ۳۰.۹        | ۲۷.۹          | ۳۳.۸         | ۱.۶             | ۰.۸۷           | ۵۲              | ۹۲             |
| ۳۱          | ۲۸            | ۳۳.۸         | ۱.۶             | ۰.۸۷           | ۵۲              | ۹۲             |
| ۳۰.۹        | ۲۸.۱          | ۳۴.۳         | ۱.۶۱            | ۰.۸۶           | ۵۲              | ۹۲             |
| ۳۰.۸        | ۲۷.۷          | ۳۳.۹         | ۱.۶۱            | ۰.۸۶           | ۹۲              | ۴۱             |
| ۳۰.۹        | ۲۷.۹          | ۳۳.۷         | ۱.۶             | ۰.۸۵           | ۹۲              | ۴۱             |
| ۳۰.۹        | ۲۸.۱          | ۳۳.۶         | ۱.۶             | ۰.۸۶           | ۹۲              | ۴۱             |
| ۳۰.۸        | ۲۷.۸          | ۳۳.۸         | ۱.۶             | ۰.۸۶           | ۹۲              | ۴۱             |
| ۳۰.۷        | ۲۷.۸          | ۳۴           | ۱.۶             | ۰.۸۵           | ۹۲              | ۴۱             |
| ۳۰.۷        | ۲۸.۱          | ۳۴           | ۱.۶             | ۰.۸۶           | ۹۲              | ۴۱             |
| ۳۰.۸        | ۲۷.۹          | ۳۳.۸         | ۱.۶             | ۰.۸۶           | ۹۲              | ۴۱             |
| ۳۰.۷        | ۲۷.۷          | ۳۳.۹         | ۱.۶             | ۰.۸۵           | ۶۲              | ۹۵             |
| ۳۰.۷        | ۲۷.۸          | ۳۴           | ۱.۶             | ۰.۸۵           | ۶۲              | ۹۵             |
| ۳۰.۶        | ۲۷.۶          | ۳۳.۹         | ۱.۵۹            | ۰.۸۵           | ۶۲              | ۹۵             |
| ۳۰.۷        | ۲۷.۷          | ۳۳.۷         | ۱.۵۹            | ۰.۸۴           | ۶۲              | ۹۵             |
| ۳۰.۷        | ۲۷.۸          | ۳۳.۶         | ۱.۶             | ۰.۸۴           | ۶۲              | ۹۵             |
| ۳۰.۵        | ۲۷.۷          | ۳۳.۷         | ۱.۶             | ۰.۸۵           | ۶۳              | ۱۴۸            |
| ۳۰.۶        | ۲۷.۸          | ۳۳.۹         | ۱.۶             | ۰.۸۴           | ۶۳              | ۱۴۸            |
| ۳۰.۷        | ۲۷.۵          | ۳۳.۶         | ۱.۶             | ۰.۸۴           | ۶۳              | ۱۴۸            |
| ۳۰.۶        | ۲۷.۹          | ۳۳.۷         | ۱.۶             | ۰.۸۴           | ۶۳              | ۱۴۸            |
| ۳۰.۵        | ۲۷.۷          | ۳۳.۸         | ۱.۵۹            | ۰.۸۲           | ۶۳              | ۱۴۸            |
| ۳۰.۷        | ۲۷.۶          | ۳۳.۶         | ۱.۵۹            | ۰.۸۴           | ۷۴              | ۸۸             |

## کاچ فصل هفتم : نتایج آزمایشگاهی و نتایج عددی نرم افزار طراحی اریفیس و معتبرسازی آنها با نتایج تجربی

ادامه جدول ۲۱-۷ : یک نمونه نتایج اندازه‌گیری شده در آزمایشات انجام گرفته در ایستگاه تقلیل فشار شاهروд

| T in<br>(C) | T cold<br>(C) | T hot<br>(C) | P hot<br>(Barg) | P in<br>(Barg) | DP cold<br>(Pa) | DP hot<br>(Pa) |
|-------------|---------------|--------------|-----------------|----------------|-----------------|----------------|
| ۳۰.۵        | ۲۷.۶          | ۳۳.۷         | ۱.۰۹            | ۰.۸۲           | ۶۶              | ۲۸             |
| ۳۰.۶        | ۲۷.۷          | ۳۳.۶         | ۱.۶             | ۰.۸۴           | ۶۶              | ۲۸             |
| ۳۰.۵        | ۲۷.۶          | ۳۳.۷         | ۱.۶             | ۰.۸۲           | ۶۶              | ۲۸             |
| ۳۰.۵        | ۲۷.۶          | ۳۳.۸         | ۱.۰۹            | ۰.۸۴           | ۶۶              | ۲۸             |
| ۳۰.۵        | ۲۷.۵          | ۳۳.۸         | ۱.۶             | ۰.۸۲           | ۶۶              | ۲۸             |
| ۳۰.۳        | ۲۷.۵          | ۳۳.۶         | ۱.۶             | ۰.۸۲           | ۶۶              | ۲۸             |
| ۳۰.۴        | ۲۷.۵          | ۳۳.۶         | ۱.۶             | ۰.۸۲           | ۶۶              | ۲۸             |
| ۳۰.۴        | ۲۷.۵          | ۳۳.۶         | ۱.۰۹            | ۰.۸۲           | ۲۶              | ۳۰             |
| ۳۰.۵        | ۲۷.۵          | ۳۳.۷         | ۱.۰۹            | ۰.۸۴           | ۲۶              | ۳۰             |
| ۳۰.۳        | ۲۷.۶          | ۳۳.۹         | ۱.۶۰            | ۰.۸۲           | ۲۶              | ۳۰             |
| ۳۰.۵        | ۲۷.۵          | ۳۳.۶         | ۱.۶۰            | ۰.۸۲           | ۲۶              | ۳۰             |
| ۳۰.۴        | ۲۷.۵          | ۳۳.۷         | ۱.۰۹            | ۰.۸۴           | ۲۶              | ۳۰             |
| ۳۰.۴        | ۲۷.۲          | ۳۳.۸         | ۱.۰۹            | ۰.۸۴           | ۲۶              | ۳۰             |
| ۳۰.۴        | ۲۷.۴          | ۳۳.۷         | ۱.۶۰            | ۰.۸۲           | ۹               | ۷۰             |
| ۳۰.۳        | ۲۷.۴          | ۳۳.۵         | ۱.۵۸            | ۰.۸۲           | ۹               | ۷۰             |
| ۳۰.۳        | ۲۷.۲          | ۳۳.۴         | ۱.۰۹            | ۰.۸۲           | ۹               | ۷۰             |
| ۳۰.۲        | ۲۷.۷          | ۳۳.۸         | ۱.۰۹            | ۰.۸۲           | ۹               | ۷۰             |
| ۳۰.۳        | ۲۷.۶          | ۳۳.۴         | ۱.۰۹            | ۰.۸۲           | ۹۷              | ۵۰             |

نتایج متوسط‌گیری برای تمام مراحل بسته شدن شیر انجام شده و در جدول (۲۲-۷) نتایج آورده شده

است.

جدول ۷ : نتایج متوسط‌گیری برای پارامترهای اندازه‌گیری شده

| T in<br>(C) | T cold<br>(C) | T hot<br>(C) | P hot<br>(Barg) | P in<br>(Barg) | DP cold<br>(Pa) | DP hot<br>(Pa) |
|-------------|---------------|--------------|-----------------|----------------|-----------------|----------------|
| ۳۰.۳        | ۲۷.۳          | ۳۲.۴         | ۱.۶۰            | ۰.۸۶           | ۶۷              | ۵۶             |
| ۲۹.۲        | ۲۶.۱          | ۳۲.۵         | ۱.۶۲            | ۰.۹۱           | ۶۰              | ۵۹             |
| ۲۸.۹        | ۲۵.۸          | ۳۱.۹         | ۱.۶۵            | ۰.۹۲           | ۶۸              | ۵۰             |
| ۲۸.۹        | ۲۶.۳          | ۳۲.۰         | ۲.۰۳            | ۰.۹۲           | ۸۹              | ۳۵             |
| ۲۸.۷        | ۲۷.۷          | ۳۲.۶         | ۳.۱۷            | ۰.۹۲           | ۲۲۳             | ۳              |

## کاگر فصل هفتم : نتایج آزمایشگاهی و نتایج عددی نرم افزار طراحی اریفیس و معتبرسازی آنها با نتایج تجربی

فشار خروجی جریان سرد در طول آزمایش در حدود  $1 \text{ barg}$  ثابت می‌ماند. برای نقاط به دست آمده از آزمایش پس از متوسط‌گیری، نرخ جرمی جریان‌های خروجی سرد و گرم را محاسبه می‌کنیم و نتایج در جدول (۲۳-۷) ذکر شده است.

جدول ۲۳-۷ : مقایسه نتایج نرخ جرمی جریان توسط سه نرم‌افزار طراحی اریفیس ، Meter calc و Flow Orifice

|    | T in (C) | P* in (Bara) | DP (pa) | m dot Calculate (kg/s) | m dot Flow Orifice (kg/s) | m dot Meter Calc (kg/s) |
|----|----------|--------------|---------|------------------------|---------------------------|-------------------------|
| ۱  | ۲۶       | ۲۶.۱         | ۱.۱۰    | ۰.۰۰۲۹۴                | ۰.۰۰۳۰۰                   | ۰.۰۰۲۹۰                 |
| ۲  |          | ۲۷.۳         | ۱.۱۰    | ۰.۰۰۳۰۹                | ۰.۰۰۳۰۰                   | ۰.۰۰۳۰۶                 |
| ۳  |          | ۲۵.۸         | ۱.۱۰    | ۰.۰۰۳۱۳                | ۰.۰۰۳۰۰                   | ۰.۰۰۳۰۹                 |
| ۴  |          | ۲۶.۳         | ۱.۱۰    | ۰.۰۰۳۵۶                | ۰.۰۰۴۰۰                   | ۰.۰۰۳۵۲                 |
| ۵  |          | ۲۷.۷         | ۱.۱۰    | ۰.۰۰۵۵۹                | ۰.۰۰۶۰۰                   | ۰.۰۰۵۵۲                 |
| ۶  | ۳۲       | ۳۲.۵         | ۲.۶۲    | ۰.۰۰۴۴۳                | ۰.۰۰۴۰۰                   | ۰.۰۰۴۳۷                 |
| ۷  |          | ۳۳.۴         | ۲.۶۴    | ۰.۰۰۴۲۹                | ۰.۰۰۴۰۰                   | ۰.۰۰۴۲۴                 |
| ۸  |          | ۳۱.۹         | ۲.۶۵    | ۰.۰۰۴۱۱                | ۰.۰۰۴۰۰                   | ۰.۰۰۴۰۶                 |
| ۹  |          | ۳۲.۰         | ۳.۰۳    | ۰.۰۰۳۶۸                | ۰.۰۰۴۰۰                   | ۰.۰۰۳۶۳                 |
| ۱۰ |          | ۳۲.۶         | ۴.۱۷    | ۰.۰۰۲۳۳                | ۰.۰۰۲۰۰                   | ۰.۰۰۲۲۹                 |

\*: فشار به صورت مطلق می‌باشد.

از نتایج جدول (۲۳-۷) در می‌یابیم که اختلاف نتایج نرم‌افزار طراحی با نتایج نرم‌افزار Meter Calc در حدود ۱.۲ درصد می‌باشد و نشان دهنده اعتبار نتایج نرم‌افزار تدوین شده برای طراحی اریفیس می‌باشد.

## فصل هشتم

نتیجه‌گیری و ارائه پیشنهادات

## ۱-۸- جمع‌بندی

از آنجا که معادله حالت AGA8 مناسبترین معادله حالت برای گاز طبیعی می‌باشد، لذا در این پژوهه با کمک معادله حالت AGA8 که اثر عناصر مختلف موجود در مخلوط گاز طبیعی با درصد مولی‌های متفاوت را در نظر می‌گیرد، به پیش‌بینی خواص ترمودینامیکی گاز طبیعی پرداخته‌ایم و با نرم افزاری که به همین منظور تدوین شده است، جداول و نمودارهای خواص مختلف گاز پالایشگاه خانگیران را رسم کرده‌ایم.

نمودار تراکم‌پذیری گاز (۲-۷)، نشان می‌دهد که در فشارهای پایین، مقدار Z افزایش یافته و این مقدار به عدد ۱ نزدیک می‌شود، که این مسأله بدلیل نزدیک شدن شرایط گاز طبیعی به گاز ایده‌آل در فشارهای پایین اتفاق می‌افتد. پابن آمدن فشار، باعث کاهش نبروهای رباش بین ذرات  $\text{A}$  و  $\text{Z}$  و همچنین کاهش تعداد برخوردهای ذرات در مخلوط گاز شده، باتوجه به اینکه در مدل AGA8 اثر این نوع برخوردها و نبروهای حاصله در نظر گرفته می‌شود، متعاقب این کاهش، افزایش Z را بدبال خواهد داشت.

با افزایش فشار تا حدود ۱۵ مگاپاسکال به دلیل زیاد شدن سرعت برخورد ذرات، کاهش Z اتفاق می‌افتد، اما بعد از آن در دمای ثابت با افزایش فشار، Z شروع به افزایش می‌کند. زیرا با افزایش بیشتر فشار، تعداد برخوردهای بین ذره‌ای در مخلوط گاز به دلیل تراکم زیاد ذرات افزایش می‌یابد اما مقدار تأثیری که افزایش تعداد برخوردهای بین ذره‌ای بر روی مقدار Z می‌گذارند کمتر از مقدار تأثیری است که افزایش نیروهای رانش بین ذره‌ای بر روی مقدار Z اعمال می‌کنند. بنابراین از جمله نکات مهم قابل استنتاج از نمودارها وابستگی شدید مقدار ضربیت تراکم‌پذیری به تغییرات فشار می‌باشد.

با بررسی نمودار توان آیزنتروپیک (۵-۷)، به روالی منطقی برای تغییرات K می‌رسیم. دما و فشار بحرانی برای گاز طبیعی حوزه خانگیران حدود ۱۹۵ کلوین و ۴,۵ مگاپاسکال بوده و محدوده دمایی نمودارها از دمای ۲۵۰ کلوین که بالاتر از دمای بحرانی می‌باشد، شروع شده است.

از نقطه نظر فیزیکی گاز طبیعی حوزه خانگیران در فشارهای بالاتر از فشار بحرانی و در محدوده دمایی ۲۵۰ تا ۳۵۰ کلوین به صورت بخار سوپرهیت درآمده و در این حالت انحراف از رفتار گاز ایده آل زیاد می‌باشد. در فشارهای پایین‌تر از فشار بحرانی بدون توجه به دما، گاز طبیعی رفتاری مطابق گاز ایده‌آل از

خود نشان می‌دهد و توان آیزنتروپیک از رابطه  $k = \frac{C_p}{C_v}$  به دست می‌آید.

با کم شدن دما در فشار ثابت، چگالی گاز و نیروهای ریاضی بین مولکولها زیاد شده و رفتار ماده از گاز ایده‌آل انحراف پیدا می‌کند. از روی معادله حالت نیز می‌توان دریافت که با کم شدن دما، مقدار عددی

$\left( \frac{\partial P}{\partial v_m} \right)_T$  کاهش و با دقت در رابطه  $(60-3)$ ، در نتیجه مقدار  $\kappa$  افزایش می‌یابد.

با استفاده از ضریب ژول-تمسون می‌توانیم تعیین کنیم که یک گاز در اثر انبساط، افت دما یا افزایش دما دارد. گازهای کامل دارای ضریب ژول تامسون صفر می‌باشند زیرا طبق تعریف گاز کامل گازی است که نیروهای بین مولکولی آن صفر است لذا تراکم و انبساط گاز که باعث تغییر فاصله مولکول‌ها می‌شود انرژی درونی سیستم را تغییر نمی‌دهد. بنابراین تغییرات گرمایی حاصل نمی‌شود. ولی در گازهای حقیقی این ضریب عددی است مثبت یا منفی بودن آن بر حسب نوع گاز تابع دما و فشاری است که بر گاز اعمال می‌شود.

برای هر گاز یک نقطه معکوس وجود دارد که به دما و فشار وابسته است. زمانیکه ضریب ژول-تمسون مثبت است انبساط گاز موجب سردشدن و تراکم گاز موجب گرم شدن آن می‌شود. زیرا مثبت بودن نشان از هم‌جهت بودن دما و فشار دارد. زمانیکه ضریب ژول تامسون منفی باشد و فشار سیال از فشار نقطه معکوس بیشتر باشد، انبساط موجب گرم شدن گاز می‌شود تا زمانی که روی خط آنتالپی ثابت به نقطه معکوس برسیم. پس از آن دمای گاز کاهش یافته تا به دمای اولیه قبل از انبساط می‌رسد و سپس دما رو به کاهش بیشتر می‌رود. زمانیکه ضریب ژول تامسون منفی باشد، تراکم گاز باعث کاهش دما می‌شود.

از نمودار ضریب ژول- تامسون (۷-۷)، به این نتیجه می‌رسیم که با افزایش فشار در دمای ثابت مقدار این خاصیت کاهش یافته و در فشار ثابت نیز با کاهش دما ، افزایش می‌یابد. طبق کار ماریک [۳۷]، اگر اختلاف فشار دو طرف اریفیس خیلی پایین باشد، اثر ضریب ژول - تامسون و تغییرات دمای سیال ناچیز است و می‌توان از آن صرفنظر کرد ولی در اختلاف فشارهای بالاتر و نیز دماهای پایین‌تر، این اثر بیشتر ظاهر شده و تغییرات دما قابل توجه می‌شود. بنابراین منطقی است که برای اختلاف فشارهای کمتر از  $Kpa$  ۱۰۰، ضریب ژول - تامسون را در بالادست و پایین دست اریفیس یکسان فرض کنیم.

هدف از تعیین ضریب ژول- تامسون به دست آوردن تغییرات دمای سیال پس از فرایند انبساط ژول- تامسون است که در وسایل اندازه‌گیری نرخ جریان به کمک اختلاف فشار با آن مواجه می‌شویم. برای این امر، ابتدا از رابطه (۳-۳) مقدار  $C_{m,p}$  و سپس از رابطه (۳-۶) مقدار ضریب ژول- تامسون را مشخص کرده و با داشتن مقدار اختلاف فشار پس از وسیله اندازه‌گیری (اریفیس) و استفاده از از رابطه (۴-۱۰) افت فشار دائمی سیستم را محاسبه کرده و با قرار دادن در رابطه (۴-۵) تغییرات دمای سیال پس از عبور از وسیله اندازه‌گیری اختلاف فشاری معین می‌شود.

مقایسه نتایج نرم افزار طراحی اریفیس با نتایج عددی مراجع [۳۲] و [۳۷] با حداکثر خطای ۲.۹ درصد، همخوانی مناسب نتایج با یکدیگر را نشان می‌دهند. خطای متوسط نتایج، به مرتب کمتر از حداکثر خطای می‌باشد.

همچنین نتایج آزمایشگاهی مرجع [۳۸] نیز با درصد خطای قابل قبولی با نتایج نرم افزار طراحی اریفیس مطابقت دارد که نشان دهنده صحت و اعتبار روش پیش‌بینی خواص ترمودینامیکی می‌باشد. در مرحله بعد برای جریان سنج اریفیس متر با اتصالات فشاری نوع فلنچ با گاز شهر شاهروд با فشار ۶ barg به کار آزمایشگاهی پرداختیم و دما و فشار و اختلاف فشار هر لحظه را به کمک سنسورهای مربوطه

اندازه‌گیری کرده و نتایج متوسط‌گیری را به عنوان ورودی، وارد کرده و از خروجی نرمافزار ، نرخ جرمی جریان را دریافت می‌کنیم.

با مقایسه نتایج نرخ جرمی جریان محاسبه شده توسط نرمافزار طراحی اریفیس با نرمافزارهای دیگر در می‌یابیم که اختلاف نتایج ما با نرم افزار Meter Calc که نرمافزار گران قیمتی می‌باشد، کمتر از ۱.۲ درصد می‌باشد. که نمایانگر مورد اعتماد بودن روش محاسبه و همچنین نرمافزار مورد استفاده می‌باشد.

## ۲-۸- ارائه پیشنهادات

یکی از نکاتی که می‌توان برای تحقیقات آینده بدان اشاره کرد، مقایسه خواص ترمودینامیکی به دست آمده برای گاز طبیعی از روش AGA8 با خواص به دست آمده با سایر معادلات حالت مناسب برای مخلوط گاز طبیعی مانند Peng- Rabinson می‌باشد و اینکه اختلاف نتایج تا چه اندازه می‌تواند بر کارکردهای مختلف، به عنوان مثال در محاسبه نرخ جرمی جریان تأثیر بگذارد. و نیز می‌توان با استفاده از روش AGA8 به محاسبه سایر خواص ترمودینامیکی مخلوط از جمله آنتالپی، انتروپی و انرژی داخلی پرداخت.

در ایستگاه‌های تقلیل فشار درون شهری (T.B.S) که به منظور تقلیل فشار از متوسط به ضعیف و نیز در ایستگاه‌های تقلیل فشار ورودی شهری (C.G.S) که جهت تقلیل فشار از قوی به متوسط کاربرد دارند و دامنه تغییرات مصرف آنها (Rangeability) در محدوده ۳ به ۱ می‌باشد، می‌توان از اریفیس متر برای اندازه‌گیری حجم گاز عبوری از خط انتقال گاز استفاده کرد. همچنین اریفیس متر برای اندازه‌گیری حجم گاز جهت تزریق در سر چاههای نفت می‌تواند مورد کاربرد قرار بگیرد.

در نهایت این نکته باید ذکر گردد که می‌توان با توسعه نرمافزار، آن را برای محاسبات مربوط به گلوگاه‌های نازل‌دار و لوله ونتوری تکمیل کرد.



**Shahrood University of Technology  
Faculty of Mechanical Engineering**

**Title:  
Develop the designinig accurate orifice software  
and making an experimental prototype**

**by:  
Yoones Bayat**

**Supervisors:  
Dr. Mahmood Farzaneh Gord  
Dr. Shahram Hashemi Marghzar**

**January 2009**

# **مراجعة**

۱. Preobrazhensky V., (۱۹۸۰)" *Measurements & instrumentation in heat engineering*" ,Volume I, Mir, Moscow.
۲. www.research.nigc.ir, (۱۳۸۶) "در اندازه گیری جریان گاز کدام جریان سنج را انتخاب کنیم"
۳. حمید ربانی ،(۱۳۸۳)، "اندازه گیری جریان سیالات " چاپ اول ، آموزش و بهسازی نیروی انسانی شرکت ملی گاز ایران ، صفحه ۴.
۴. نادر سليمي ، (۱۳۸۳)، "اثرات وضعیت نصب بر عملکرد دستگاههای اندازه گیری جریان" ، چاپ اول آموزش و بهسازی نیروی انسانی شرکت ملی گاز ایران.
۵. Kim B. C, Pak B. C, Cho N. H, (۱۹۹۷)" Effect of cavitation and plate thickness on small diameter ratio orifice meters" *J.of Flow Measurement and Instrumentation* ,vol ۸,pp ۱۵-۹۲.
۶. Simpson H.R,(۱۹۸۶)"Cavitation in shipboard sea water cooling system" *Cavitation and multiphase flow forum*, vol ۳۶, ASME, New York ,pp ۵۴-۵۷.
۷. Kamiyama S. ,Yamasaki T. (۱۹۸۶)"Critical condition of cavitation occurrence in various liquids" *J of Fluid engineering* ,vol ۱۰۸, pp ۴۲۸-۴۳۲.
۸. Oba R., Ikohagi T., Kim K.T. (۱۹۸۲)"Cavitation in an extremely limited flow through very small orifices" *j.of Fluid engineering* ,vol ۱۰۴, pp ۹۴-۹۸.
۹. Stearns R.F, Johnson R.R, Jackson R.M, Larson C.A,(۱۹۵۱) "Flow Measurement with Orifice Meters", *D. Van Nostrand Co., Inc., N.J.*
۱۰. Spitzer D.W,(۱۹۹۱) " Flow Measurement—practical guides for measurement and control", *Instrument Society of America, North California (USA)*, p. ۴۴۳.

۱۱. Puri J.S, Singh S.N, Seshadri V., Sanghi S.,(۲۰۰۱)” Performance of an Adjustable Orifice Meter with Conical body”, *ISME Conference, Cresent Eng. College, pp. ۴۹۰-۴۹۶.*
۱۲. Puri J.S, Singh S.N, Seshadri V., Sanghi S.,(۲۰۰۳)” Feasibility of Designing an Adjustable Annular Orifice using CFD”, *۲۷<sup>th</sup> National Conference of Fluid Mechanics and Fluid Power, pp. ۲۸۶-۲۹۱.*
۱۳. Sondh H.S, Singh S.N, Seshadri V, Gandhi B.K , (۲۰۰۲) “Design and development of variable area orifice meter” *j. of Flow Measurement and Instrumentation ۱۳, pp ۶۹-۷۳.*
۱۴. Gopel W. , Hesse J., Zemel N, (۱۹۹۴) “*Sensors—A comprehensive survey*” Mechanical Sensors, vol. ۱, VCH Publishers Inc. New York .
۱۵. Gee, D., Bryzek, J. (۱۹۹۵) “*New generation of disposable blood pressure transducers*”,pp.۸۹-۹۴, Proceedings ۷th International Exhibition with Congress for Sensors, Transducers and Systems Sensor ۹۵, Nurnberg.
۱۶. Belavič D., Soba S., Pavlin M., Ročak D. , Hrovat M. (۱۹۹۸), “Silicon pressure sensors with a thick film periphery”, *Microelectronics International Vol ۱۵ , No ۳, pp ۲۶-۳۰.*
۱۷. Krassow H., Campabadal F., Lora-Tamayo E. (۱۹۹۸)” The smart-orifice meter: a mini head meter for volume flow measurement” *j.of Flow Measurement and Instrumentation, Vol ۱۰ ,pp ۱۰۹-۱۱۵.*
۱۸. Miller R.W.,(۱۹۸۹)” *Flow Measurement Engineering Handbook*”, ۲<sup>nd</sup> ed. McGraw-Hill, London.

١٩. Branch J.C., (١٩٩٥) "The effects of an upstream short radius elbow and pressure tap location on orifice discharge coefficients", *j of Flow Measurement and Instrumentation*, Vol ٦ , pp ١٥٧–١٦٢.
٢٠. Zimmermann H., (١٩٩٩) "Examination of disturbed pipe flow and its effects on flow measurement using orifice plates", *j of Flow Measurement and Instrumentation*, Vol ١٠ , pp ٢٢٣–٢٤٠.
٢١. Laws E.M., Ouazzane A.K., (١٩٩٠) "Flow conditioner, a new development" *Flow Measurement and Instrumentation*, Vol ١ ,pp ١٦٥–١٧٠.
٢٢. Beck S.B.M, Mazille J., (٢٠٠١) "A study of a pressure differential flow meter that is insensitive to inlet conditions" *j.of Flow Measurement and Instrumentation*, Vol ١٢ , pp ٣٧٩–٣٨٤.
٢٣. Morrison Gerald L., Terracina Dwayne, Brewer Carl, Hall K.R.,(٢٠٠١) "Response of a slotted orifice flow meter to an air/water mixture" *j of Flow Measurement and Instrumentation*, vol ١٢ ,pp ١٧٥–١٨٠..
٢٤. Oliveira Jorge L. G., Passos Júlio César, Ruud Verschaeren, Cees van der Geld, (٢٠٠٨)" Mass flow rate measurements in gas–liquid flows by means of a venturi or orifice plate coupled to a void fraction sensor" *Experimental Thermal and Fluid Science*.
٢٥. Steven R.N.,(٢٠٠٢)"Wet gas metering with a horizontally mounted Venturi meter" *Flow Measurement and Instrumentation*, Vol ١٢ ,pp ٣٦١–٣٧٢.

۲۶. Lin Z.H , (۱۹۸۶) " *Two-phase flow measurement with orifices*" Chap. ۲۹ in: Encyclopedia of Fluid Mechanics, Xian Jiao-Tong University, Xian, The People's Republic of China.
۲۷. Geng Y., Zheng J., Shi T., (۲۰۰۶) "Study on the metering characteristics of a slotted orifice for wet gas flow" *J of Flow Measurement and Instrumentation Vol ۱۷*, pp ۱۲۳-۱۲۸.
۲۸. ISO ۵۱۶۷-۲" *Measurement of fluid flow by means of differential devices inserted in circular cross-section conduits running full\_ Part۲:Orifice Plates*", Ref. No. ISO-۵۱۶۷-۲:۲۰۰۳(E). ISO; ۲۰۰۳(E).
۲۹. Maric Ivan, (۲۰۰۷) " A procedure for the calculation of the natural gas molar heat capacity, the isentropic exponent, and the Joule–Thomson coefficient" *Flow Measurement and Instrumentation , Vol ۱۸*, pp ۱۸-۲۶.
۳۰. AGA ۸" *Compressibility and super compressibility for natural gas and other hydrocarbon gases*" Transmission measurement committee report No. ۸, AGA catalog no. XQ ۹۲۱۲. Second edition. ۱۹۹۲, ۳rd printing ۲۰۰۳.
۳۱. Sullivan D.A., (۱۹۸۱) "Historical review of real-fluid isentropic flow models" *Trans. ASME, Vol ۱۰۳*, pp ۲۵۸-۲۶۷.
۳۲. Maric I., Galovi A., Šmuca T., (۲۰۰۵) "Calculation of natural gas isentropic exponent" *Flow Measurement and Instrumentation, Vol ۱۶*, pp ۱۳-۲۰.
۳۳. ون وايلن .گ.ج ، زونتاك .ر ، بورگناك .ک ، (۱۳۸۱)، " مبانی ترموديناميک كلاسيك "، چاپ چهاردهم ، انتشارات نما.
۳۴. کرايه چيان ا.، "محاسبات عددی برای دانشجویان علوم و مهندسی" ، تهران ، انتشارات تيهو.

٣٥. Guo .B , Ghalambor. A, (٢٠٠٥), "Natural Gas Engineering Handbook", Gulf Publishing Company, Houston.
٣٦. ISO ٥١٦٧-١, " *Measurement of fluid flow by means of differential devices inserted in circular cross-section conduits running full\_ Part ١:General principles and requirements*" , Ref. No. ISO-٥١٦٧١-١:٢٠٠٣(E). ISO; ٢٠٠٣.
٣٧. Maric I., (٢٠٠٥), "The Joule–Thomson effect in natural gas flow-rate measurements" *Flow Measurement and Instrumentation, Vol ١٦, pp ٣٨٧–٣٩٤.*
٣٨. Ernst G., Keil B., Wirbser H.,(٢٠٠١), " *Flow-calorimetric results for the massic heat capacity cp and the Joule–Thomson coefficient of CH<sub>4</sub>, of ( ٠.٨٨ CH<sub>4</sub> + ٠.١٢ C<sub>٢</sub>H<sub>٦</sub>), and of a mixture similar to natural gas*", J. Chem. Thermodynamics, Vol ٣٣,PP ٦٠١–٦١٣.



دانشگاه صنعتی شاهرود  
دانشکده مهندسی مکانیک-گروه تبدیل انرژی

عنوان پایان نامه :

## تولید نرم افزار طراحی و ساخت یک نمونه آزمایشی دبی سنج دقیق گاز طبیعی

دانشجو : یونس بیات

اساتید راهنما:

دکتر محمود فرزانه گرد  
دکتر شهرام هاشمی مرغزار

استاد مشاور:

دکتر امیر خوشنویس

ارائه شده جهت اخذ درجه کارشناسی ارشد در مهندسی مکانیک گرایش تبدیل انرژی

۱۳۸۷ دی ماه

## دانشگاه صنعتی شاهرود

دانشکده : مهندسی مکانیک

گروه : تبدیل انرژی

پایان نامه کارشناسی ارشد آقای یونس بیات

تحت عنوان:

تولید نرمافزار طراحی و ساخت یک نمونه آزمایشی دبی سنج دقیق گاز طبیعی

در تاریخ ۱۳۸۷/۱۰/۲۳ توسط کمیته تخصصی زیر جهت اخذ مدرک کارشناسی ارشد مورد ارزیابی و با درجه A مورد پذیرش قرار گرفت.

| امضاء | اساتید مشاور | امضاء | اساتید راهنما      |
|-------|--------------|-------|--------------------|
|       | امیر خوشنویس |       | محمد فرزانه‌گرد    |
|       |              |       | شهرام هاشمی مرغزار |

| امضاء | نماینده تحصیلات تکمیلی | امضاء | اساتید داور        |
|-------|------------------------|-------|--------------------|
|       | دکتر قطعی              |       | محمد جواد مغربی    |
|       |                        |       | محمد محسن شاهمردان |